



การพัฒนา กังหันลมแกนนอนขนาดเล็กด้วยวัสดุคอมโพสิต
Development of a small Horizontal axis wind turbines with
composite material



นายธีระพล อินธิยศ รหัสนิสิต 51382112
นายบัญชา ใจสุข รหัสนิสิต 51382129
นายวสันต์ แสนภาค รหัสนิสิต 51384765

ที่ออกใบอนุญาตประกอบธุรกิจ วันที่รับ.....	2 ต.ค. 2558
เลขทะเบียน.....	1643048X
เลขเรียกเก็บเชื้อ.....	๘๔
หมายเหตุสถานะ.....	ผู้มีสิทธิ์
2558	

ปริญญาอนิพนธ์นี้เป็นส่วนหนึ่งของการศึกษาตามหลักสูตรปริญญาวิศวกรรมศาสตรบัณฑิต
สาขาวิชาวิศวกรรมเครื่องกล ภาควิชาวิศวกรรมเครื่องกล
คณะวิศวกรรมศาสตร์ มหาวิทยาลัยนเรศวร
ปีการศึกษา 2555



ใบรับรองปริญญาบัณฑิต

ชื่อหัวข้อโครงการ	: การพัฒนาภัณฑ์ลมแกนนอนขนาดเล็กด้วยสต็อกคอมโพสิต
ผู้ดำเนินโครงการ	: นายธีระพล อินธิยศ รหัสนิสิต 51382112
	นายบัญชา ใจสุข รหัสนิสิต 51382129
	นายสันต์ แสงภาพ รหัสนิสิต 51384765
ที่ปรึกษาโครงการ	: ดร.ศลิษา วีรพันธุ์
ภาควิชา	: วิศวกรรมเครื่องกล
ปีการศึกษา	: 2555

คณะวิศวกรรมศาสตร์ มหาวิทยาลัยมหิดล อนุมัติให้โครงการวิจัยฉบับนี้เป็นส่วนหนึ่งของการศึกษาตามหลักสูตร วิศวกรรมศาสตรบัณฑิต สาขาวิศวกรรมเครื่องกล

คณะกรรมการสอบโครงการ

ประธานกรรมการ

(ดร.ศลิษา วีรพันธุ์)

กรรมการ

(รศ.ดร.มaitri สังวนเสริมวงศ์)

กรรมการ

(ดร.ภาณุ พุทธวงศ์)

ชื่อหัวข้อโครงการ	: การพัฒนา กังหันลมแกนนอนขนาดเล็กด้วยวัสดุคอมโพสิต
ผู้ดำเนินโครงการ	: นายธีระพล อินธิยศ รหัส 51382112
	นายบัญชา ใจสุข รหัส 51382129
	นายวันต์ แสนภาค รหัส 51384765
ที่ปรึกษาโครงการ	: ดร. ศลิษา วีรพันธ์
ภาควิชา	: วิศวกรรมเครื่องกล
ปีการศึกษา	: 2555

บทคัดย่อ

วัตถุประสงค์ของโครงการคือ การพัฒนา กังหันลมแกนนอนขนาดเล็กด้วยวัสดุคอมโพสิตแบบเรซิ่นเสริมไบแกร์แบบทอโดยใช้การขึ้นรูปด้วยมือ และนำไปทดสอบในอุโมงค์ลมในช่วงความเร็วลมประมาณ 3-5 เมตรต่อวินาที เปรียบเทียบประสิทธิภาพของ กังหันลมและประสิทธิภาพเชิงกล โดย กังหันที่นำมาทดสอบเป็น กังหันลมแบบ 3 ในพัดและ 5 ในพัดที่มีมุมปะทะ 10, 20 และ 30 องศา ตามลำดับ โดยใบพัดกังหันทำจากวัสดุคอมโพสิตแบบเรซิ่นเสริมไบแกร์แบบทอโดยการขึ้นรูปด้วยมือ เพื่อพัฒนาเทคโนโลยีการขึ้นรูปด้วยมือให้มีความสม่ำเสมอและจัดหาส่วนผสมที่เหมาะสม

สูตรการผสมวัสดุคอมโพสิตแบบเรซิ่นเสริมไบแกร์แบบทอจำนวน 9 สูตร ได้แก่ สูตร A,B,C,D,E,F,G,H และ I ได้ถูกนำมาเป็นรูปและทดสอบ จากการทดสอบความต้านทานแรงดึง ได้ ส่วนผสมที่นำไปขึ้นรูปในพัดของ กังหัน ซึ่งได้แก่ สูตร E ที่มีส่วนผสม ตัวทำแข็ง(MEKPO M-60) 0.67%, ตัวทำละลาย (Monostyrene, C₈H₈) 2.03%, ไนแก๊ร์แบบทอ (Woven Fabrics) 29.73% และเรซิ่น(Polyester Resin-355E) 67.57% มีค่าโมดูลัสความยืดหยุ่นมีค่าเท่ากับ 7.074 GPa และความคื้นมีค่าเท่ากับ 226.78 MPa

ผลจากการทดสอบ กังหันลมแกนนอนชนิด 3 ในพัดที่มีมุมปะทะ 30 องศา มีประสิทธิภาพของ กังหันเท่ากับ 25.25% และประสิทธิภาพเชิงกลของ กังหันเท่ากับ 17.45% และ กังหันลมแกนนอน ชนิด 5 ในพัดที่มีมุมปะทะ 30 องศา มีประสิทธิภาพของ กังหันเท่ากับ 29.67% และประสิทธิภาพ เชิงกลของ กังหันเท่ากับ 29.35%

Project title	: Development of a small horizontal-axis wind turbine with composite material
Name	: Mr. Teerapol Intiyod Mr. Bancha Jaisuk Mr. Wasan Sanpab
Project advisor	: Dr. Salisa Veerapun
Department	: Mechanical Engineering
Academic year	: 2012

Abstract

The purpose of the project is. The development of small wind turbines with horizontal axis composite resin and glass fiber reinforced pipe forming by hand and tested in the wind tunnel at wind speeds of about 3-5 meters per second. Compare the performance of wind turbines and mechanical performance. The wind turbine was tested with three propeller blade angle and 5 levels 10.20 and 30 degrees respectively, turbine blades made of composite resin and glass fiber reinforced pipe forming by hand to develop techniques of molding by hand to ensure consistency and to provide the right mix.

Formula to mix the resin composite glass fiber reinforced pipe 9 recipes including recipes A, B, C, D, E, F, G, H and I were introduced to the forming and testing. Tensile strength of the test. The mixture was brought to the blades of the turbine. Including the formula E containing a solid (MEKPO M-60) 0.67%, solvent (Monostyrene, C8H8) 2.03%, fiberglass (Woven Fabrics) 29.73% and resin (Polyester. Resin-355E) 67.57% is the modulus of elasticity is equal to 7.074 GPa and the stress is equal to 226.78 MPa.

The results of the test wind turbine horizontal axis types. 3 blades with a 30 degree angle against the turbine efficiency is 25.25% and 17.45%, and the mechanical performance of the turbine is a horizontal axis wind turbine types. 5 blades with a 30 degree angle of attack is equal to 29.67% and the efficiency of the turbine mechanical efficiency of the turbine is equal to 29.35%.

กิตติกรรมประกาศ

โครงงานวิศวกรรมเครื่องกลฉบับนี้สำเร็จลุล่วงไปได้ด้วยดี ทางคณะผู้ดำเนินงาน ต้องขอขอบพระคุณ ดร.ศลิษา วีรพันธุ์ ซึ่งเป็นอาจารย์ที่ปรึกษาโครงงานที่กรุณามาให้คำปรึกษาและชี้แนะแนวทางการแก้ไขปัญหาต่างๆ ที่เกิดขึ้นในระหว่างการดำเนินโครงงาน ตลอดจนติดตามประเมินผลการดำเนินโครงงานมาโดยตลอด ทางคณะผู้จัดทำขอขอบพระคุณท่านอาจารย์เป็นอย่างสูงไว้ ณ ที่นี่

ขอขอบพระคุณท่านอาจารย์ทุกท่าน ที่อบรมสั่งสอน และให้ความรู้แก่ผู้ดำเนินงาน

ขอขอบพระคุณฝ่ายเลขานุการ ภาควิชาวิศวกรรมเครื่องกล คณะวิศวกรรมศาสตร์ มหาวิทยาลัยแม่ฟ้าหลวง ที่ช่วยอำนวยความสะดวกในการดำเนินโครงงาน

ขอขอบพระคุณบิดามารดา ที่ให้การอุปการะเลี้ยงดูและสั่งสอนจนกระถั่งสามารถเติบโตมาจนถึงปัจจุบัน ตลอดจนช่วยอุปการะทางการเงินและเคยให้กำลังใจ จนกระทั่งโครงงานนี้เสร็จสมบูรณ์

สุดท้ายนี้ ผู้ดำเนินงานขอขอบคุณงามความดีที่เกิดขึ้นจากโครงงานนี้ แด่ผู้มีพระคุณทุกท่านที่มีส่วนร่วมในการทำให้โครงงานนี้สำเร็จลุล่วงไปด้วยดี และถ้าเกิดข้อผิดพลาดประการใดจากโครงงานนี้ ผู้ดำเนินงานต้องกราบขออภัยไว้ ณ ที่นี้ด้วย

คณะผู้จัดทำโครงงาน

นายธีระพล อินธิยศ

นายบัญชา ใจสุข

นายสันต์ แสนภาค

คำนำ

การใช้ประโยชน์จากพลังงานลมมีมากกว่า 3,000 ปี จนกระทั่งต้นคริสต์ศตวรรษที่ 20 ได้เริ่มนี การใช้พลังงานลมเปลี่ยนรูปเป็นพลังงานกลเพื่อการสูบน้ำและการสีข้าว ต่อมาในช่วงเริ่มต้นของยุค อุตสาหกรรมใหม่การใช้งานพลังงานจากลมถูกแทนที่ด้วยพลังงานจากเชื้อเพลิงฟอสซิล ในช่วงต้นปี ค.ศ. 1970 เกิดวิกฤตการณ์น้ำมันหัวโลกล ความสนใจในพลังงานลมจึงกลับมาอีกครั้ง โดยมีเป้าหมาย หลักคือการนำพลังงานลมมาใช้เพื่อการผลิตไฟฟ้า ร่วมกับแหล่งพลังงานฟอสซิลเพื่อความมั่นคงของ ระบบ และลดปัญหาความไม่แน่นอนของลมตามธรรมชาติ ดังนั้นการจัดทำปริญญาในพนธ์ โครงการ การพัฒนา กังหันลมแกนนอนขนาดเล็กด้วยวัสดุคอมโพสิต (Development of a small Horizontal axis wind turbines with composite material) เพื่อเป็นการพัฒนา กังหันลมที่สามารถทำงานให้ เกิดประโยชน์ได้จริงในอนาคต

ผู้จัดทำหวังเป็นอย่างยิ่งว่า โครงการ การพัฒนา กังหันลมแกนนอนขนาดเล็กด้วยวัสดุคอมโพสิต (Development of a small Horizontal axis wind turbines with composite material) จะทำให้ผู้ที่ศึกษาทำความรู้เกี่ยวกับพลังงานสะอาดอย่างพลังงานลมได้ศึกษาและเกิดการพัฒนา กังหันลมต่อไปในอนาคต

ผู้จัดทำ
ธีระพล อินธิยศ¹
บัญชา ใจสุข²
วงศ์ แสนภาพ³
สาขาวิชาวิศวกรรมเครื่องกล

สารบัญ

	หน้า
ใบรับรองปริญญาบัตรนักศึกษา	ก
บทคัดย่อ	ข
Abstract	ค
กิตติกรรมประกาศ	ง
คำนำ	จ
สารบัญ	ฉ
สารบัญตาราง	ณ
สารบัญรูป	ภ
ลำดับสัญลักษณ์	ฑ
 บทที่ 1 บทนำ	 1
1.1 ความสำคัญหรือที่มาของปัญหา	1
1.2 วัตถุประสงค์ของโครงการ	1
1.3 ขอบเขตของการทำโครงการ	1
1.4 ประโยชน์ที่คาดว่าจะได้รับ	2
1.5 สถานที่ปฏิบัติงาน	2
1.6 อุปกรณ์ที่ใช้ในการดำเนินงาน	2
1.7 รายละเอียดงบประมาณตลอดโครงการ	2
1.8 ระยะเวลาและแผนการดำเนินงาน	3
 บทที่ 2 หลักการและทฤษฎี	 5
2.1 พลังงานลม	5
2.2 ประเภทของกังหันลม	6
2.3 การเปลี่ยนรูปพลังงานลมเป็นพลังงานไฟฟ้า	10
2.4 วัสดุคอมโพสิต (Composites Materials)	12
2.5 ปัจจัยที่มีผลต่อสมบัติของวัสดุคอมโพสิต	13
2.6 การรับแรงของวัสดุคอมโพสิต	14
2.7 มาตรฐานการทดสอบความต้านทานแรงดึง ASTM D638 TYPE I	15

สารบัญ(ต่อ)

	หน้า
บทที่ 3 การทดสอบวัสดุคอมโพสิตแบบเรซิ่นเสริมไฮแก้วแบบหอ	16
3.1 วัตถุประสงค์	16
3.2 วัสดุและอุปกรณ์	16
3.3 วิธีการทดลอง	16
3.4 ส่วนผสมและการขึ้นรูป	17
3.5 ผลการทดสอบ	21
3.6 สรุปผลการทดสอบ	25
บทที่ 4 การขึ้นรูปใบพัดและการประกอบกังหันลม	27
4.1 การขึ้นรูปใบพัด	27
4.2 รูปแบบใบพัดกังหันลม	28
4.3 การประกอบชุดกังหันลม	29
บทที่ 5 การหาประสิทธิภาพของกังหันลมแก่นอน	31
5.1 วัตถุประสงค์	31
5.2 อุปกรณ์ที่ใช้ในการทดลอง	31
5.3 ขั้นตอนการทดลอง	32
5.4 ผลการทดสอบ	33
5.5 การคำนวณหาค่าประสิทธิภาพของกังหันลม	35
5.6 วิเคราะห์ผลการทดสอบและเปรียบเทียบประสิทธิภาพกังหันลม	36
5.7 วิเคราะห์ผลการทดสอบและเปรียบเทียบประสิทธิภาพเชิงกลของกังหันลม	37
5.8 สรุปผลการทดสอบ	38
บทที่ 6 สรุปผลการทดลองและข้อเสนอแนะ	39
6.1 การทดสอบวัสดุคอมโพสิตแบบเรซิ่นเสริมไฮแก้วแบบหอ	39
6.2 การทดสอบกังหันลม	39
6.3 ข้อเสนอแนะ	40

สารบัญ(ต่อ)

	หน้า
บรรณานุกรม	41
ภาคผนวก	
ภาคผนวก ก การทดสอบแรงดึงของวัสดุคอมโพสิตแบบเรซิ่นเสริมไฮแก็ทแบบหอ	42
ภาคผนวก ข ผลการทดสอบวัสดุคอมโพสิตแบบเรซิ่นเสริมไฮแก็ทแบบหอ	48
ภาคผนวก ค ผลจากการทดสอบกังหันลมในอุโมงค์ลม	75
ภาคผนวก ง การคำนวณ	88
ภาคผนวก จ แบบร่างกังหันลม	91
ประวัติผู้เขียนโครงการ	98



สารบัญตาราง

	หน้า
ตารางที่ 1.1 งบประมาณที่ใช้	2
ตารางที่ 1.2 ระยะเวลาและการดำเนินงาน	3
ตารางที่ 2.1 ศักยภาพพัฒนาคุณภาพเด็กชายฝั่งทะเลของประเทศไทยที่ระดับ ความสูง 50 เมตรจากพื้นดิน	6
ตารางที่ 2.2 กังหันลมแกนนอน	7
ตารางที่ 2.3 กังหันลมแกนตั้ง	9
ตารางที่ 3.1 ส่วนผสมวัสดุคอมโพสิตแบบเรซิ่นเสริมใยแก้วแบบทอ	17
ตารางที่ 3.2 วัสดุและอุปกรณ์	18
ตารางที่ 3.3 ผลการทดสอบวัสดุคอมโพสิตแบบเรซิ่นเสริมใยแก้วแบบทอ สูตร E	21
ตารางที่ 3.4 ผลการทดสอบวัสดุคอมโพสิตแบบเรซิ่นเสริมใยแก้วแบบทอ สูตร F	22
ตารางที่ 3.5 ผลการทดสอบวัสดุคอมโพสิตแบบเรซิ่นเสริมใยแก้วแบบทอ สูตร G	22
ตารางที่ 3.6 ผลการทดสอบวัสดุคอมโพสิตแบบเรซิ่นเสริมใยแก้วแบบทอ สูตร H	23
ตารางที่ 3.7 ผลการทดสอบวัสดุคอมโพสิตแบบเรซิ่นเสริมใยแก้วแบบทอ สูตร I	24
ตารางที่ 3.8 สรุปผลการทดสอบ	25
ตารางที่ 5.1 อุปกรณ์ที่ใช้ในการทดลอง	32
ตารางที่ 5.2 ผลการทดสอบกังหันลมในอุโมงค์ลม	35
ตารางที่ 5.3 ผลการคำนวณ	36
ตารางที่ ก.1 ค่าคงที่ที่ใช้ในการคำนวณ	43
ตารางที่ ก.2 ผลการทดสอบแรงดึงของวัสดุคอมโพสิตแบบเรซิ่นเสริมใยแก้วแบบทอ สูตร E	43
ตารางที่ ก.3 ผลการทดสอบแรงดึงของวัสดุคอมโพสิตแบบเรซิ่นเสริมใยแก้วแบบทอ สูตร F	44
ตารางที่ ก.4 ผลการทดสอบแรงดึงของวัสดุคอมโพสิตแบบเรซิ่นเสริมใยแก้วแบบทอ สูตร G	45
ตารางที่ ก.5 ผลการทดสอบแรงดึงของวัสดุคอมโพสิตแบบเรซิ่นเสริมใยแก้วแบบทอ สูตร H	45
ตารางที่ ก.6 ผลการทดสอบแรงดึงของวัสดุคอมโพสิตแบบเรซิ่นเสริมใยแก้วแบบทอ สูตร I	46
ตารางที่ ก.7 สรุปผลการทดสอบ	47
ตารางที่ ข.1 ผลการทดสอบวัสดุคอมโพสิตแบบเรซิ่นเสริมใยแก้วแบบทอ E1	50
ตารางที่ ข.2 ผลการทดสอบวัสดุคอมโพสิตแบบเรซิ่นเสริมใยแก้วแบบทอ E2	51
ตารางที่ ข.3 ผลการทดสอบวัสดุคอมโพสิตแบบเรซิ่นเสริมใยแก้วแบบทอ E3	52
ตารางที่ ข.4 ผลการทดสอบวัสดุคอมโพสิตแบบเรซิ่นเสริมใยแก้วแบบทอ E4	53

สารบัญตาราง(ต่อ)

สารบัญตาราง(ต่อ)

	หน้า
ตารางที่ ค.9 การกระจายความเร็วลมหน้ากังหันลม 5 ใบพัด มีมุ่งปะทะ 30 องศา	84
ตารางที่ ค.10 การกระจายความเร็วลมหลังกังหันลม 5 ใบพัด มีมุ่งปะทะ 10 องศา	85
ตารางที่ ค.11 การกระจายความเร็วลมหลังกังหันลม 5 ใบพัด มีมุ่งปะทะ 20 องศา	86
ตารางที่ ค.12 การกระจายความเร็วลมหลังกังหันลม 5 ใบพัด มีมุ่งปะทะ 30 องศา	87



สารบัญรูป

	หน้า
รูปที่ 2.1 กระบวนการทำงานของกังหันลม	10
รูปที่ 2.2 วัสดุคอมโพสิต (Composites Materials)	12
รูปที่ 2.3 วัสดุคอมโพสิต (Composites Materials)	12
รูปที่ 2.4 โครงสร้างภายในของวัสดุคอมโพสิต (Composites Materials)	13
รูปที่ 2.5 แรงดึง	14
รูปที่ 2.6 แรงกดอัด	14
รูปที่ 2.7 แสดงลักษณะแรงเยื่อนที่กระทำต่อกомโพสิต	14
รูปที่ 2.8 แรงดัด	15
รูปที่ 2.9 มาตรฐานวัสดุทดสอบ ASTM D638 TYPE I	15
รูปที่ 3.1 หาเรซินที่ผสมแล้วลงในแม่แบบ	20
รูปที่ 3.2 การตัดแบบ	20
รูปที่ 3.3 ชิ้นงานคอมโพสิตที่ตัดตามมาตรฐาน ASTM D368 TYPE I	21
รูปที่ 4.1 การวาดแบบ	28
รูปที่ 4.2 การตัดแบบใบพัดกังหันลม	28
รูปที่ 4.3 รูปแบบใบพัดกังหันลม	28
รูปที่ 4.4 รูปแบบใบพัดกังหันลมที่ทำจากวัสดุคอมโพสิตแบบเรซินเสริมใยแก้วแบบทอ	29
รูปที่ 4.5 ขนาดกังหันลมแทนน่อน	29
รูปที่ 4.6 กังหันลมชนิด 3 ใบพัดที่มุ่งประเทศไทย 10 องศา	30
รูปที่ 4.7 กังหันลมชนิด 5 ใบพัดที่มุ่งประเทศไทย 10 องศา	30
รูปที่ 5.1 การทดสอบกังหันลม	32
รูปที่ 5.2 ระยะการทดสอบกังหันลม	33
รูปที่ 5.3 ระบบการทดสอบกังหันลม	33
รูปที่ 5.4 แผนภาพการกระจายความเร็วลมหน้ากังหันลม 3 และ 5 ใบพัดที่มุ่งประเทศไทย 30 องศา	34
รูปที่ 5.5 แผนภาพการกระจายความเร็วลมหลังกังหันลม 3 และ 5 ใบพัดที่มุ่งประเทศไทย 30 องศา	34
รูปที่ 5.6 ประสิทธิภาพของกังหันลม 3 ใบพัด	36
รูปที่ 5.7 ประสิทธิภาพของกังหันลม 5 ใบพัด	37
รูปที่ 5.8 ประสิทธิภาพเชิงกลของกังหันลม 3 ใบพัด	37
รูปที่ 5.9 ประสิทธิภาพเชิงกลของกังหันลม 5 ใบพัด	38

สารบัญรูป(ต่อ)

	หน้า
รูปที่ ข.1 มาตรฐาน ASTM D638	49
รูปที่ ข.2 ชิ้นงานที่ตัดตามมาตรฐาน ASTM D638 TYPE I	49
รูปที่ ค.1 การกระจายความเร็วลมที่ระนาบหน้ากั้งหันลม 3 ใบพัด ที่มีมุ่งประท 10 องศา	76
รูปที่ ค.2 การกระจายความเร็วลมที่ระนาบหน้ากั้งหันลม 3 ใบพัด ที่มีมุ่งประท 20 องศา	77
รูปที่ ค.3 การกระจายความเร็วลมที่ระนาบหน้ากั้งหันลม 3 ใบพัด ที่มีมุ่งประท 30 องศา	78
รูปที่ ค.4 การกระจายความเร็วลมที่ระนาบหลังกั้งหันลม 3 ใบพัด ที่มีมุ่งประท 10 องศา	79
รูปที่ ค.5 การกระจายความเร็วลมที่ระนาบหลังกั้งหันลม 3 ใบพัด ที่มีมุ่งประท 20 องศา	80
รูปที่ ค.6 การกระจายความเร็วลมที่ระนาบหลังกั้งหันลม 3 ใบพัด ที่มีมุ่งประท 30 องศา	81
รูปที่ ค.7 การกระจายความเร็วลมที่ระนาบหน้ากั้งหันลม 5 ใบพัด ที่มีมุ่งประท 10 องศา	82
รูปที่ ค.8 การกระจายความเร็วลมที่ระนาบหน้ากั้งหันลม 5 ใบพัด ที่มีมุ่งประท 20 องศา	83
รูปที่ ค.9 การกระจายความเร็วลมที่ระนาบหน้ากั้งหันลม 5 ใบพัด ที่มีมุ่งประท 30 องศา	84
รูปที่ ค.10 การกระจายความเร็วลมที่ระนาบหลังกั้งหันลม 5 ใบพัด ที่มีมุ่งประท 10 องศา	85
รูปที่ ค.11 การกระจายความเร็วลมที่ระนาบหลังกั้งหันลม 5 ใบพัด ที่มีมุ่งประท 20 องศา	86
รูปที่ ค.12 การกระจายความเร็วลมที่ระนาบหลังกั้งหันลม 5 ใบพัด ที่มีมุ่งประท 30 องศา	87

ลำดับสัญลักษณ์

สัญลักษณ์	ความหมาย	หน่วย
A	พื้นที่รับลม	m^2
D	เส้นผ่านศูนย์กลาง	m
E	โมดูลความยืดหยุ่น	MPa
I	กระแทกที่วัดได้	A
L_0	ความยาวเดิม	mm
Δl	ความยาวที่ยืดออก	mm
N	ความเร็วรอบ	rpm
P	กำลังไฟฟ้า	W
P_a	กำลังลม	W
P_w	กำลังลมที่กั้งหันลมดึงออกมา	W
T	แรงบิด	N·m
V	ความต่างศักย์ของกระแสไฟฟ้า	V
V	ความเร็วลม	m/s
σ	ความเค้น	MPa
ε	ความเครียด	-

บทที่ 1 บทนำ

1.1 ความสำคัญหรือที่มาของปัญหา

พลังงานลมเป็นพลังงานตามธรรมชาติที่เกิดจากความแตกต่างของอุณหภูมิ ความกดดันของบรรยากาศและแรงจากการหมุนของโลก สิ่งเหล่านี้เป็นปัจจัยที่ก่อให้เกิดความเร็วลมและกำลังลม เป็นที่ยอมรับโดยทั่วไปว่าลมเป็นพลังงานรูปหนึ่งที่มีอยู่ในตัวเอง ในปัจจุบันมนุษย์จึงได้ให้ ความสำคัญและนำพลังงานจากลมมาใช้ประโยชน์มากขึ้น เนื่องจากพลังงานลมมีอยู่โดยทั่วไป เป็น พลังงานที่สะอาดไม่ก่อให้เกิดอันตรายต่อสภาพแวดล้อม และสามารถนำมาใช้ประโยชน์ได้อย่างไม่ รู้จักหมดสิ้น ซึ่งปัจจุบันได้มีการนำเอาพลังงานลมมาใช้ประโยชน์มากขึ้น เนื่องจากพลังงาน แสงอาทิตย์ แต่ในประเทศไทย บางพื้นที่ยังมีปัญหาในการวิจัยพัฒนานำเอาพลังงานลมมาใช้งาน เนื่องจากปริมาณของลมไม่สม่ำเสมอตลอดปี แต่ก็ยังคงมีพื้นที่บางพื้นที่สามารถนำเอาพลังงานลมมา ใช้ให้เกิดประโยชน์ได้ เช่น พื้นที่บริเวณชายฝั่งทะเลเป็นต้น ซึ่งอุปกรณ์ที่ช่วยในการเปลี่ยนจาก พลังงานลมออกมานำเป็นพลังงานในรูปอื่น ๆ เช่น พลังงานไฟฟ้า หรือ พลังงานกล ก็ได้แก่ กังหันลม เป็นต้น [1]

1.2 วัตถุประสงค์ของโครงการ

- 1.2.1 ศึกษารูปแบบของกังหันลมแกนนอน
- 1.2.2 พัฒนากังหันลมแกนนอนขนาดเล็กจากวัสดุคอมโพสิตเรซิ่นเสริมใยแก้ว

1.3 ขอบเขตการทำโครงการ

- 1.3.1 ทดสอบวัสดุคอมโพสิตแบบเรซิ่นเสริมใยแก้วแบบท่อจากการขึ้นรูปด้วยมือ
- 1.3.2 สร้างกังหันลมที่มีขนาดไม่เกินความกว้าง 30 เซนติเมตร สูง 30 เซนติเมตร
- 1.3.3 กังหันมีจำนวนใบพัด 3 และ 5 ใบพัด โดยใบพัดทำการขึ้นรูปวัสดุเรซิ่นเสริมใยแก้ว
- 1.3.4 ทดสอบประสิทธิภาพของกังหันลมที่ความเร็วลมในช่วง 3-5 เมตร/วินาที

1.4 ประโยชน์ที่คาดว่าจะได้รับ

- 1.4.1 ได้ศึกษาหลักการของกังหันลมแกนนอน
- 1.4.2 ได้ฝึกทักษะกระบวนการคิด การวางแผนและการทำงานเป็นทีม

1.5 สถานที่ปฏิบัติงาน

คณะวิศวกรรมศาสตร์ มหาวิทยาลัยนเรศวร จังหวัดพิษณุโลก

1.6 อุปกรณ์ที่ใช้ในการดำเนินงาน

- 1.6.1 อุโมงค์ลม
- 1.6.2 ใบพัดกังหันลม
- 1.6.3 เครื่องวัดความเร็วลม
- 1.6.4 เครื่องวัดความเร็worob
- 1.6.5 ตาชั่งสปริง ขนาด 1 kg

1.7 รายละเอียดงบประมาณตลอดโครงการ

ตารางที่ 1.1 งบประมาณที่ใช้

ลำดับ	รายการ	ราคา	หน่วย
1	ค่ากังหันลม	1500	บาท
2	ค่าอุปกรณ์ทำฐานและตัวยึดกังหันลม	500	บาท
3	ค่าใช้จ่ายการทำรูปเล่มรายงาน	500	บาท
4	อื่นๆ	500	บาท

1.8 線性代數

ตารางที่ 1.2 รัฐธรรมนูญแห่งประเทศไทยจัดทำเป็นร่าง

ตารางที่ 1.2 ระยะเวลาและแผนการดำเนินงาน (ต่อ)

กิจกรรม	พ.ศ. 2554 - 2556					
	ต.ค.	พ.ย.	ธ.ค.	ม.ค.	ก.พ.	มี.ย.
1. หาข้อมูลเบื้องต้นทั่วไปของแบบแผนนمون						
2. เสือภูแบบทั่วไป						
3. เรียนแบบแผนอิเล็กทรอนิกส์						
4. ทำการออกแบบแบบทั่วไปตามมาตรฐาน(Drawing)						
5. ทดสอบแบบทั่วไปทั่วไปทั่วไป						
6. สร้างแบบทั่วไป						
7. ออกแบบกราฟศาสตร์แบบทั่วไป						
8. ทำการทดสอบแบบทั่วไปทั่วไปทั่วไปทั่วไป						
9. สรุปผลการทดสอบ						
10. เผยแพร่รายงานและสรุปโครงการ						

* เป็นจุดมุ่งหมายของทัศนะชุดที่ 3 ของมนุษยธรรม – การเรียนรู้และศักดิ์ศรีของมนุษยธรรม – ความตระหนักรู้และการรักษา

บทที่ 2

หลักการและทฤษฎี

2.1 พลังงานลม

การเคลื่อนที่ของลมเกิดจากการที่มีอุณหภูมิในแต่ละสถานที่ต่างๆ แตกต่างกันโดยอากาศร้อนจะวิ่งเข้ามาแทนที่อากาศเย็นรวมทั้งการหมุนของโลกซึ่งทำให้มีการหมุนเวียนของลมเกิดขึ้นตลอดเวลา ลมเป็นพลังงานทดแทนที่ไม่มีวันหมดไปจากโลกใบนี้ ถ้าโลกยังคงหมุนอยู่และยังคงมีแสงอาทิตย์

การนำพลังงานลมมาใช้นั้นต้องทำการแปลงรูปพลังงานที่เกิดจากการเคลื่อนที่ของอากาศหรือที่เรียกว่า พลังงานจลน์ของลมเปลี่ยนมาเป็นพลังงานกล ในการเปลี่ยนรูปพลังงานจลน์ที่ได้จากการมาเป็นกำลังงานทางกลนั้น จะต้องมีอุปกรณ์ทางกลหรือกลไกที่จะต้องสร้างขึ้นมาเพื่อเปลี่ยนรูปของพลังงานโดยแบ่งออกได้为หลายชนิดและหลายวิธี แต่ที่ได้รับความนิยมและถือว่าเป็นเครื่องกลไกที่มีประสิทธิภาพสูงเป็นที่ยอมรับโดยทั่วไปในขณะนี้มีชื่อเรียกว่า กังหันลม

จากการศึกษาแผนที่ศักยภาพพลังงานลมของประเทศไทย[2] โดยกรมพัฒนาพลังงานทดแทนและอนุรักษ์พลังงานพบว่า ความเร็วลมเฉลี่ยของประเทศไทยอยู่ในระดับปานกลางถึงต่ำ มีความเร็วลมเฉลี่ยประมาณ 4 เมตร/วินาทีโดยแหล่งศักยภาพพลังงานลมที่ดีที่สุดของประเทศไทยมีความเร็วลมเฉลี่ยประมาณ 6.4 เมตร/วินาที ที่ความสูง 50 เมตร โดยจะอยู่ในแบบเทือกเขาและบริเวณชายทะเล

ตารางที่ 2.1 ศักยภาพพลังงานลมตามยอดเข้าและชายฝั่งทะเลของประเทศไทยที่ระดับความสูง 50 เมตรจากพื้นดิน [2]

พื้นที่	ความเร็วลมเฉลี่ย (m/s)
พื้นที่บริเวณชายฝั่งภาคใต้ด้านอ่าวไทยตั้งแต่ จังหวัด สงขลา นครศรีธรรมราช ปัตตานี	6.4
เทือกเขาในจังหวัดเพชรบุรี กาญจนบุรีและตาก ที่เป็นรอยต่อประเทศพม่า	5.6
บริเวณที่เป็นเทือกเขาในภาคใต้	5.6
พื้นที่ในเขตอุทยานแห่งชาติดอยอินทนนท์ จังหวัดเชียงใหม่	5.1
พื้นที่ชายฝั่งอ่าวไทย จังหวัดชลบุรี ระยอง ประจำบuriyan อุบลราชธานี	4.4
พื้นที่ชายฝั่งทะเลอันดามัน จังหวัดสตูล กระเบื้อง ภูเก็ต พังงา	4.4
เทือกเขาภาคตะวันออกเฉียงเหนือ จังหวัดเพชรบูรณ์ เลย	4.4

2.2 ประเภทของกังหันลม

กังหันลมโดยทั่วไปจะมีรูปแบบพื้นฐานหลักคล้ายๆกัน แต่อาจแตกต่างกันบ้างในส่วนของรายละเอียด ดังนั้นการแบ่งประเภทของกังหันลมมักจะยึดเอาลักษณะการวางตัวของแกนเพลาของกังหันลมเป็นหลัก ซึ่งประเภทหลักๆของกังหันลมสามารถแบ่งออกได้เป็น 2 ประเภทคือ

2.2.1 กังหันลมแกนนอน (Horizontal Axis Turbine (HAWT)) เป็นกังหันลมที่มีแกนหมุนขนานกับทิศทางของลมโดยมีใบพัดเป็นตัวตั้งจากรับแรงลม ได้แก่ กังหันลมวินด์มิลล์ (Windmill) กังหันลมใบเลื่อยล้ำแพน กังหันลมชนิดหลายใบพัด(Multi blade) กังหันลมชนิด 1, 2, 3, 4 หรือ 6 ใบพัดสำหรับผลิตกระแสไฟฟ้า ซึ่งกังหันลมผลิตไฟฟ้าชนิด 3 ใบพัดได้รับการพัฒนาอย่างต่อเนื่อง และมีการใช้งานมากในปัจจุบันเนื่องจากมีประสิทธิภาพในการเปลี่ยนพลังงานสูง [1]

ตารางที่ 2.2 กังหันลมแกนนอน [1]

ชื่อกังหันลม	ลักษณะของกังหันลมแกนนอน
กังหันลมวินด์มิลล์ (Windmill)	เป็นกังหันลมประเภทหนึ่ง ทำงานในการเปลี่ยนพลังงานลม ไปหมุนเพื่อใช้ในการทำงานประเภทอื่นๆ กังหันลมวินด์มิลล์ นิยมถูกใช้สำหรับโรงโม่ โดยใช้พลังงานลมในการบดอัต รัณพิชหรือเมล็ดพันธุ์ให้ละเอียด นอกจากนี้ยังนำไปใช้ในการวิด น้ำอีกด้วย ใบของกังหันมีจำนวน 4 ใบถึง 6 ใบ
กังหันลมดูดน้ำใบเสือล่าแพน หรือแบบดูดน้ำ	การใช้พลังงานลมเพื่อดูดน้ำจากที่ต่ำมาใช้ในพื้นที่สูง พบ เห็นได้จากการใช้กังหันลมดูดน้ำเพื่อทำนาเกลือ กังหันลม แบบหัดดูดน้ำเป็นการประดิษฐ์คิดค้นขึ้นด้วยภูมิปัญญา ชาวบ้านในสมัยโบราณของไทย เพื่อใช้ในนาข้าว นาเกลือ และนาถั่ง ใบพัดกังหันลมจะมีจำนวน 6 ใบพัด วัสดุที่ใช้ทำ ใบกังหันลมจะทำมาจากเสือล่าแพนหรือผ้าใบ โดยตัวโครง เสา รยางค์ และใบระหัด จะทำจากไม้เนื้อแข็งซึ่งมีความ ทนทานต่ออุณหภูมิ กังหันลมแบบหัดดูดน้ำใช้ความเร็วลม ตั้งแต่ 2.5 เมตร/วินาทีขึ้นไปในการหมุนใบพัดกังหันลม หากมีลมแรงมากไปก็สามารถปรับม่านใบเก็บให้เหลือ สำหรับรับแรงลมเพียง 3 ใบ เพื่อให้มีความเหมาะสม

ตารางที่ 2.2 กังหันลมแกนนอน (ต่อ)

ชื่อกังหันลม	ลักษณะของกังหันลมแกนนอน
กังหันลมแบบหลายใบ (Multi blade)	<p>กังหันลมแบบสูบซักเป็น กังหันลมชนิดหลายใบ ส่วนใหญ่ใช้ในการสูบน้ำจากบ่อ สร่าน้ำ หนองน้ำ ที่มีความลึกไม่มากนัก เพื่อใช้ ใช้ในทางการเกษตรและใช้ในฟาร์มเลี้ยงสัตว์ เพื่อความเร็วแรงสุดที่ใช้ทำใบพัดและโครงสร้างเสาของ กังหันลมชนิดนี้มัก เป็นโลหะเหล็ก เส้นผ่าศูนย์กลางใบพัดประมาณ 4-6 เมตร จำนวนใบพัด 18, 24, 30, 45 ในปริมาณน้ำที่สูบได้ขึ้นอยู่กับขนาดระบบออกสูบน้ำและปริมาณความเร็วลม กังหันลมเริ่มหมุนทำงานที่ความเร็วลม 3 เมตร/วินาที ขึ้นไปและสามารถทำงานต่อเนื่องได้ด้วยแรงเฉียบที่ความเร็วลม 2 เมตร/วินาที แกนใบพัดสามารถหมุนเพื่อรับแรงลมลมได้รอบตัวโดยมีใบแพนทางเสือเป็นตัวควบคุมการทำงาน</p> 
กังหันลมแบบพรอปเพลเยอร์ (Propeller)	<p>เป็นกังหันลมสำหรับผลิตกระแสไฟฟ้า โดยกังหันผลิตกระแสไฟฟ้าจะถูกออกแบบให้มีแรงขับแบบแรงยก เพื่อให้ใบพัดหมุนได้เร็วซึ่งจะทำให้เกิดความเร็วรอบสูงและแรงบิดต่ำ ซึ่งหมายความว่ากังหันลมจะสามารถหมุนได้เร็วและมีประสิทธิภาพมากกว่ากังหันลมแบบหลายใบพัด แม้ว่าจะมีขนาดใบพัดที่เล็กกว่ากังหันลมแบบหลายใบพัด แต่กังหันลมแบบพรอปเพลเยอร์สามารถจ่ายกระแสไฟฟ้าได้ต่อเนื่องและมีความเสถียร ไม่ต้องการบำรุงรักษาเท่ากังหันลมแบบหลายใบพัด แต่ต้องมีการติดตั้งที่เหมาะสมกับสภาพแวดล้อม เช่น ความเร็วลม ความชื้น ฯลฯ</p> 

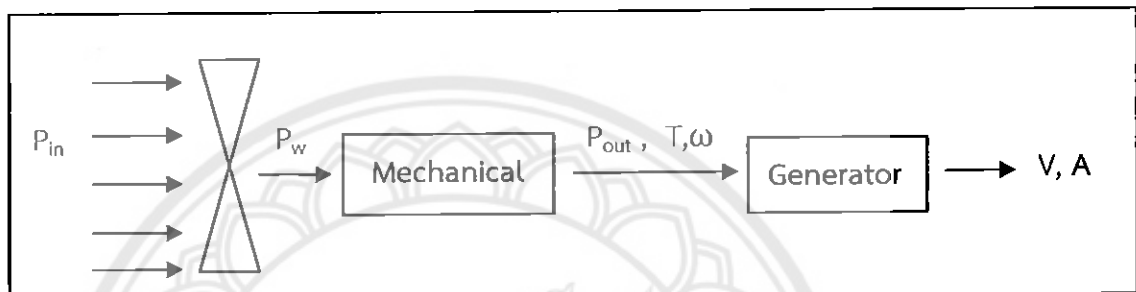
2.2.2 กังหันลมแกนตั้ง (Vertical Axis Turbine (VAWT)) เป็นกังหันลมที่มีแกนหมุนและใบพัดตั้งฉากกับการเคลื่อนที่ของลมในแนวราบ ซึ่งทำให้สามารถรับลมในแนวราบได้ทุกทิศทาง มีหลายรูปแบบ ตัวอย่างเช่นกังหันลมแดรรีอุส (Darrieus) และกังหันลมซาโวเนียส (Savonius) ปัจจุบันมีการพัฒนา กังหันลมแกนตั้ง และ มีการใช้งาน กังหันลมแบบแกนตั้งอย่างมาก many[1]

ตารางที่ 2.3 กังหันลมแกนตั้ง

ชื่อกังหันลม	ลักษณะกังหันลม
กังหันลมแดรรีอุส (Darrieus)	กังหันลมแดรรีอุส เป็นกังหันแกนยกระดับตั้งและสามารถทำงานได้อ่าย่างมีประสิทธิภาพรับลมได้ทุกทิศทาง ลักษณะใบพัดเป็น airfoils ซึ่งจะให้แรงบิดกับเพลา โดยใช้หลักการเดียวกับไฮดรอลิกอپเตอร์ แรงและความเร็วของ airfoils จะถูกเปลี่ยนเป็นพลังงานไฟฟ้า
กังหันลมซาโวเนียส (Savonius)	กังหันลม (Savonius) เป็นกังหันลมแกนตั้ง (Vertical Axis Wind turbine) ที่อาศัยแรงดึงดูด (Drag) เป็นแรงขับเคลื่อน ทำให้เกิดการหมุนของโรเตอร์ (Rotor) ซึ่งกังหันประเภทนี้สามารถสร้างแรงบิดได้สูงแต่ความเร็วของการหมุนจะต่ำ ตัวกังหันลม (Savonius) มีลักษณะโครงสร้างรูปตัว S

2.3 การเปลี่ยนรูปพลังงานลมเป็นพลังงานไฟฟ้า

พลังงานลมซึ่งเกิดจากการเคลื่อนที่ของมวลอากาศที่มีความเร็วค่าหนึ่ง (พลังงานจลน์) เปลี่ยนรูปไปเป็นพลังงานทางกลด้วยแรงบิดและความเร็วของแกนหมุนกังหัน พลังงานกลจากแกนหมุนของกังหันจะถูกเปลี่ยนรูปไปเป็นพลังงานไฟฟ้าโดยเครื่องกำเนิดไฟฟ้าที่ถูกเชื่อมต่อกับแกนหมุนของกังหันลมในรูปของกระแสไฟฟ้าและความต่างศักย์ดังรูปที่ 2.1



รูปที่ 2.1 กระบวนการทำงานของกังหันลม

2.3.1 กำลังลม (P_{in}) ปริมาณของพลังงานลมในหนึ่งหน่วยเวลา (กำลังลม) คำนวณได้จากสมการพื้นฐาน พลังงานจลน์

$$P_{in} = \frac{1}{2} \dot{m} V^2 \quad (1)$$

$$\dot{m} = \rho A V \quad (2)$$

$$P_{in} = \frac{1}{2} \rho A V^3 \quad (3)$$

P = กำลังลม (W)

\dot{m} = มวลอากาศที่ตกกระทบตั้งจากกับทิศทางการไหล (kg/s)

V = ความเร็วลม (m/s)

ρ = ความหนาแน่นมวลอากาศ 1.23 (kg/m³)

A = พื้นที่กังหันสามารถดึงดูดในรูปพื้นที่วงกลม $A = \pi \frac{D^2}{4}$ (m²)

2.3.2 กำลังที่กังหันลมสามารถดึงออกมานะ (P_w) จากกฎการอนุรักษ์อัตราการไหลเชิงมวล(สมการความต่อเนื่อง) จะได้ดังนี้

$$\rho A_1 V_1 = \rho A_2 V_2 \quad (4)$$

ดังนั้น

$$P = \frac{1}{2} \rho A_1 V_1 (V_1^2 - V_2^2) \quad (5)$$

หรือ

$$P_{in} = \frac{1}{2} \dot{m} (V_1^2 - V_2^2) \quad (6)$$

ดังนั้นกำลังที่ได้รับแรงจากอากาศที่ให้สามารถส่งพลังงานหรือกำลังก่อนและหลังหันลมที่ต้องรับภาระจากแรงผลักและความเร็วการไหล V' ดังนี้

$$\frac{1}{2} \dot{m} (V_1^2 - V_2^2) = \dot{m} (V_1 - V_2) V' \quad (7)$$

$$V' = \frac{1}{2} (V_1 + V_2) \quad (8)$$

ดังนั้นความเร็วลมที่หล่อผ่านหันลมมีค่าเท่ากับผลเฉลี่ยของ V_1 และ V_2 ดังนี้

$$V' = \frac{1}{2} (V_1 + V_2) \quad (9)$$

ดังนั้นอัตราการไหลเชิงมวลจะได้ดังนี้

$$\dot{m} = \rho A V' = \frac{1}{2} \rho A (V_1 + V_2) \quad (10)$$

ดังนั้นกำลังที่กังหันลมสามารถดึงพลังงานลมออกมายได้โดยไม่คำนึงถึงการสูญเสีย

$$P_w = \frac{1}{4} \rho A (V_1^2 - V_2^2) (V_1 + V_2) \quad (11)$$

2.3.3 ความสัมพันธ์ระหว่างแรงบิดและกำลัง (P_{out})

$$P_{out} = T \omega = T \frac{2\pi N}{60} \quad (12)$$

P_{out} = คือ กำลังงาน (W)

ω = คือ ความเร็วเชิงมุมมีค่าเท่ากับ ($\frac{2\pi N}{60}$ rad/s)

N = คือ ความเร็วรอบของเพลา (rpm)

T = คือ โมเมนต์หรือแรงบิดที่เกิดขึ้น (N·m)

2.3.4 กำลังไฟฟ้า

$$P = IV \quad (13)$$

P = กำลังไฟฟ้า (W)

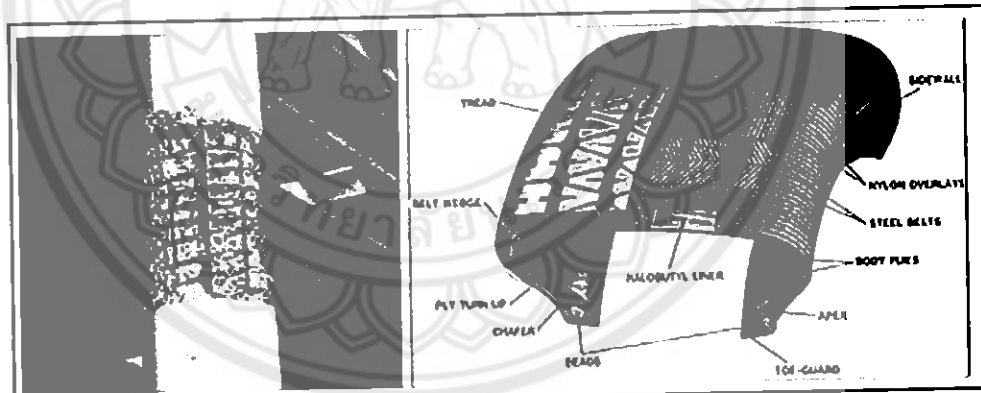
I = กระแสไฟฟ้าที่วัดได้ (A)

V = ความต่างศักย์ (Volt)

2.4 วัสดุคอมโพสิต (Composites Materials)

คอมโพสิต (Composite) เป็นวัสดุที่ประกอบด้วยการรวมวัสดุมากกว่า 2 ประเภทเข้าด้วยกัน โดยทั่วไปคอมโพสิตจะมีวัสดุที่เป็นเนื้อหลัก (matrix) และวัสดุเสริมแรง (reinforcement materials) ที่กระจายตัวอยู่ในเนื้อหลักนั้น วัสดุที่เป็นเนื้อหลัก จะรองรับวัสดุเสริมแรงให้อยู่ในรูปร่างที่กำหนด ขณะที่วัสดุเสริมแรงจะช่วยเพิ่ม หรือปรับปรุงสมบัติเชิงกลของวัสดุเนื้อหลัก ให้สูงขึ้น ซึ่งวัสดุเสริมแรงอาจมีลักษณะเป็นเส้น ก้อน อนุภาค หรือเกล็ดก็ได้ แทรกอยู่ในวัสดุเนื้อหลัก (base materials) อย่างโลหะ เชรามิกส์ หรือโพลี-เมอร์ ผลของการรวมวัสดุต่างกัน 2 ประเภทเข้าด้วยกัน ทำให้คอมโพสิตมีความแข็งแรง โดยรวมมากกว่าเมื่อเทียบกับ ความแข็งแรงของวัสดุแต่ละประเภทโดยลำพัง

ปัจจุบันวัสดุคอมโพสิตแบ่งออกเป็น 3 ประเภทคือ กลุ่มที่มีพอลิเมอร์เป็นส่วนผสมหลัก (fiber-reinforced polymers, FRP) กลุ่มที่มีเชรามิกเป็นส่วนผสมหลัก (ceramic-matrix composite, CMC) และกลุ่มที่มีโลหะเป็นส่วนผสมหลัก (metal-matrix composite, MMC) ตัวอย่างเช่นจากรูปที่ 2.2 และรูปที่ 2.3 นอกจากนี้ วัสดุคอมโพสิตอาจจะแบ่งได้ตามลักษณะของตัวเสริมแรง ได้แก่

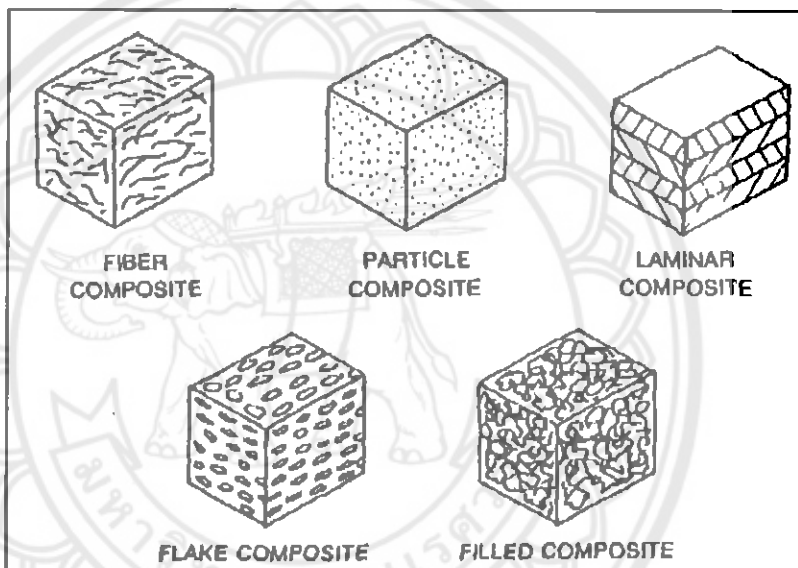


รูปที่ 2.2 วัสดุคอมโพสิต (Composites Materials)[4]



รูปที่ 2.3 วัสดุคอมโพสิต (Composites Materials)[4]

- 2.4.1 ตัวเสริมแรงมีลักษณะเป็นเส้นใย (Fibrous Composites)
- 2.4.2 เส้นใยสั้นแบบสุ่ม (Random/Short Fiber)
- 2.4.3 เส้นไวยาว/เส้นไวยต่อเนื่อง (Continuous/Long Fiber)
- 2.4.4 ตัวเสริมแรงมีลักษณะเป็นอนุภาค (Particulate Composites)
- 2.4.5 ตัวเสริมแรงมีลักษณะเป็นชิ้นเล็กๆ (Flake Composites)
- 2.4.6 ตัวเสริมแรงเป็นสารตัวเติม (Filled Composites)
- 2.4.7 ตัวเสริมแรงมีลักษณะเป็นชั้นหรือชั้นแผ่น (Laminar or Layered Composites)



รูปที่ 2.4 โครงสร้างภายในของวัสดุคอมโพสิต (Composites Materials) [4]

2.5 ปัจจัยที่มีผลต่อสมบัติของวัสดุคอมโพสิต

ได้แก่ สมบัติของเส้นใยเสริมแรง, สมบัติของพอลิเมอร์ และสัดส่วนของเส้นใยเสริมแรง โดยทั่วไปการขึ้นรูปผลิตภัณฑ์คอมโพสิต เช่น เรือไฟเบอร์กลาสจะนิยมขึ้นรูปด้วยวิธีที่เรียกว่า แอนด์レイอัป (hand lay-up) ซึ่งจะมีสัดส่วนของเส้นใยเสริมแรงประมาณ 30-40% แตกต่างจากขั้นงานคอมโพสิตที่ใช้ในอุตสาหกรรมการบิน และอุตสาหกรรมยานยนต์ที่มีสัดส่วนของเส้นใยประมาณ 70% การจัดเรียงตัว (orientation) ของเส้นใยในคอมโพสิต เนื่องจากเส้นใยเสริมแรงให้ค่าสมบัติเชิงกลตามแนวยาวสูงกว่าแนววาง โครงสร้างภายในของวัสดุคอมโพสิต (Composites Materials) ดังนั้นหากเส้นใยในคอมโพสิตมีการจัดเรียงตัวไปในทิศทางเดียวกันแล้ว สมบัติเชิงกลของคอมโพสิตที่แสดงออกมากจะมีค่าแตกต่างกัน ตามแนวแรงที่กระทำ ดังนั้นสิ่งสำคัญอย่างหนึ่งที่ต้องพิจารณาตั้งแต่การออกแบบคือ ขนาดและลักษณะแรงที่กระทำต่อขั้นงาน

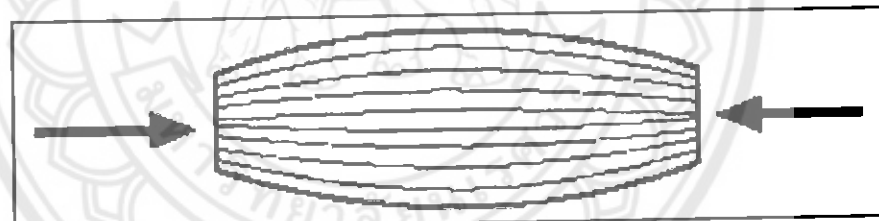
2.6 การรับแรงของวัสดุคอมโพสิต

2.6.1 แรงดึง (Tension) แสดงลักษณะแรงดึงที่กระทำต่อกомโพสิต การตอบสนองต่อแรงกระทำของวัสดุขึ้นอยู่กับแรงดึง และความแข็งแรงเชิงกลของ เส้นใยเสริมแรงที่ใช้ดังรูป รูปที่ 2.5



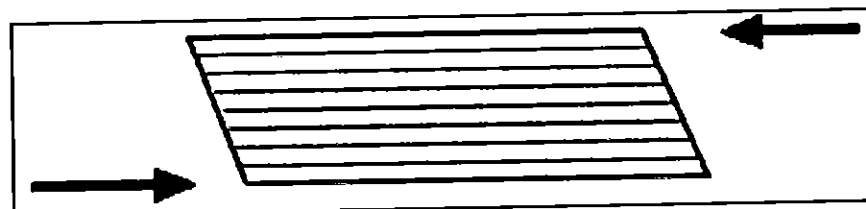
รูปที่ 2.5 แรงดึง

2.6.2 แรงกดอัด (Compression) แสดงลักษณะคอมโพสิตที่ได้รับแรงกดอัด ในสภาพนี้ ความแข็งแรงของวัสดุจะขึ้นกับสมบัติความแข็งตึง และการยึดติด (adhesion) ของเนื้อโพลิเมอร์เป็นหลัก เมื่อจากโพลิเมอร์ทำหน้าที่ห่อหุ้มเส้นใยเสริมแรงให้อยู่ในลักษณะเส้นตรง และป้องกันไม่ให้เส้นใยโค้งงอดังรูปที่ 2.6



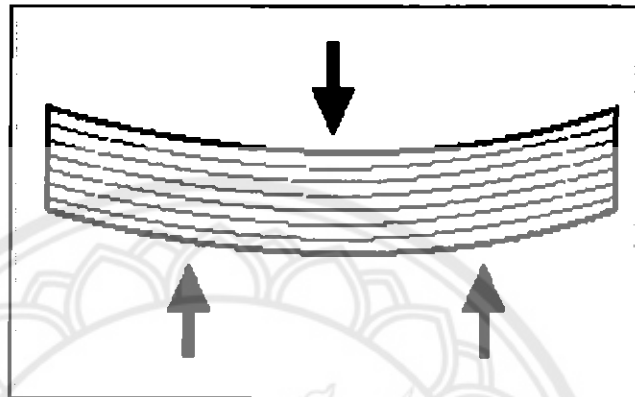
รูปที่ 2.6 แรงกดอัด

2.6.3 แรงเฉือน (Shear) ลักษณะแรงที่กระทำต่อกомโพสิตมีพิเศษทางตรงข้ามกัน และแนวแรงอยู่ต่ำระดับกันภายในได้สภาวะแบบนี้โพลิเมอร์จะมีบทบาทอย่างมาก ในเรื่องการยึดติดกันเส้นใยเสริมแรงไม่ใช่ในเรื่องสมบัติความแข็งแรงเชิงกล โดยเฉพาะอย่างยิ่งในคอมโพสิตที่มีการเรียงเส้นใยเสริมแรงเป็นชั้น ๆ



รูปที่ 2.7 แสดงลักษณะแรงเฉือนที่กระทำต่อกอมโพสิต

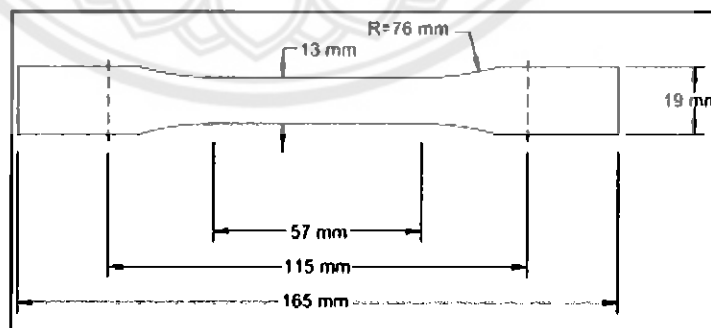
2.6.4 แรงดัด (Flexure) ลักษณะของแรงที่กระทำกับวัสดุมีลักษณะผสานของแรงดึง แรงเฉือน และแรงกดอัด 3 แรงเข้าด้วยกัน เนื่องได้ว่ากึ่งกลางของด้านบนของวัสดุถูกแรงกดอัดกระทำขณะที่วัสดุจะถูกแรงยืดและแรงเฉือนจากการยืดตัวของวัสดุดังรูปที่ 2.8



รูปที่ 2.8 แรงดัด

2.7 มาตรฐานการทดสอบความต้านทานแรงดึง ASTM D638 TYPE I

มาตรฐาน ASTM D638 เป็นมาตรฐานสำหรับการทดสอบสมบัติแรงดึงของพลาสติกและพลาสติกเสริมแรง โดยใช้ชิ้นงานรูปร่างดัมเบล์ (Types I) ดังรูปที่ 2.9, แห่ง หรือท่อทรงกระบอก สมบัติแรงดึงได้แก่ ความต้านทานแรงดึงสูงสุด ความเครียดที่จุดแตกหัก และมอดูลัสสมบัติทางกลของพลาสติก สามารถเปลี่ยนแปลงเมื่อมีการเติมสารตัวเติมบางประเภทเข้าไปในพลาสติกทำให้มีผลต่อ ความแข็งแรง, การยืดตัว และความเหนียว



รูปที่ 2.9 มาตรฐานวัสดุทดสอบ ASTM D638 TYPE I [5]

บทที่ 3

การทดสอบวัสดุคอมโพสิตแบบเรซิ่นเสริมไยแก้วแบบหอ

3.1 วัตถุประสงค์

3.1.1 เพื่อพัฒนาเทคนิคการขึ้นรูปวัสดุคอมโพสิตแบบเรซิ่นเสริมไยแก้วแบบหอด้วยมือให้เป็นแผ่นบาง

3.1.2 ศึกษาพฤติกรรมทางกลของแผ่นคอมโพสิตภายใต้แรงดึง โดยพิจารณาจากโมดูลัสความยืดหยุ่น, ความเค้นและความเครียด ณ จุดคราก, ค่าความแข็งแรงสูงสุดหรือความต้านแรงดึงสูงสุดของวัสดุคอมโพสิตแบบเรซิ่นเสริมไยแก้วแบบหอ

3.2 วัสดุและอุปกรณ์

3.2.1 ชิ้นงานทดสอบแรงดึงสูตรละ 10 ชิ้น

3.2.2 เครื่องมือทดสอบ LR10KPlus 10 kN Universal Materials Testing Machine

3.2.3 คอมพิวเตอร์

3.3 วิธีการทดลอง

3.3.1 ขึ้นรูปและตัดให้ได้ขนาด

3.3.2 นำชิ้นงานมาทดสอบแรงดึง โดยใช้เครื่องมือทดสอบ LR 10K Plus 10 kN Universal Materials Testing Machine ให้บันทึกข้อมูล Load และ Extension เพื่อจะนำไปแสดงผลในรูปของ Stress-strain curve

3.3.3 คำนวณหาค่า Young's modulus, Load at Maximum load, Stress at Maximum load, Strain at Maximum load, Tensile Strength

3.3.4 วิเคราะห์ผลการทดลองและสรุปผล

3.4 ส่วนผสมและการขึ้นรูป

3.4.1 ส่วนผสม

ตารางที่ 3.1 ส่วนผสมวัสดุคอมโพสิตแบบเรซิ่นเสริมไยแก้วแบบห่อ

ชื่อสูตร	ส่วนผสม	น้ำหนัก(กรัม)	เปอร์เซ็น(%)
สูตร A	ตัวทำแข็ง (MEKPO M-60)	0.5	0.34
	ตัวทำละลาย (Monostyrene,C ₈ H ₈)	2	1.37
	ไยแก้วแบบห่อ (Woven Fabrics)	44	30.03
	เรซิ่น (Polyester Resin-355E)	100	68.26
สูตร B	ตัวทำแข็ง (MEKPO M-60)	0.5	0.34
	ตัวทำละลาย (Monostyrene,C ₈ H ₈)	3	2.03
	ไยแก้วแบบห่อ (Woven Fabrics)	44	29.83
	เรซิ่น (Polyester Resin-355E)	100	67.80
สูตร C	ตัวทำแข็ง (MEKPO M-60)	0.5	0.34
	ตัวทำละลาย (Monostyrene,C ₈ H ₈)	4	2.69
	ไยแก้วแบบห่อ (Woven Fabrics)	44	29.63
	เรซิ่น (Polyester Resin-355E)	100	67.34
สูตร D	ตัวทำแข็ง (MEKPO M-60)	1	0.68
	ตัวทำละลาย (Monostyrene,C ₈ H ₈)	2	1.36
	ไยแก้วแบบห่อ (Woven Fabrics)	44	29.93
	เรซิ่น (Polyester Resin-355E)	100	68.03
สูตร E	ตัวทำแข็ง (MEKPO M-60)	1	0.67
	ตัวทำละลาย (Monostyrene,C ₈ H ₈)	3	2.03
	ไยแก้วแบบห่อ (Woven Fabrics)	44	29.73
	เรซิ่น (Polyester Resin-355E)	100	67.57
สูตร F	ตัวทำแข็ง (MEKPO M-60)	1	0.67
	ตัวทำละลาย (Monostyrene,C ₈ H ₈)	4	2.69
	ไยแก้วแบบห่อ (Woven Fabrics)	44	29.53
	เรซิ่น (Polyester Resin-355E)	100	67.11

ตารางที่ 3.1 ส่วนผสมวัสดุคอมโพสิตแบบเรซิ่นเสริมไยแก้วแบบทอ (ต่อ)

ชื่อสูตร	ส่วนผสม	น้ำหนัก(กรัม)	เปอร์เซ็น(%)
สูตร G	ตัวทำแข็ง (MEKPO M-60)	2	1.35
	ตัวทำละลาย (Monostyrene,C ₈ H ₈)	2	1.35
	ไยแก้วแบบทอ (Woven Fabrics)	44	29.73
	เรซิ่น (Polyester Resin-355E)	100	67.57
สูตร H	ตัวทำแข็ง (MEKPO M-60)	2	1.34
	ตัวทำละลาย (Monostyrene,C ₈ H ₈)	3	2.01
	ไยแก้วแบบทอ (Woven Fabrics)	44	29.53
	เรซิ่น (Polyester Resin-355E)	100	67.12
สูตร I	ตัวทำแข็ง (MEKPO M-60)	2	1.33
	ตัวทำละลาย (Monostyrene,C ₈ H ₈)	4	2.67
	ไยแก้วแบบทอ (Woven Fabrics)	44	29.33
	เรซิ่น (Polyester Resin-355E)	100	66.67

การทดสอบวัสดุคอมโพสิตของกลุ่มผู้ดำเนินโครงการได้ทดสอบวัสดุตั้งแต่สูตร E-I และสูตร A-D เป็นการทดสอบวัสดุคอมโพสิตของกลุ่มกังหันลมแกนตั้ง

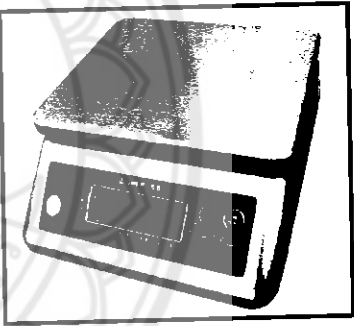
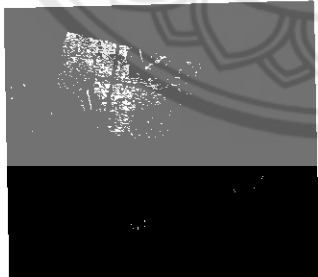
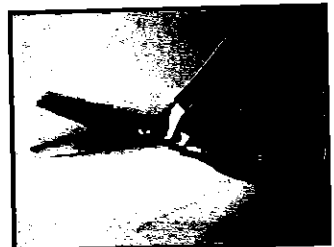
3.4.2 การขึ้นรูปชิ้นงานทดสอบ

3.4.2.1 วัสดุและอุปกรณ์

ตารางที่ 3.2 วัสดุและอุปกรณ์

วัสดุ	
ไยแก้วแบบทอ (Woven Fabrics) 	ขี้ผึ้งขัดผ้า (Rubbing Compound) 

ตารางที่ 3.2 วัสดุและอุปกรณ์ (ต่อ)

วัสดุ	
โพลีเอสเตอร์เรซิ่น (Polyester Resin)	ตัวทำละลาย (Monostyrene, C_8H_8)
	
อุปกรณ์	
หลอดหยดสาร	ตาชั่งดิจิตอล
	
แผ่นอะคริลิคใช้เป็นแม่แบบ	ภาชนะบรรจุสำหรับเทแยก, ผสมเรซิ่น
	
กรรไกร	เลื่อยฉลุ
	

3.4.3 ขั้นตอนการขึ้นรูปวัสดุทดสอบด้วยแรงดึงตามมาตรฐาน ASTM D638 TYPE I

ก. ทำความสะอาดแม่แบบด้วยน้ำเช็ดให้แห้งขัดผิวแม่แบบให้เรียบมันด้วยฟองซักผ้าหรือเทียน ให้ผิวเป็นมันเงาเพื่อป้องกันการติดกันระหว่างแม่แบบกับเรซิน (Polyester Resin-355E) เมื่อแข็งตัว

ข. ทำการผสมตัวทำแข็ง (MEKPO M-60) + เรซิน (Polyester Resin-355E) + โนโนสไตรีน (Monostyrene, C₈H₈) (ตามแต่ละส่วนผสม) เพื่อนำไปหล่อขึ้นรูปวัสดุคอมโพสิต

ค. ทาเรซิน (Polyester Resin-355E) ที่ผสมแล้วลงในแม่แบบ ที่ได้จากการทำการผสมตัวทำแข็ง (MEKPO M-60) + เรซิน (Polyester Resin-355E) + ตัวทำละลาย(Monostyrene,C₈H₈) ดังรูปที่ 3.1

ง. นำไปแก้วแบบทอที่ตัดไว้แล้ว มาวางตามขอบขอนมุนก่อน แล้ววางในส่วนที่เหลือลง แล้วใช้ประทุมทาเรซิน (Polyester Resin-355E) ที่ผสมแล้วบนไข้แก้วอีก1ชั้น

จ. ทำการประกบแม่แบบใช้แผ่นแม่แบบมาประกบ จากนั้นใช้ลูกกลิ้งໄล์ฟองอากาศให้ทั่วแล้วทิ้งไว้ประมาณ 3-5 ชม. หลังจากนั้นทำการแกะแม่แบบออก

ฉ. การตัดแบบโดยตัดตามแนวเส้นไข่ทำการตัดแบบโดยใช้เลื่อยฉลุตัดตามแนวเส้นไข่ แนวตั้งหรือแนวอน澎ะเนื่องจากใบมีการหอยแบบตั้งฉากกันดังรูปที่ 3.2

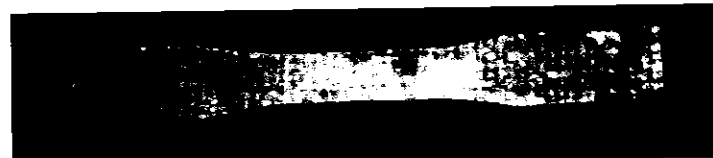
ช. นำชิ้นงานทดสอบไปขัดด้วยกระดาษทรายเพื่อให้ผิวของเรียบยิ่งขึ้น



รูปที่ 3.1 ทาเรซินที่ผสมแล้วลงในแม่แบบ



รูปที่ 3.2 การตัดแบบ



รูปที่ 3.3 ชิ้นงานคอมโพสิตที่ตัดตามมาตรฐาน ASTM D638 TYPE I

3.5 ผลการทดสอบ

ผลการทดสอบแรงดึงของแผ่นคอมโพสิตแบบเรซิ่นเสริมไบแก้วแบบท่อ โดยพิจารณาจากค่าความแข็งแรงสูงสุดหรือความด้านแรงดึงสูงสุดและระยะยืด ของส่วนผสมสูตร E-1

ตารางที่ 3.3 ผลการทดสอบแรงดึงของวัสดุคอมโพสิตแบบเรซิ่นเสริมไบแก้วแบบท่อ สูตร E

สูตร E	Polyester Resin-355E	67.57%	MEKPO M-60	0.67%		
	Woven Fiberglass Fabrics	29.73%	Monostyrene, C ₈ H ₈	2.03%		
ชิ้นงาน	E1	E2	E3	E4	E5	เฉลี่ย
ความหนา (mm)	0.55	0.55	0.55	0.55	0.55	0.55
พื้นที่หน้าตัด $\times 10^{-6}$ (m ²)	7.15	7.15	7.15	7.15	7.15	7.15
ความยาวเดิม (mm)	57	57	57	57	57	57
แรงที่วัสดุขาด (N)	1425.05	1902.95	1491.22	1498.22	1789.85	1621.46
ระยะยืดรวม (mm)	4.29	4.23	3.96	4.33	3.97	4.16
ความเด่น (MPa)	199.31	266.15	208.56	209.54	250.33	226.78
ความเครียด	0.08	0.07	0.07	0.08	0.07	0.07
Young's Modulus (MPa)	6614.18	8051.90	7260.82	5898.52	7543.94	7073.87
Tensile Strength (MPa)	199.31	266.15	208.56	209.54	250.33	226.78

ตารางที่ 3.4 ผลการทดสอบแรงดึงของวัสดุคอมโพสิตแบบเรซิ่นเสริมไยแก้วแบบห่อ สูตร F

สูตร F	Polyester Resin-355E	67.11%	MEKPO M-60		0.67%
	Woven Fiberglass Fabrics	29.53%	Monostyrene,C ₈ H ₈		2.69%
ชิ้นงาน	F1	F2	F3	F4	F5
ความหนา (mm)	0.52	0.52	0.52	0.52	0.52
พื้นที่หน้าตัด $\times 10^{-6}$ (m ²)	6.76	6.76	6.76	6.76	6.76
ความยาวเดิม (mm)	57	57	57	57	57
แรงที่วัสดุขาด (N)	1091.69	1207.21	1059.74	1008.05	1233.23
ระยะยืดรวม (mm)	2.76	2.89	2.79	2.80	2.86
ความเค้น (MPa)	161.49	178.58	156.77	149.12	182.43
ความเครียด	0.05	0.05	0.05	0.05	0.05
Young's Modulus (MPa)	6574.26	6305.16	6249.18	6451.27	6724.59
Tensile Strength (MPa)	161.49	178.58	156.77	149.12	182.43
					165.68

ตารางที่ 3.5 ผลการทดสอบแรงดึงของวัสดุคอมโพสิตแบบเรซิ่นเสริมไยแก้วแบบห่อ สูตร G

สูตร G	Polyester Resin-355E	67.57%	MEKPO M-60		1.35%
	Woven Fiberglass Fabrics	29.73%	Monostyrene,C ₈ H ₈		1.35%
ชิ้นงาน	G1	G2	G3	G4	G5
ความหนา (mm)	0.57	0.57	0.57	0.57	0.57
พื้นที่หน้าตัด $\times 10^{-6}$ (m ²)	7.41	7.41	7.41	7.41	7.41
					7.41

ตารางที่ 3.5 ผลการทดสอบแรงดึงของวัสดุคอมโพสิตแบบเรซิ่นเสริมไยแก้วแบบท่อ สูตร G (ต่อ)

สูตร G	Polyester Resin-355E	67.57%	MEKPO M-60	1.35%		
	Woven Fiberglass Fabrics	29.73%	Monostyrene,C ₈ H ₈	1.35%		
ชิ้นงาน	G1	G2	G3	G4	G5	เฉลี่ย
ความยาวเดิม (mm)	57	57	57	57	57	57
แรงที่วัสดุขาด (N)	1041.42	1104.17	978.70	838.63	1105.45	1105.45
ระยะปีดรวม (mm)	2.30	2.98	2.88	3.50	2.52	2.52
ความเค้น (MPa)	140.54	149.01	132.08	113.18	149.18	136.80
ความเครียด	0.04	0.05	0.05	0.06	0.04	0.04
Young's Modulus (MPa)	6587.34	5417.54	6405.65	6162.22	6092.76	6133.10
Tensile Strength (MPa)	140.54	149.01	132.08	113.18	149.18	136.80

ตารางที่ 3.6 ผลการทดสอบแรงดึงของวัสดุคอมโพสิตแบบเรซิ่นเสริมไยแก้วแบบท่อ สูตร H

สูตร H	Polyester Resin-355E	67.12%	MEKPO M-60	1.34%		
	Woven Fiberglass Fabrics	29.53%	Monostyrene,C ₈ H ₈	2.01%		
ชิ้นงาน	H1	H2	H3	H4	H5	เฉลี่ย
ความหนา (mm)	0.45	0.45	0.45	0.45	0.45	0.45
พื้นที่หน้าตัด $\times 10^{-6}$ (m ²)	5.85	5.85	5.85	5.85	5.85	5.85
ความยาวเดิม (mm)	57	57	57	57	57	57
แรงที่วัสดุขาด (N)	920.81	1016.35	792.27	818.28	796.01	868.74

ตารางที่ 3.6 ผลการทดสอบแรงดึงของวัสดุคอมโพสิตแบบเรซิ่นเสริมไยแก้วแบบท่อ สูตร H (ต่อ)

สูตร H	Polyester Resin-355E	67.12%	MEKPO M-60	1.34%		
	Woven Fiberglass Fabrics	29.53%	Monostyrene,C ₈ H ₈	2.01%		
ชิ้นงาน	H1	H2	H3	H4	H5	เฉลี่ย
ระยะยืดรวม (mm)	2.72	2.62	2.27	2.51	2.31	2.48
ความเค้น (MPa)	157.40	173.73	135.43	139.88	136.09	148.51
ความเครียด	0.05	0.05	0.04	0.04	0.04	0.04
Young's Modulus (MPa)	7558.53	6421.95	7700.43	6307.59	6139.32	6825.56
Tensile Strength (MPa)	157.40	173.73	135.43	139.88	136.09	148.51

ตารางที่ 3.7 ผลการทดสอบแรงดึงของวัสดุคอมโพสิตแบบเรซิ่นเสริมไยแก้วแบบท่อ สูตร I

สูตร I	Polyester Resin-355E	66.67%	MEKPO M-60	1.33%		
	Woven Fiberglass Fabrics	29.33%	Monostyrene,C ₈ H ₈	2.67%		
ชิ้นงาน	I1	I2	I3	I4	I5	เฉลี่ย
ความหนา (mm)	0.82	0.82	0.82	0.82	0.82	0.82
พื้นที่หน้าตัด $\times 10^{-6}$ (m ²)	10.66	10.66	10.66	10.66	10.66	10.66
ความยาวเดิม (mm)	57	57	57	57	57	57
แรงทัวร์สุดขาด (N)	1066.08	1190.13	1123.45	1099.42	856.23	1067.06
ระยะยืดรวม (mm)	2.33	2.83	2.54	2.44	2.38	2.50
ความเค้น (MPa)	100.01	111.64	105.39	103.14	80.33	100.10

ตารางที่ 3.7 ผลการทดสอบแรงดึงของวัสดุคอมโพสิตแบบเรซิ่นเสริมไข้แก้วแบบท่อ สูตร I (ต่อ)

สูตร I	Polyester Resin-355E	66.67%	MEKPO M-60		1.33%	
	Woven Fiberglass Fabrics	29.33%	Monostyrene, C_8H_8		2.67%	
ขั้นงาน	I1	I2	I3	I4	I5	เฉลี่ย
ความเครียด	0.04	0.05	0.05	0.04	0.04	0.04
Young' Modulus (MPa)	5650.29	5579.18	5633.36	5823.15	6345.93	5806.38
Tensile Strength (MPa)	100.01	111.64	105.39	103.14	80.33	100.10

3.6 สรุปผลการทดสอบ

ตารางที่ 3.8 สรุปผลการทดสอบ

สูตร	ค่าเฉลี่ย								
	ความ หนา (mm)	พื้นที่ หน้าตัด $\times 10^{-6}$ (m^2)	ความ ยาว เดิม (mm)	แรงที่ วัสดุขาด (N)	ระยะ ยืดรวม (mm)	ความ เค้น (MPa)	ความ เครียด (MPa)	Young' Modulus (MPa)	Tensile Strength (MPa)
A	0.62	8.06	57	1066.92	2.51	129.54	0.05	5257.80	129.54
B	0.47	6.11	57	1362.31	3.89	232.17	0.06	6393.69	232.17
C	0.55	7.15	57	1396.75	3.27	196.31	0.06	6868.80	193.31
D	0.52	6.76	57	1067.39	2.80	158.43	0.05	6068.73	158.43
E	0.55	7.15	57	1621.46	4.16	226.78	0.07	7073.87	226.78
F	0.52	6.76	57	1119.98	2.82	136.80	0.04	6133.10	136.80
G	0.57	7.41	57	1105.45	2.52	136.80	0.04	6133.10	136.80
H	0.45	5.85	57	868.74	2.48	148.51	0.04	6825.56	148.51
I	0.82	10.66	57	1067.06	2.50	100.10	0.04	5806.38	100.10

ผลการทดสอบวัสดุคอมโพสิตของกลุ่มผู้ดำเนินโครงการได้ผลทดสอบวัสดุตั้งแต่สูตร E-I และสูตร A-D เป็นผลการทดสอบวัสดุคอมโพสิตของกลุ่มกังหันลมแกนตั้ง

จากการขึ้นรูปวัสดุคอมโพสิตแบบเรซิ่นเสริมไนเก็ตแบบหดด้วยมือ ได้กำหนดตัวแปรคือ สารตัวทำละลาย(Monostyrene, C_8H_8) และตัวทำแข็ง(MEKPO- M-60) โดยแบ่งส่วนผสมเป็น 9สูตร เมื่อได้ชิ้นงานจากการขึ้นรูปวัสดุคอมโพสิตด้วยมือก็นำไปตัดตามมาตรฐาน (ASTM D638 TYPE I) ผลการทดสอบพบว่า การผสมสารสารตัวทำละลาย(Monostyrene, C_8H_8) และตัวทำแข็ง (MEKPO- M-60) ตัวใดตัวหนึ่งที่สัดส่วนมากหรือน้อยเกินไปทำให้มีผลต่อความต้านทานแรงดึงและความยืดหยุ่น ของวัสดุคอมโพสิตซึ่งทำให้เกิดการแตกหักง่ายหรือมีแข็งแรงแต่มีความประจาย

จากการทดสอบจึงสรุปว่า สูตร E มีแรงที่ทำให้วัสดุขาดมีค่าเท่ากับ 1621.46 N, ความ เก็บมีค่าเท่ากับ 226.78 MPa, ความเครียดมีค่าเท่ากับ 0.07, ความยืดหยุ่นของวัสดุ (Young's Modulus) มีค่าเท่ากับ 7073.87 MPa และความต้านทานแรงดึง(Tensile- Strength) มีค่าเท่ากับ 226.78 MPa (จากตารางที่ 3.8) มีความหมายสมกับการนำไปใช้ในการขึ้นรูปใบพัดกังหันลม



บทที่ 4

การขึ้นรูปใบพัดและการประกอบกังหันลม

จากการทดสอบวัสดุคอมโพสิตในบทที่ผ่านมาทำให้ได้ส่วนผสมที่มีความยืดหยุ่นสูงสุดและมีความแข็งแรงที่เหมาะสมกับการนำมาสร้างใบพัดของกังหัน คือ สูตร E มีอัตราส่วนตัวทำแข็ง (MEKPO M-60) 0.67% (1กรัม), ตัวทำละลาย(Monostyrene,C₈H₈) 2.03% (3กรัม), ไยแก้วแบบห่อ (Woven Fabrics) (44กรัม), เรซิ่น (Polyester Resin-355E) 67.57% (100กรัม) ในบทนี้จึงจะกล่าวถึงการขึ้นรูปใบพัดจากวัสดุคอมโพสิตและการประกอบกังหันลมแก่นอน

4.1 การขึ้นรูปใบพัด

4.1.2 ขั้นตอนการทำใบพัด (*โดยใช้ส่วนผสม E ตัวทำแข็ง (MEKPO M-60) 0.67%, ตัวทำละลาย (Monostyrene, C₈H₈) 2.03%)

ก. ทำความสะอาดแม่แบบด้วยน้ำเช็ดให้แห้งแล้วขัดผิวแม่แบบให้เรียบมันด้วยชี้ฟิ้งขัดผิว ให้ผิวเป็นมันเงาเพื่อป้องกันการติดกันระหว่างแม่แบบกับเรซิ่นเมื่อแข็งตัว

ข. ผสมสารเคมีทำการผสมตัวทำแข็ง(MEKPO M-60) ผสมกับ เรซิ่น(Polyester Resin-355E) และตัวทำละลาย(Monostyrene,C₈H₈) ผสมส่วนผสมให้เข้ากันท่าเรซิ่นที่ผสมแล้วลงในแม่แบบ วางไยแก้วที่ตัดไว้ลงตามขอบหรือมุมก่อน แล้วในส่วนที่เหลือลงให้ทั่ว

ค. ใช้ประแจจุ่มโพลีเอสเทอร์เรซิ่นที่ผสมแล้วทابนไยแก้วที่วางบนแม่แบบให้ทั่วอีกครั้ง ใช้แผ่นแม่แบบอีกแผ่นมาประกบ จากนั้นใช้ลูกกลิ้งໄล์ฟองอากาศให้ทั่ว ทำการประกบแผ่นแม่แบบ ทึบไว้ประมาณ 3-5 ชม.

ง. หลังจากนั้นทำการแกะแม่แบบออก วัดแบบใบพัดกังหันลมลงแผ่นวัสดุคอมโพสิตที่หล่อเสร็จเพื่อที่จะนำไปตัดเป็นใบพัดของกังหันลมดังรูปที่ 4.1 โดยแนวการตัดให้ขนานกับแนวเส้นใย

ฉ. ตัดแบบใบพัดกังหันลมโดยใช้เลื่อยฉลุดังรูปที่ 4.2

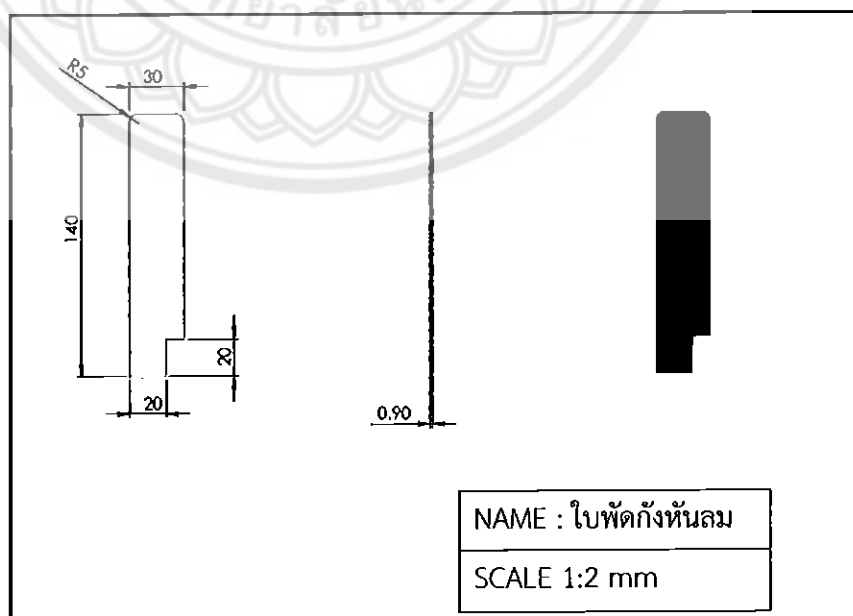


รูปที่ 4.1 กรวดแบบ



รูปที่ 4.2 การตัดแบบใบพัดกังหันลม

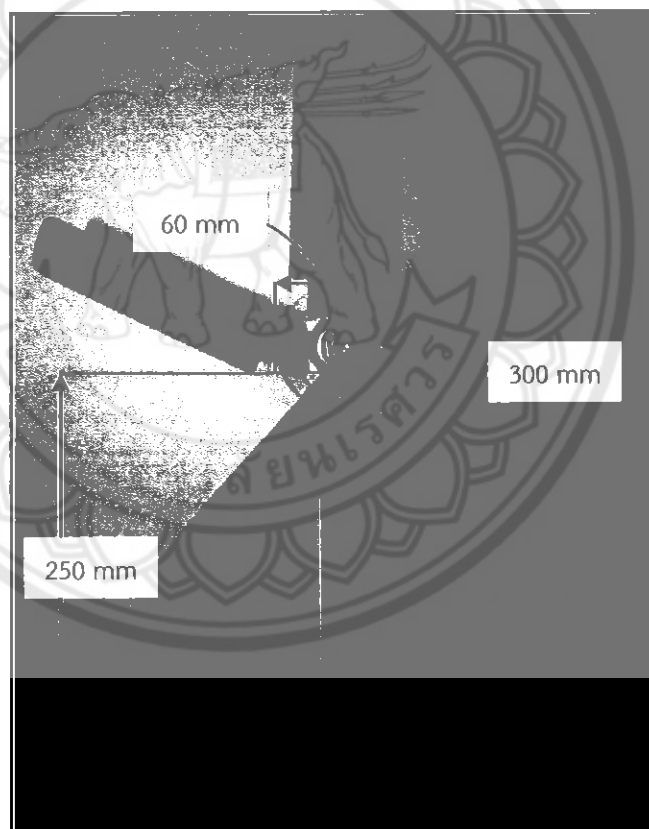
4.2 รูปแบบใบพัดกังหันลม



รูปที่ 4.3 รูปแบบใบพัดกังหันลม



รูปที่ 4.4 รูปแบบใบพัดกังหันลมที่ทำจากวัสดุคอมโพสิตแบบเรซิ่นเสริมไยแก้วแบบหอ

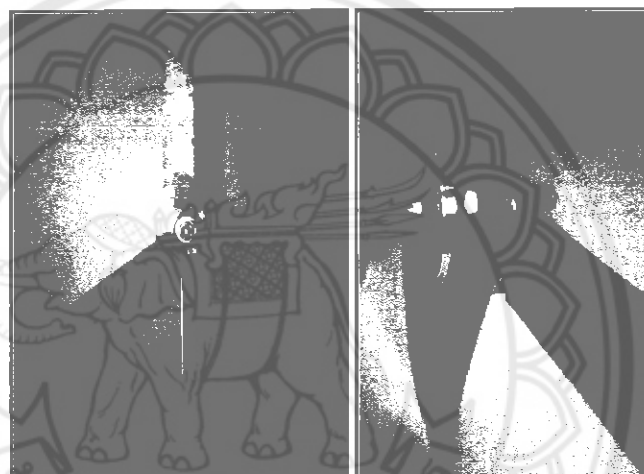


รูปที่ 4.5 ขนาดกังหันลมแกนนอน

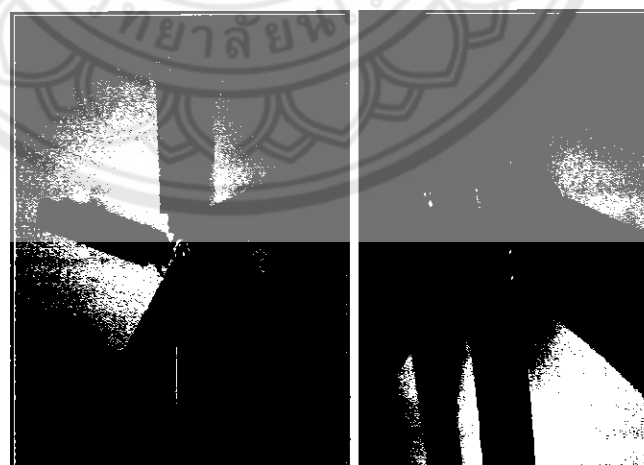
4.3 การประกอบชุดกังหันลม

หลังจากที่ได้ใบพัดกังหันมาแล้ว จากนั้นนำแกนจับที่ทำจากแผ่นอะครีลิกที่มีความหนา 5 มิลลิเมตร มาตัดเป็นวงกลมให้มีเส้นผ่านศูนย์กลาง 60 มิลลิเมตร จำนวน 6 แผ่น ขั้นตอนต่อไปคือการนำเอาแผ่นอะครีลิกที่ตัดเป็นแผ่นวงกลม มาเจาะทำมุมตามที่ต้องการโดยมุมที่จะเจาะนั้น มีทั้งหมดสามมุม คือ มุม 10,20 และ 30 องศา โดยการทดลองต้องการใบพัดกังหันที่มีจำนวนใบพัด 3 ใน

ทั้งหมดสามชุดที่ทำมุน 10,20 และ 30 องศาตามลำดับ และจำนวนใบพัด 5 ใน ทั้งหมดสามชุดที่ทำมุน 10,20 และ 30 องศา โดยการที่จะเจาะให้แผ่นอะครีลิคให้ทำมุนตามที่เราต้องการนั้น จะต้องไปวัดขนาดของมุนแล้วเขียนไว้บนกระดาษ จากนั้นจึงนำกระดาษที่ขีดเส้นขนาดของมุนแล้วมาติดไว้ที่แผ่นอะครีลิค เพื่อทำการเจาะต่อไป เมื่อเจาะแผ่นอะครีลิคครบตามที่ต้องการแล้ว จึงนำไปพัดกังหันมาประกอบกับแผ่นอะครีลิคที่เราเตรียมไว้ โดยใช้กาวเป็นตัวผสาน เมื่อชุดใบพัดกังหันที่ประกอบกับแกนจับมาแล้ว ขั้นตอนต่อไปคือ นำชุดใบพัดมาประกอบกับแกนหมุนของกังหันทั้งหมด 6 ชุด ตัวอย่างการประกอบกังหันลมดังรูปที่ 4.6 และรูปที่ 4.7



รูปที่ 4.6 กังหันลมชนิด 3 ใบพัดที่มุนปะทะ 10 องศา



รูปที่ 4.7 กังหันลมชนิด 5 ใบพัดที่มุนปะทะ 10 องศา

บทที่ 5

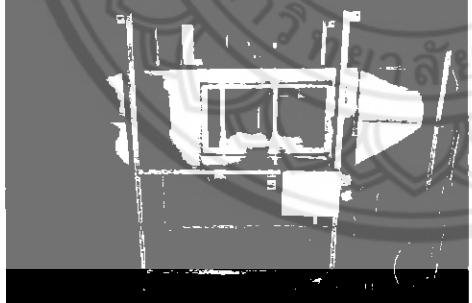
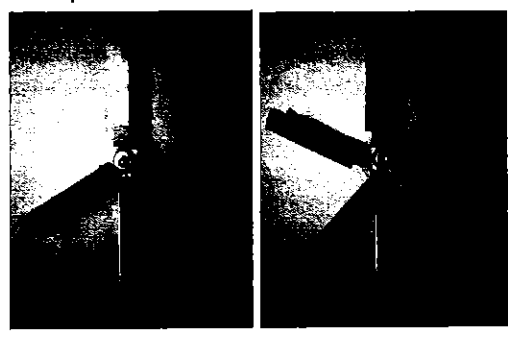
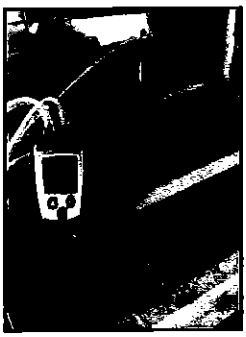
การหาประสิทธิภาพของกังหันลมแกนนอน

5.1 วัตถุประสงค์

- 5.1.1 ทดสอบกังหันลมที่เข็นรูปจากวัสดุคอมโพสิต เพื่อหากำลังที่ได้ออกมา
- 5.1.2 ทดสอบกังหันลมที่เข็นรูปจากวัสดุคอมโพสิต เพื่อหาประสิทธิภาพของกังหัน
- 5.1.3 ทดสอบกังหันลมที่เข็นรูปจากวัสดุคอมโพสิต เพื่อหาประสิทธิภาพเชิงกลของกังหัน

5.2 อุปกรณ์ที่ใช้ในการทดลอง

ตารางที่ 5.1 อุปกรณ์ที่ใช้ในการทดลอง

อุปกรณ์การทดลอง			
อุโมงค์ลมที่มีความเร็วลมช่วง 3-5 m/s		ตาชั้งสปริงขนาด 10 นิวตัน	
ชุดประกอบใบพัดกังหันลมแกนนอน		เครื่องวัดความเร็วลม	

ตารางที่ 5.1 อุปกรณ์ที่ใช้ในการทดลอง (ต่อ)

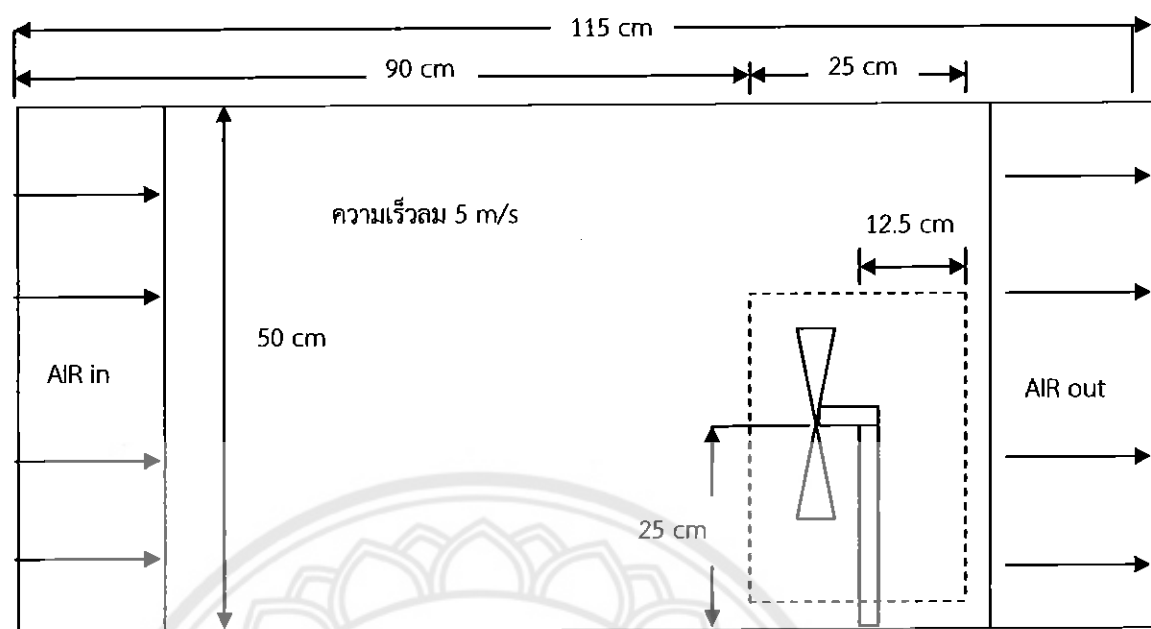
อุปกรณ์การทดลอง	
คานแขวนตาชั่งสปริง	เครื่องวัดความเร็วรอบ

5.3 ขั้นตอนการทดลอง

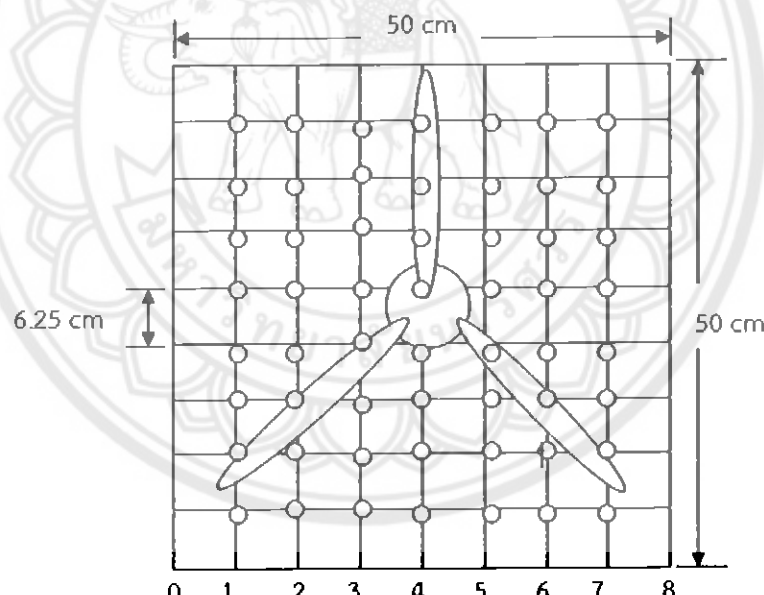
- 5.3.1 ประกอบกังหันลมชนิด 3 ใบพัดมีมุ่มปะทะ 10 องศา
- 5.3.2 นำกังหันลมที่ประกอบเสร็จไปติดตั้งในอุโมงค์ลม
- 5.3.3 เปิดเครื่องอุโมงค์เพื่อทำการทดสอบประสิทธิภาพกังหันลม วัดแรง วัดความเร็วลมหน้าและหลังใบพัด ที่มีระยะห่างจากใบพัดกังหันลม 10 cm
- 5.3.4 บันทึกผลการทดลอง
- 5.3.5 ทำตามขั้นตอนที่ 1 ขึ้น โดยเปลี่ยนชนิดกังหันลมเป็น 3 ใบพัดที่มุ่มปะทะ 20, 30 และ กังหันลมแบบ 5 ใบพัดที่มีมุ่มปะทะ 10, 20 และ 30 องศา ตามลำดับ



รูปที่ 5.1 การทดสอบกังหันลม



รูปที่ 5.2 ระยะการทดสอบกั้งหันลม



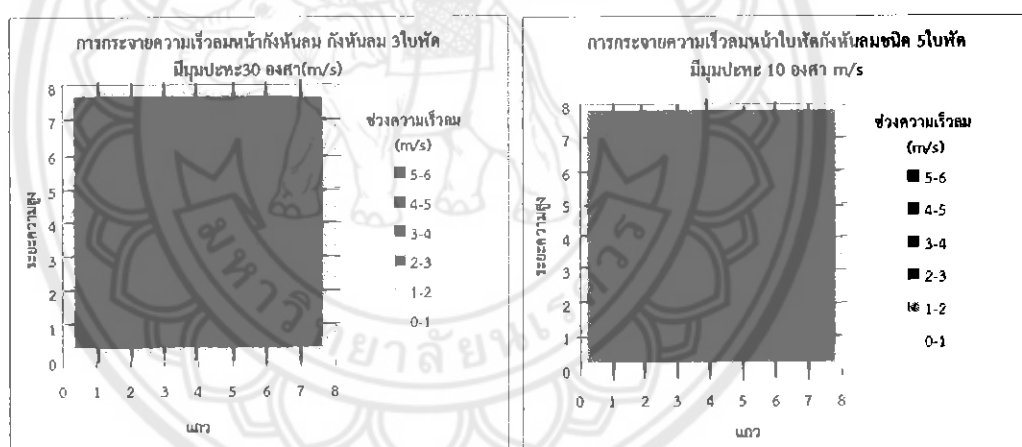
รูปที่ 5.3 ระยะการทดสอบกั้งหันลม

5.4 ผลการทดสอบ

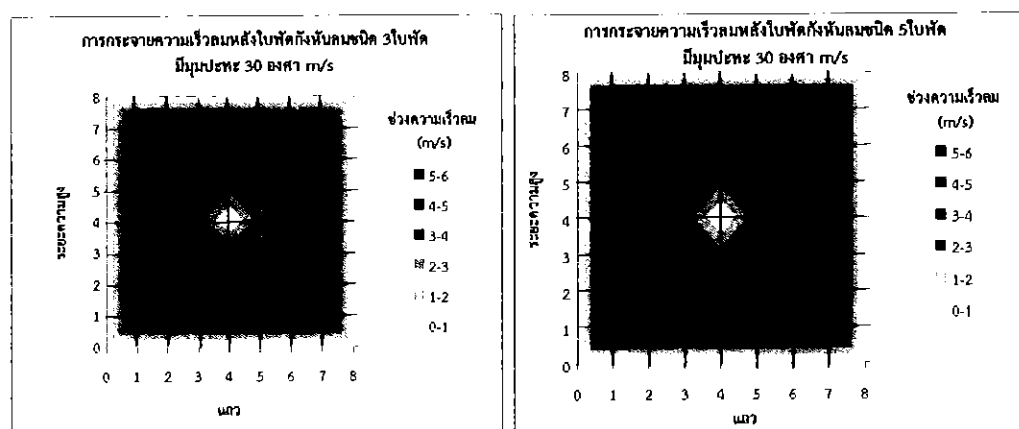
จากผลการทดสอบกั้งหันลมในอุโมงค์ลมดังรูปที่ 5.1 ได้ทำการวัดความเร็วลมด้านหน้าและหลังกั้งหันลม ของกั้งหันทั้ง 6 แบบ ที่มีระยะห่างจากใบพัดกั้งหันลม 12.5 cm ประกอบด้วย กั้งหันแบบ 3 ในพัด ที่ใบพัดกั้งหันทำมุม 10,20 และ 30 องศา และกั้งหันแบบ 5 ใน ที่ใบพัดกั้งหันทำมุม 10,20 และ 30 องศา จากนั้นนำค่าที่ได้มาทำการสร้างเป็นรูปภาพ contour plot จะเห็นได้ว่า ความเร็วลมด้านหน้ากั้งหันทั้ง 6 แบบ มีความราบเรียบสม่ำเสมอ เนื่องมาจากด้านหน้ากั้งหันนั้นไม่มีสิ่งกีด

ขวางการไหลของลม ซึ่งดูได้จากสีของรูปภาพ contour plot ที่เป็นสีเดียวกันไม่มีความทับซ้อนของสี แตกต่างกับสีของรูปภาพ contour plot ด้านหลังใบพัดที่มีความทับซ้อนของสีเกิดขึ้นอย่างเห็นได้ชัด เป็นผลมาจากการกังหันลมได้ขวางการไหลของลมและกังหันได้ดูดซับพลังงานลมที่ในผลผ่าน จึงทำให้มีการทับซ้อนของสีเกิดขึ้น และสามารถดูการดูดซับพลังงานของกังหันลมได้จากสีของรูปภาพ contour plot ได้เช่นเดียวกัน คือ สีที่อ่อนแสดงถึงความเร็วลมที่ต่ำ สีที่เข้มแสดงถึงความเร็วที่สูง จะเห็นได้ว่า รูปภาพ contour plot ด้านหลังกังหันส่วนตรงกลางของรูปซึ่งเป็นส่วนที่ใกล้จุดหมุนของกังหันจะมีสีอ่อนแสดงว่ามีการดูดซับพลังงานได้ดีที่สุดแล้วความเข้มของสีจะเพิ่มขึ้นจากส่วนตรงกลางของรูปภาพ contour plot และแสดงถึงการดูดซับพลังงานของกังหันจะน้อยลงตามความยาวของใบพัดดังตัวอย่าง contour plot ของการเปรียบเทียบความเร็วหน้าใบพัดกังหันดังรูปที่ 5.4 และความเร็วหลังใบพัด กังหันดังรูปที่ 5.5

5.4.1 แผนภาพการกระจายความเร็วลมในอุโมงค์ลม



รูปที่ 5.4 แผนภาพการกระจายความเร็วลมหน้ากังหันลม 3 และ 5 ในพัดที่มุนปะทะ 30 องศา



รูปที่ 5.5 แผนภาพการกระจายความเร็วลมหลังกังหันลม 3 และ 5 ในพัดที่มุนปะทะ 30 องศา

ตารางที่ 5.2 ผลการทดสอบกังหันลมในอุโมงค์ลม

ชนิดกังหันลม	ความเร็วลม หน้าใบพัด กังหันลมเฉลี่ย V_1 (m/s)	ความเร็วลม หลังใบพัด กังหันลมเฉลี่ย V_2 (m/s)	แรงท่าวัดได้ F (N)	แรงบิด T (Nm) $\times 10^{-3}$	ความเร็วรอบ N (rpm)
3 ใบพัดมีมุน 10°	5.45	4.98	0.91	3.64	910.19
3 ใบพัดมีมุน 20°	5.45	4.81	2.34	9.36	980.70
3 ใบพัดมีมุน 30°	5.44	4.64	2.78	11.12	1048.79
5 ใบพัดมีมุน 10°	5.45	4.79	1.31	5.24	1142.11
5 ใบพัดมีมุน 20°	5.43	4.62	2.80	11.20	1319.25
5 ใบพัดมีมุน 30°	5.42	4.45	5.17	20.68	938.11

5.5 การคำนวณหาค่าประสิทธิภาพของกังหันลม

5.5.1 ทฤษฎีการคำนวณหาค่าประสิทธิภาพของกังหันลม (η_T) เท่ากับอัตราส่วนของกำลังลมที่กังหันลมสามารถดึงออกมายได้ (P_w) ต่อกำลังลมที่กังหันได้รับ (P_{in})

$$\eta_T = \frac{P_w}{P_{in}}$$

$$\text{จาก } P_{in} = \frac{1}{2} \rho A V_1^3$$

$$P_w = \frac{1}{4} \rho A (V_1^2 - V_2^2)(V_1 + V_2)$$

ความหนาแน่นของอากาศ $\rho = 1.23 \text{ kg/m}^3$

5.6.2 ทฤษฎีการคำนวณหาค่าประสิทธิภาพเชิงกลของกังหันลม (η_M) ของกังหันลมเท่ากับอัตราส่วนของกังหันลมที่กังหันลมผลิตได้ (P_{out}) กับกำลังลมที่กังหันลมได้รับ (P_a)

$$\eta_M = \frac{P_{out}}{P_{in}}$$

$$\text{จาก } P_{out} = T \cdot \omega ; T = F \cdot r$$

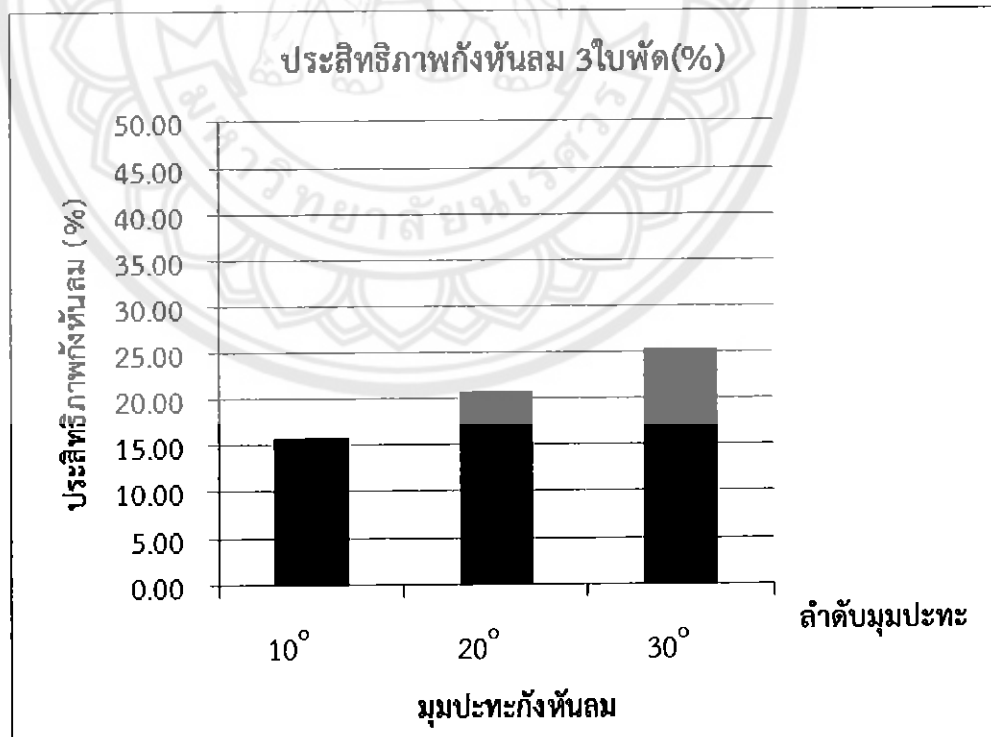
r = รัศมีของแกนเพลา

$$\omega = \frac{2\pi N}{60}$$

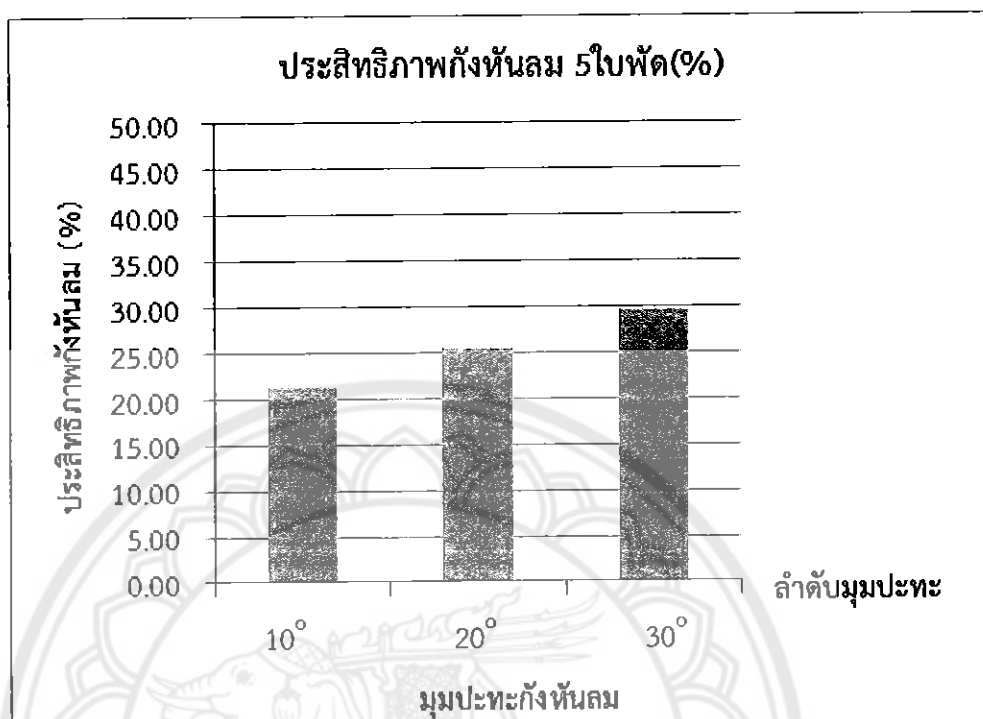
ตารางที่ 5.3 ผลการคำนวณ

ชนิดกังหันลม	กำลังลมที่กังหันได้รับ P_{in} (W)	กำลังที่กังหันลมสามารถดึงออกมายได้ P_w (W)	กำลังเชิงกลที่กังหันลมผลิตได้ P_{out} (W)	ประสิทธิภาพเชิงกลของกังหันลม (η_M)%	ประสิทธิภาพของกังหันลม (η_T)%
3 ใบพัดมีมุม 10°	7.04	1.11	0.35	4.93	15.79
3 ใบพัดมีมุม 20°	7.04	1.46	0.96	13.66	20.81
3 ใบพัดมีมุม 30°	7.00	1.77	1.22	17.45	25.25
5 ใบพัดมีมุม 10°	7.04	1.50	0.63	8.91	21.38
5 ใบพัดมีมุม 20°	6.96	1.78	1.55	22.23	25.55
5 ใบพัดมีมุม 30°	6.92	2.05	2.03	29.35	29.67

5.6 วิเคราะห์ผลการทดสอบและเปรียบเทียบประสิทธิภาพกังหันลม

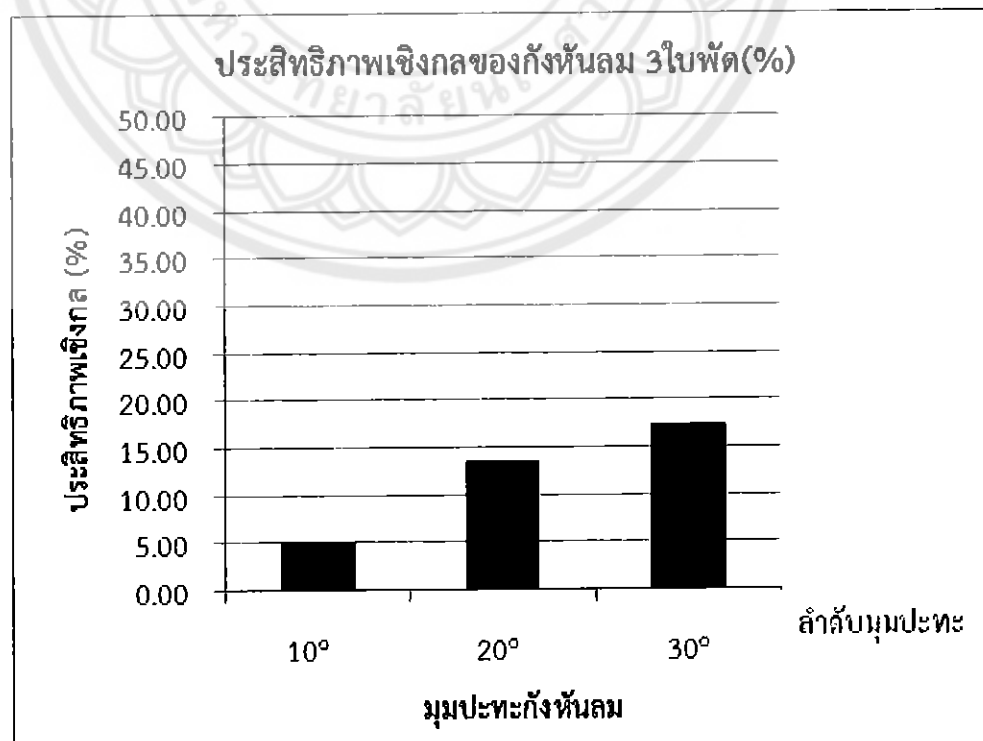


รูปที่ 5.6 ประสิทธิภาพของกังหันลม 3 ใบพัด

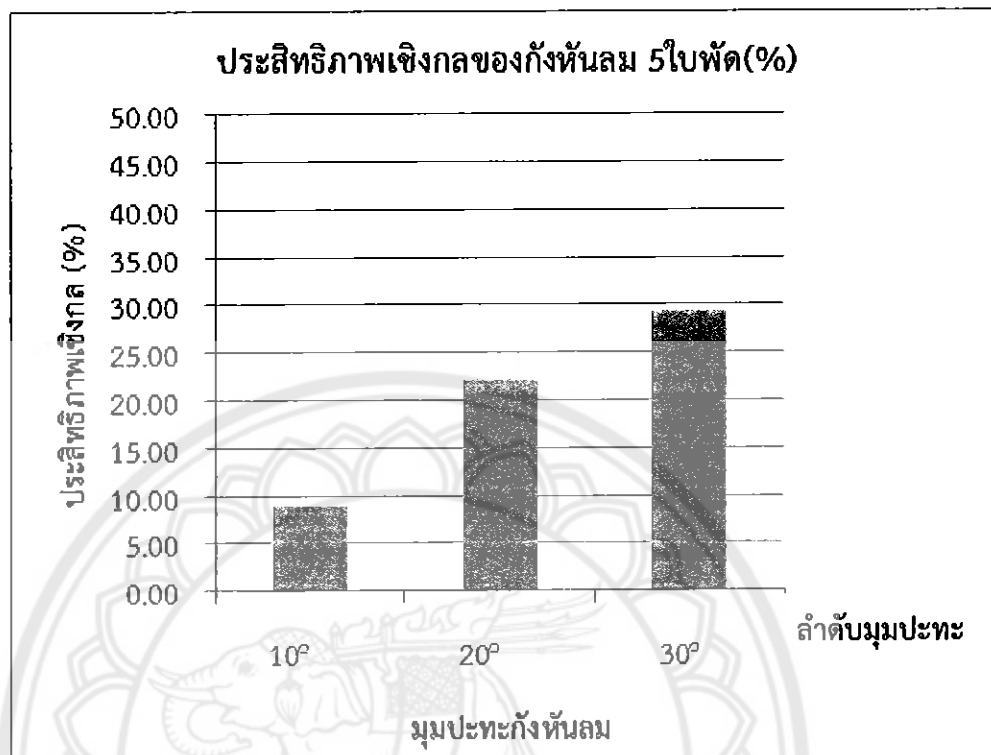


รูปที่ 5.7 ประสิทธิภาพของกังหันลม 5 ใบพัด

5.7 วิเคราะห์ผลการทดสอบและเปรียบเทียบประสิทธิภาพเชิงกลของกังหันลม



รูปที่ 5.8 ประสิทธิภาพเชิงกลของกังหันลม 3 ใบพัด



รูปที่ 5.9 ประสิทธิภาพเชิงกลของกังหันลม 5 ใบพัด

5.8 สรุปผลการทดสอบ

การทดสอบกังหันลมในอุโมงค์ลมที่มีความเร็วลมช่วง $3\text{-}5 \text{ m/s}$, $\text{Re}=30,000$ ที่มีมุนประทะต่างกันและจำนวนใบพัดต่างกัน แบ่งได้เป็น 2 ชุดประกอบของกังหันลมคือ กังหันลม 3 ใบพัด และกังหันลม 5 ใบพัด โดยกังหันลมแต่ละชุดจะมีมุนประทะ 10, 20 และ 30 องศา เพื่อทำการกำลังที่กังหันลมที่ขึ้นรูปใบพัดจากวัสดุคอมโพสิตสามารถผลิตได้ และหาประสิทธิภาพของกังหัน ประสิทธิภาพเชิงกลของกังหันลม

กังหันลมชนิด 3 ใบพัดที่มีมุนประทะ 10, 20 และ 30 องศา ตามลำดับพบว่ากังหันลมชนิด 3 ใบพัดที่มีมุนประทะ 30 องศา ให้กำลังมากที่สุดเท่ากับ 1.22 W และเมื่อนำค่ากำลังที่ได้ไปคำนวณพบว่าจะให้ค่าประสิทธิภาพเชิงกลของกังหันลมสูงที่สุดเท่ากับ 17.4% จากรูปกราฟที่ 5.8 ประสิทธิภาพของกังหันลมซึ่งสอดคล้องกับมุนประทะของกังหันลมที่เปลี่ยนแปลง

กังหันลมชนิด 5 ใบพัดที่มีมุนประทะ 10, 20 และ 30 องศา ตามลำดับพบว่ากังหันลมชนิด 5 ใบพัดที่มีมุนประทะ 30 องศา ให้กำลังมากที่สุดเท่ากับ 2.03 W และเมื่อนำค่ากำลังที่ได้ไปคำนวณพบว่าจะให้ค่าประสิทธิภาพเชิงกลของกังหันลมสูงที่สุดเท่ากับ 29.35% จากรูปกราฟที่ 5.9 ประสิทธิภาพเชิงกลของกังหันลมซึ่งสอดคล้องมุนประทะของกังหันลมที่เปลี่ยนแปลง

บทที่ 6

สรุปผลการทดลองและข้อเสนอแนะ

6.1 การทดสอบวัสดุคอมโพสิตแบบเรซิ่นเสริมไยแก้วแบบหอ

การขึ้นรูปวัสดุคอมโพสิตแบบเรซิ่นเสริมไยแก้วแบบหอด้วยวิธีขึ้นรูปด้วยมือมีส่วนผสมหลักคือ เรซิ่น (Polyester Resin-355E), ตัวทำแข็ง (MEKPO M-60), ไยแก้วแบบหอ (Woven Fabrics), สารตัวทำละลาย (Monostyrene,C₈H₈) ในการรูปวัสดุคอมโพสิตได้กำหนดตัวแปรคือ สารตัวทำละลาย (Monostyrene,C₈H₈) และตัวทำแข็ง (MEKPO- M-60) โดยพิจารณาจาก แรงสูงสุดที่วัสดุขาด(Load at Maximum Load), ระยะยืดรวม (Extension at Maximum Load), ความเดินสูงสุด (Stress at Maximum Load), ความเครียด (Strain at Maximum Load), โมดูลัสความยืดหยุ่น (Young's Modulus), ความต้านแรงดึง (Tensile Strength)

ข้อดีของการขึ้นรูปวัสดุคอมโพสิตแบบเรซิ่นเสริมไยแก้วแบบหอด้วยมือ ขึ้นรูปง่าย, ชั้นงานมีความเรียบ, ข้อเสีย ขึ้นรูปชั้นงานที่มีความซับซ้อนไม่ได้, ใช้เวลาในการแข็งตัวนาน, กำหนดความหนาของชั้นงานไม่ค่อยดี

จากการทดสอบของการทดสอบวัสดุคอมโพสิตด้วยแรงดึงโดยตัดชั้นงานทดสอบตามมาตรฐาน ASTM D638 TYPE I พบว่าส่วนผสม E ที่มีส่วนผสม เรซิ่น(Polyester Resin-355E) 0.67%, สารตัวทำละลาย(Monostyrene,C₈H₈) 2.03%, ไยแก้วแบบหอ(Woven Fabrics) 29.73% และตัวทำแข็ง(MEKPO M-60) 67.57% ผลของการทดสอบที่ได้จากส่วนผสม E แรงที่วัสดุขาดมีค่าเท่ากับ 1621.46 N, ความเดินมีค่าเท่ากับ 226.78 MPa, ความเครียดมีค่าเท่ากับ 0.07, ความยืดหยุ่นของวัสดุ (Young's Modulus) มีค่าเท่ากับ 7073.87 MPa และความต้านแรงดึง(Tensile- Strength) มีค่าเท่ากับ 226.78 MPa (จากตารางที่ 3.3) ซึ่งนำไปเป็นรูปใบพัดกังหันลม

6.2 การทดสอบกังหันลม

การทดสอบกังหันลมในอุโมงค์ลมที่มีความเร็วลมช่วง 5 m/s, $Re=1.536\times10^5$ (>4000 , เป็นการให้แบบปั๊นป่าว)

ผลการคำนวณค่าที่ได้จากการทดสอบกังหันลมแกนนอนในอุโมงค์ลม พบว่ากังหันลมชนิด 3 ในพัดที่มีมุ่มปะทะ 10,20 และ 30 องศา ตามลำดับพบว่า กังหันลมชนิด 3 ในพัดที่มีมุ่มปะทะ 30

องศา ให้กำลังมากที่สุดเท่ากับ 1.22 W และเมื่อนำค่ากำลังที่ได้ไปคำนวณพบว่าจะให้ค่าประสิทธิภาพ เชิงกลของกังหันลมสูงที่สุดเท่ากับ 17.45 % จากรูปกราฟที่ 5.8 ประสิทธิภาพของกังหันลมซึ่งมีความ สอดคล้องกับมุมปะทะของกังหันลมที่เปลี่ยนแปลง

กังหันลมชนิด 5 ในพัดที่มีมุมปะทะ 10,20 และ 30 องศา ตามลำดับพบว่ากังหันลมชนิด 5 ในพัดที่มีมุมปะทะ 30 องศา ให้กำลังมากที่สุดเท่ากับ 2.03 W และเมื่อนำค่ากำลังที่ได้ไปคำนวณ พบร่วมกับค่าประสิทธิภาพเชิงกลของกังหันลมสูงที่สุดเท่ากับ 29.35 % จากรูปกราฟที่ 5.9 ประสิทธิภาพเชิงกลของกังหันลมซึ่งมีความสอดคล้องมุมปะทะของกังหันลมที่เปลี่ยนแปลง

จากการทดสอบกังหันลมในอุโมงค์ลมพบว่าการเพิ่มมุมปะทะและการเพิ่มจำนวนใบพัด ของกังหันลมมีผลต่อประสิทธิภาพของกังหันลม (η_T) และประสิทธิภาพเชิงกล (η_M) เปรียบเทียบได้ จากประสิทธิภาพของกังหันลม (η_T) กังหันลม 3 ใบพัดที่มีมุมปะทะ 30 องศา มีค่าเท่ากับ 25.25%, ประสิทธิภาพเชิงกล (η_M) มีค่าเท่ากับ 17.45% และจากประสิทธิภาพของกังหันลม (η_T) กังหันลม 5 ใบพัดที่มีมุมปะทะ 30 องศา มีค่าเท่ากับ 29.67%, ประสิทธิภาพเชิงกล (η_M) มีค่าเท่ากับ 29.35%

6.3 ข้อเสนอแนะ

- การทำงานเรซิ่น ระหว่างการทำงานเรซิ่นควรใส่ถุงมือ ผ้าปิดจมูก ต้องทำในที่ที่มีอากาศ ถ่ายเทศาดวก เมื่อทำงานเรซิ่นเสร็จแล้วต้องเก็บวัสดุ งานต่างๆให้เรียบร้อย
- ขนาดเส้นผ่านศูนย์กลางของไนแก้มีผลต่อความต้านทานแรงดึง
- ในการสร้างใบพัดกังหันลมควรให้มีหลายใบแบบ เพื่อศึกษาและพัฒนาให้กังหันลม มี ประสิทธิภาพเพิ่มขึ้น
- จากการทดสอบกังหันลม พบร่วมกับการเพิ่มจำนวนใบพัดและมุมปะทะทำให้กังหันลมมี ประสิทธิภาพเพิ่มขึ้นด้วย ดังนั้นในการพัฒนาต่อไปควรสร้างกังหันลมที่มีใบพัดหลายใบพัดและเพิ่ม มุมปะทะให้มีหลายมุมปะทะ
- การทดสอบกังหันลมในอุโมงค์ลมควรเพิ่มความเร็วลมให้มีหลายช่วงความเร็วลมเพื่อที่จะ หาประสิทธิภาพของกังหันที่ดีที่สุดได้

บรรณานุกรม

[1] รเนศ ปวนคำมา, พงศกร อนุนิวัฒน์, สะท้านภพ ขวัญแก้ว. (2553).**ศึกษาความเป็นไปได้ของการใช้กังหันลมขนาดเล็กแบบพกพาได้.**วิทยานิพนธ์ปริญญาวิศวกรรมศาสตรบัณฑิต พิษณุโลก: มหาวิทยาลัยนเรศวร.

[2] กรมพัฒนาและส่งเสริมพลังงาน. (2544). **แผนที่ศักยภาพพลังงานลมของประเทศไทย.** กรุงเทพฯ: เส้นทรัลการพิมพ์.

จาก : <http://www2.dede.go.th/renew/Twm/main.htm>

[3] ไพรัช กิจารุษ และ บรรณา วัฒนาธุกิจ. **เทคโนโลยีจากอดีตสู่ปัจจุบันและอนาคต (WIND POWER: Evolution Technologyfrom the Past to Presence and Futurity).**วิศวกรรมสารภูมิปัญญาวิศวกรไทย ร่วมใจเพื่อสังคม. ฉบับที่ 1 มกราคม-กุมภาพันธ์ 2553, หน้า 75-84. กองพัฒนาระบบไฟฟ้า การไฟฟ้าส่วนภูมิภาค กฟม. คณะวิศวกรรมศาสตร์ มหาวิทยาลัยเกษตรศาสตร์ กฟม. สืบคันเมื่อ 20 สิงหาคม 2555

จาก : http://gis.eng.ku.ac.th/Research/paper_wind%20energy.pdf

[4] ศูนย์เทคโนโลยีโลหะและวัสดุแห่งชาติ. สืบคันเมื่อ 15 กันยายน 2555

จาก : <http://www.mtec.or.th>

[5] การรับแรงของวัสดุคอมโพสิต. สืบคันเมื่อ 16 กันยายน 2555

จาก : http://www.instron.co.th/wa/solutions/ASTM_D638



การทดสอบแรงดึงของวัสดุคอมโพสิตแบบเรซิ่นเสริมไบแก้วแบบหอ

ผลการคำนวณค่าเฉลี่ยความเค้นและความเครียด

สมการความเค้น (Stress) = แรงที่กระทำ (F) / พื้นที่หน้าตัดที่รับแรงนั้น (A_0) หน่วยความเค้นอาจเป็น N/mm² หรือ MPa

สมการความเครียด (Strain) = ความยาวที่ยืดออก (Δl) / ความยาวเริ่มต้น (l_0)

ตารางที่ ก.1 ค่าคงที่ที่ใช้ในการคำนวณ

ความเร็วที่ใช้ในการทดสอบ (V)	10 mm/min
พื้นที่หน้าตัดที่รับแรงของเรซิ่นเสริมไยแก้ว(A_0)	0.0000208 m ²
ความยาวเริ่มต้น (l_0)	57 mm

ตารางที่ ก.2 ผลการทดสอบแรงดึงของวัสดุคอมโพสิตแบบเรซิ่นเสริมไยแก้วแบบท่อ สูตร E

สูตร E	Polyester Resin-355E	67.57%	MEKPO M-60		0.67%
	Woven Fiberglass Fabrics	29.73%	Monostyrene,C ₈ H ₈	2.03%	
ชิ้นงาน	E1	E2	E3	E4	E5
ความหนา (mm)	0.55	0.55	0.55	0.55	0.55
พื้นที่หน้าตัด×10 ⁻⁶ (m ²)	7.15	7.15	7.15	7.15	7.15
ความยาวเดิม (mm)	57	57	57	57	57
แรงที่วัดขาด (N)	1425.05	1902.95	1491.22	1498.22	1789.85
ระยะยึดร่วม (mm)	4.29	4.23	3.96	4.33	3.97
ความเค้น (MPa)	199.31	266.15	208.56	209.54	250.33
ความเครียด	0.08	0.07	0.07	0.08	0.07
Young' Modulus (MPa)	6614.18	8051.90	7260.82	5898.52	7543.94
Tensile Strength (MPa)	199.31	266.15	208.56	209.54	250.33
					226.78

ตารางที่ ก.3 ผลการทดสอบแรงดึงของวัสดุคอมโพสิตแบบเรซิ่นเสริมไยแก้วแบบหอ สูตร F

สูตร F	Polyester Resin-355E	67.11%	MEKPO M-60	0.67%		
	Woven Fiberglass Fabrics	29.53%	Monostyrene, <chem>C8H8</chem>	2.69%		
ชื่องาน	F1	F2	F3	F4	F5	เฉลี่ย
ความหนา (mm)	0.52	0.52	0.52	0.52	0.52	0.52
พื้นที่หน้าตัด $\times 10^{-6}$ (m^2)	6.76	6.76	6.76	6.76	6.76	6.76
ความยาวเดิม (mm)	57	57	57	57	57	57
แรงที่วัสดุขาด (N)	1091.69	1207.21	1059.74	1008.05	1233.23	1119.98
ระยะยืดรวม (mm)	2.76	2.89	2.79	2.80	2.86	2.82
ความเค้น (MPa)	161.49	178.58	156.77	149.12	182.43	165.68
ความเครียด	0.05	0.05	0.05	0.05	0.05	0.05
Young's Modulus (MPa)	6574.26	6305.16	6249.18	6451.27	6724.59	6460.89
Tensile Strength (MPa)	161.49	178.58	156.77	149.12	182.43	165.68

ตารางที่ ก.4 ผลการทดสอบแรงดึงของวัสดุคอมโพสิตแบบเรซิ่นเสริมไยแก้วแบบหอ สูตร G

สูตร G	Polyester Resin-355E	67.57%	MEKPO M-60	1.35%		
	Woven Fiberglass Fabrics	29.73%	Monostyrene, <chem>C8H8</chem>	1.35%		
ชื่องาน	G1	G2	G3	G4	G5	เฉลี่ย
ความหนา (mm)	0.57	0.57	0.57	0.57	0.57	0.57
พื้นที่หน้าตัด $\times 10^{-6}$ (m^2)	7.41	7.41	7.41	7.41	7.41	7.41

ตารางที่ ก.4 ผลการทดสอบแรงดึงของวัสดุคอมโพสิตแบบเรซิ่นเสริมไยแก้วแบบท่อ สูตร G (ต่อ)

สูตร G	Polyester Resin-355E	67.57%	MEKPO M-60		1.35%
	Woven Fiberglass Fabrics	29.73%	Monostyrene,C ₈ H ₈		1.35%
ชิ้นงาน	G1	G2	G3	G4	G5
ความยาวเดิม (mm)	57	57	57	57	57
แรงที่วัสดุขาด (N)	1041.42	1104.17	978.70	838.63	1105.45
ระยะยืดรวม (mm)	2.30	2.98	2.88	3.50	2.52
ความเค้น (MPa)	140.54	149.01	132.08	113.18	149.18
ความเครียด	0.04	0.05	0.05	0.06	0.04
Young' Modulus (MPa)	6587.34	5417.54	6405.65	6162.22	6092.76
Tensile Strength (MPa)	140.54	149.01	132.08	113.18	149.18
					136.80

ตารางที่ ก.5 ผลการทดสอบแรงดึงของวัสดุคอมโพสิตแบบเรซิ่นเสริมไยแก้วแบบท่อ สูตร H

สูตร H	Polyester Resin-355E	67.12%	MEKPO M-60		1.34%
	Woven Fiberglass Fabrics	29.53%	Monostyrene,C ₈ H ₈		2.01%
ชิ้นงาน	H1	H2	H3	H4	H5
ความหนา (mm)	0.45	0.45	0.45	0.45	0.45
พื้นที่หน้าตัด $\times 10^{-6}$ (m ²)	5.85	5.85	5.85	5.85	5.85
ความยาวเดิม (mm)	57	57	57	57	57
แรงที่วัสดุขาด (N)	920.81	1016.35	792.27	818.28	796.01
					868.74

ตารางที่ ก.5 ผลการทดสอบแรงดึงของวัสดุคอมโพสิตแบบเรซิ่นเสริมไบแก้วแบบห่อ สูตร H (ต่อ)

สูตร H	Polyester Resin-355E	67.12%	MEKPO M-60	1.34%		
	Woven Fiberglass Fabrics	29.53%	Monostyrene,C ₈ H ₈	2.01%		
ชิ้นงาน	H1	H2	H3	H4	H5	เฉลี่ย
ระยะยืดรวม (mm)	2.72	2.62	2.27	2.51	2.31	2.48
ความเค้น (MPa)	157.40	173.73	135.43	139.88	136.09	148.51
ความเครียด	0.05	0.05	0.04	0.04	0.04	0.04
Young'Modulus (MPa)	7558.53	6421.95	7700.43	6307.59	6139.32	6825.56
Tensile Strength (MPa)	157.40	173.73	135.43	139.88	136.09	148.51

ตารางที่ ก.6 ผลการทดสอบแรงดึงของวัสดุคอมโพสิตแบบเรซิ่นเสริมไบแก้วแบบห่อ สูตร I

สูตร I	Polyester Resin-355E	66.67%	MEKPO M-60	1.33%		
	Woven Fiberglass Fabrics	29.33%	Monostyrene,C ₈ H ₈	2.67%		
ชิ้นงาน	I1	I2	I3	I4	I5	เฉลี่ย
ความหนา (mm)	0.82	0.82	0.82	0.82	0.82	0.82
พื้นที่หน้าตัด $\times 10^{-6}$ (m ²)	10.66	10.66	10.66	10.66	10.66	10.66
ความยาวเดิม (mm)	57	57	57	57	57	57
แรงที่วัสดุขาด (N)	1066.08	1190.13	1123.45	1099.42	856.23	1067.06
ระยะยืดรวม (mm)	2.33	2.83	2.54	2.44	2.38	2.50
ความเค้น (MPa)	100.01	111.64	105.39	103.14	80.33	100.10

ตารางที่ ก.6 ผลการทดสอบแรงดึงของวัสดุคอมโพสิตแบบเรซิ่นเสริมไยแก้วแบบห่อ สูตร I (ต่อ)

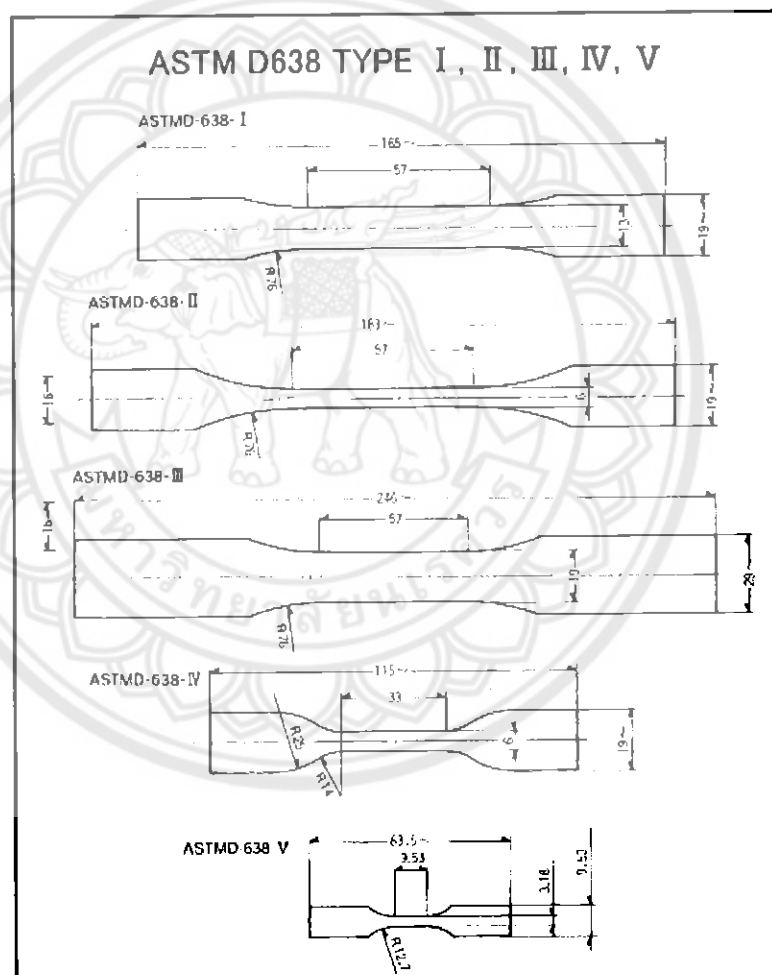
สูตร I	Polyester Resin-355E	66.67%	MEKPO M-60	1.33%		
	Woven Fiberglass Fabrics	29.33%	Monostyrene,C ₈ H ₈	2.67%		
ชิ้นงาน	I1	I2	I3	I4	I5	เฉลี่ย
ความเครียด	0.04	0.05	0.05	0.04	0.04	0.04
Young' Modulus (MPa)	5650.29	5579.18	5633.36	5823.15	6345.93	5806.38
Tensile Strength (MPa)	100.01	111.64	105.39	103.14	80.33	100.10

ตารางที่ ก.7 สรุปผลการทดสอบ

สูตร	ค่าเฉลี่ย								
	ความหนา (mm)	พื้นที่ตัด $\times 10^{-6}$ (m^2)	ความยาวเดิน (mm)	แรงที่วัสดุขาด (N)	ระยะยึดรวม (mm)	ความเค้น (MPa)	ความเครียด (MPa)	Young' Modulus (MPa)	Tensile Strength (MPa)
A	0.62	8.06	57	1066.92	2.51	129.54	0.05	5257.80	129.54
B	0.47	6.11	57	1362.31	3.89	232.17	0.06	6393.69	232.17
C	0.55	7.15	57	1396.75	3.27	196.31	0.06	6868.80	193.31
D	0.52	6.76	57	1067.39	2.80	158.43	0.05	6068.73	158.43
E	0.55	7.15	57	1621.46	4.16	226.78	0.07	7073.87	226.78
F	0.52	6.76	57	1119.98	2.82	136.80	0.04	6133.10	136.80
G	0.57	7.41	57	1105.45	2.52	136.80	0.04	6133.10	136.80
H	0.45	5.85	57	868.74	2.48	148.51	0.04	6825.56	148.51
I	0.82	10.66	57	1067.06	2.50	100.10	0.04	5806.38	100.10



มาตรฐาน ASTM D638 สำหรับการหาสมบัติแรงดึงของพลาสติกและพลาสติกเสริมแรง ดังรูปที่ ข.1 ชิ้นงานรูปทรงดัมเบลล์ (Types I – V), แท่ง หรือท่อทรงกระบอก โดยการทดสอบด้วยแรงดึง ได้แก่ ความต้านทานแรงดึงสูงสุด ความเครียดที่จุดแตกหัก และมอดูลัสสมบัติทางกลของพลาสติก สามารถเปลี่ยนแปลงเมื่อมีการเติมสารตัวเติมบางประเภทเข้าไปในพลาสติก เช่น ความแข็งแรง การยึดตัวและ ความเหนียว ใน การทดสอบวัสดุคอมโพสิตแบบเรซิ่นเสริมใยแก้วแบบผ้าห่อ โดยใช้ชิ้นงานรูปทรงดัมเบลล์ (ASTM D638 Types I) สำหรับการหาคุณสมบัติแรงดึงของวัสดุคอมโพสิต ซึ่งได้วัดดูที่ขึ้นรูปด้วยมือดังรูปที่ ข.2



รูปที่ ข.1 มาตรฐาน ASTM D638



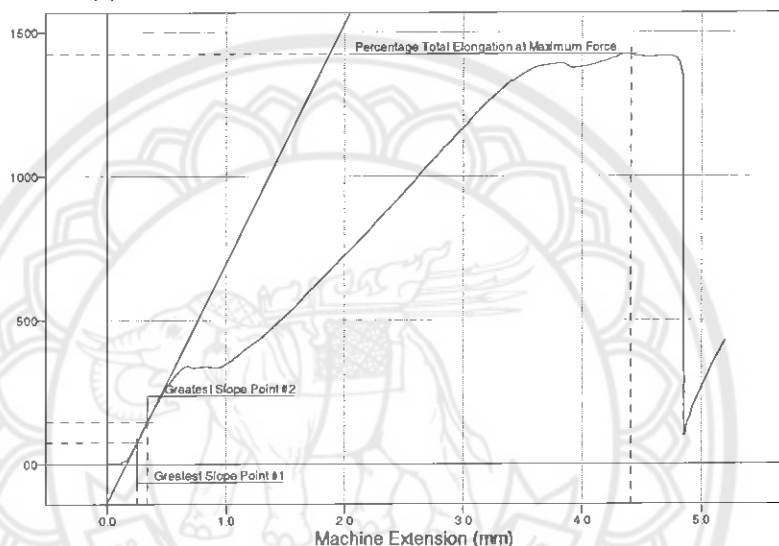
รูปที่ ข.2 ชิ้นงานที่ตัดตามมาตรฐาน ASTM D638 TYPE I

ตารางที่ ข.1 ผลการทดสอบวัสดุคอมโพสิตแบบเรซิ่นเสริมไยแก้วแบบท่อ E1

สูตร E	Polyester Resin-355E	67.57%	MEKPO M-60	0.67%
	Woven Fiberglass Fabrics	29.73%	Monostyrene, C_8H_8	2.03%

ขั้นตอนทดสอบ E1

Load (N) [Graph 62]



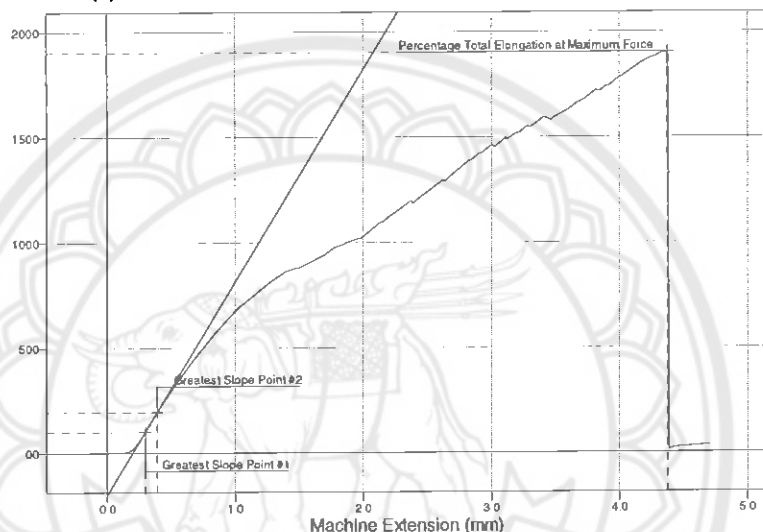
Load (N)	Machine Extension (mm)
0.1823	0.0000
9.9246	0.1394
203.1500	0.4070
571.1000	1.6386
663.9400	1.8561
776.4200	2.1228
967.3200	2.5526
1093.2000	2.8227
1387.6000	3.6769
1397.3	4.1652
1425.05	4.2920

ตารางที่ ข.2 ผลการทดสอบวัสดุคอมโพสิตแบบเรซิ่นเสริมใยแก้วแบบหอ E2

สูตร E	Polyester Resin-355E	67.57%	MEKPO M-60	0.67%
	Woven Fiberglass Fabrics	29.73%	Monostyrene, C_8H_8	2.03%

ชิ้นงานทดสอบ E2

Load (N) Graph 63



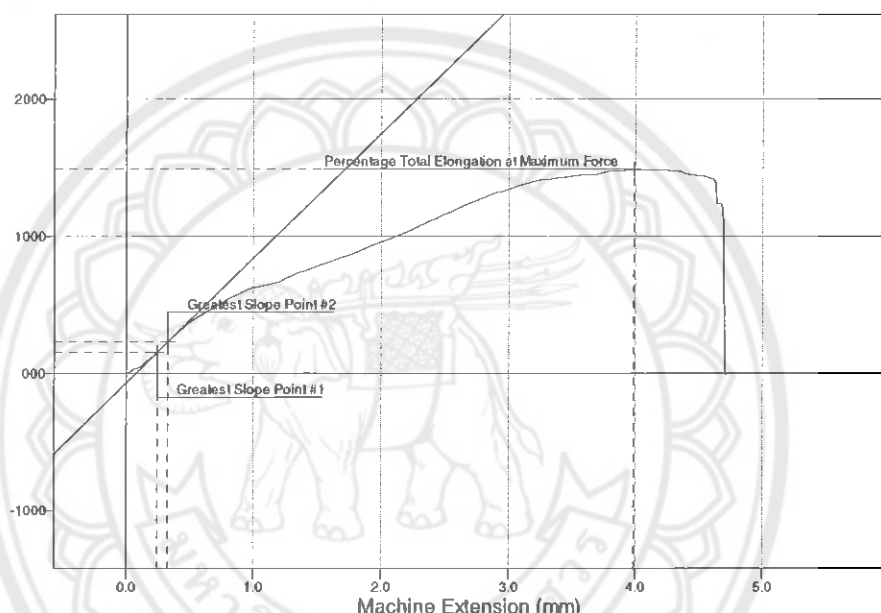
Load (N)	Machine Extension (mm)
0.2220	0.0000
9.3200	0.1666
79.0840	0.2739
352.2600	0.5645
507.0500	0.7584
747.5900	1.1417
950.6200	1.7203
1099.5000	2.1568
1237.6000	2.4968
1749.5000	3.8368
1896.6000	4.3253
1902.9530	4.2270

ตารางที่ ข.3 ผลการทดสอบวัสดุคอมโพสิตแบบเรชินเสริมใยแก้วแบบหอ E3

สูตร E	Polyester Resin-355E	67.57%	MEKPO M-60	0.67%
	Woven Fiberglass Fabrics	29.73%	Monostyrene, C_8H_8	2.03%

ชิ้นงานทดสอบ E3

Load (N) Graph 68

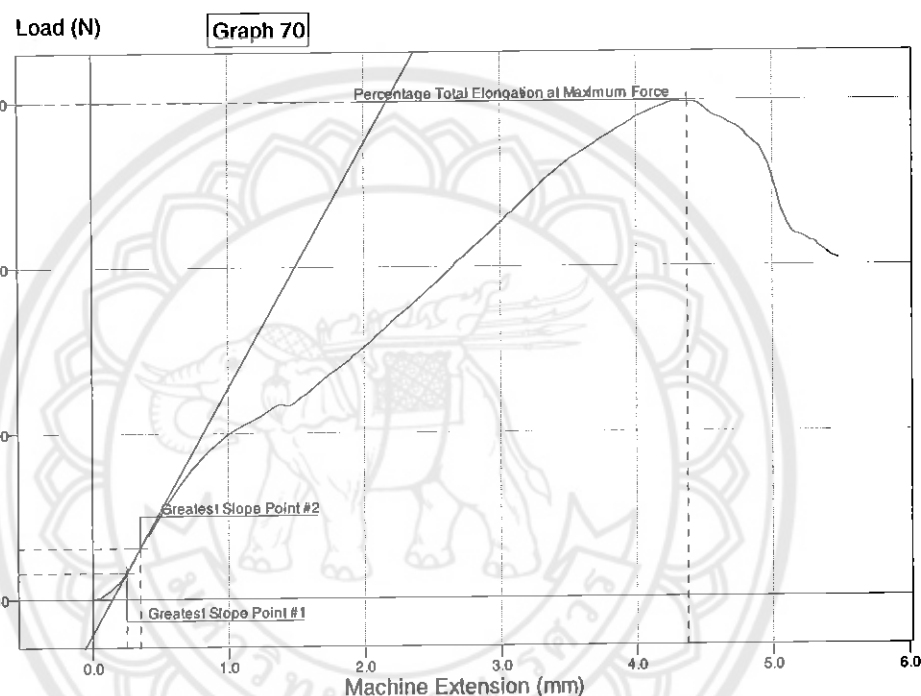


Load (N)	Machine Extension (mm)
2.2309	0.1076
158.5700	0.3920
201.5800	0.4388
485.5500	0.7677
555.0600	0.8626
898.5500	1.7475
960.6700	1.8893
1018.9000	2.0287
1375.5000	2.9170
1491.2150	3.9590

ตารางที่ ช.4 ผลการทดสอบวัสดุคอมโพสิตแบบเรซิ่นเสริมใยแก้วแบบหอ E4

สูตร E	Polyester Resin-355E	67.57%	MEKPO M-60	0.67%
	Woven Fiberglass Fabrics	29.73%	Monostyrene, <chem>C8H8</chem>	2.03%

ขั้นงานทดสอบ E4



Load (N)	Machine Extension (mm)
0.2384	0.0000
96.4480	0.1734
227.9700	0.3267
448.8500	0.6333
603.1600	0.9383
926.6800	1.9106
1167.5000	2.5157
1292.6000	2.8255
1353.8000	3.0295
1498.2160	4.3270

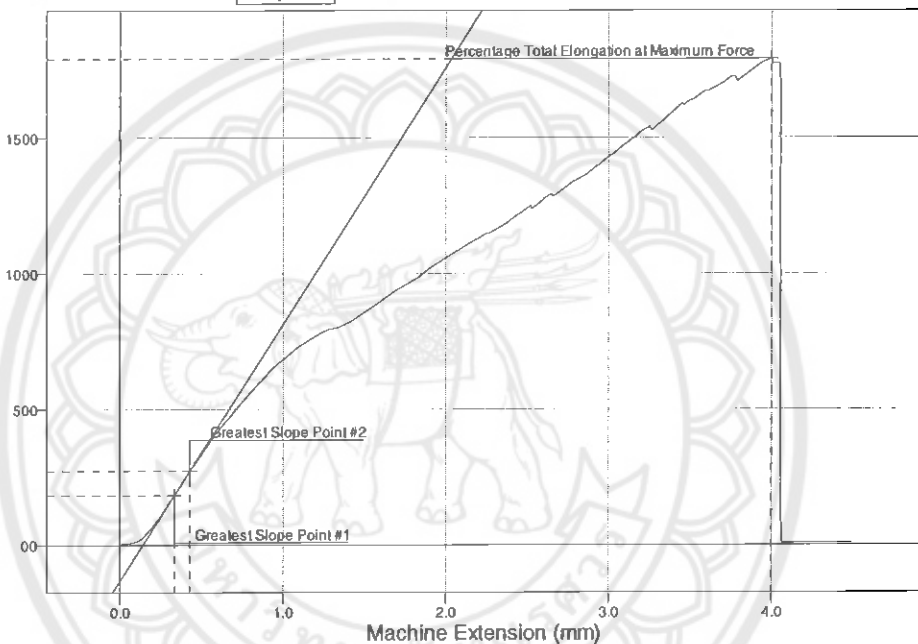
ตารางที่ ข.5 ผลการทดสอบวัสดุคอมโพสิตแบบเรซิ่นเสริมใยแก้วแบบหอ E5

	Polyester Resin-355E	67.57%	MEKPO M-60	0.67%
สูตร E	Woven Fiberglass Fabrics	29.73%	Monostyrene,C ₈ H ₈	2.03%

ขั้นงานทดสอบ E5

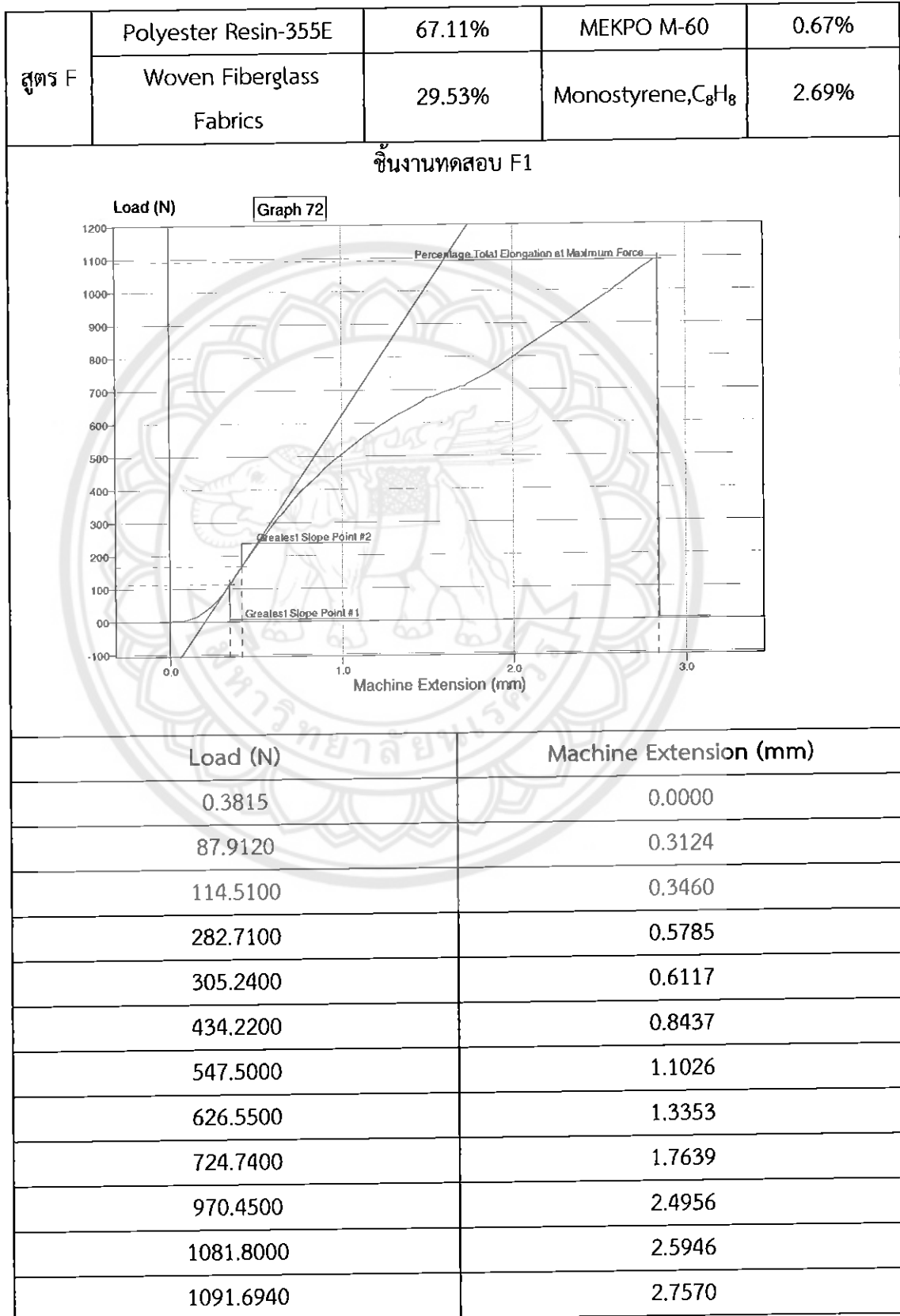
Load (N)

Graph 71



Load (N)	Machine Extension (mm)
0.3492	0.0000
153.4800	0.3489
336.1800	0.6336
488.2500	0.9753
665.3800	1.7107
989.3900	2.6238
1292.4000	3.4185
1447.7000	3.7903
1688.3000	3.8596
1787.9000	3.9742

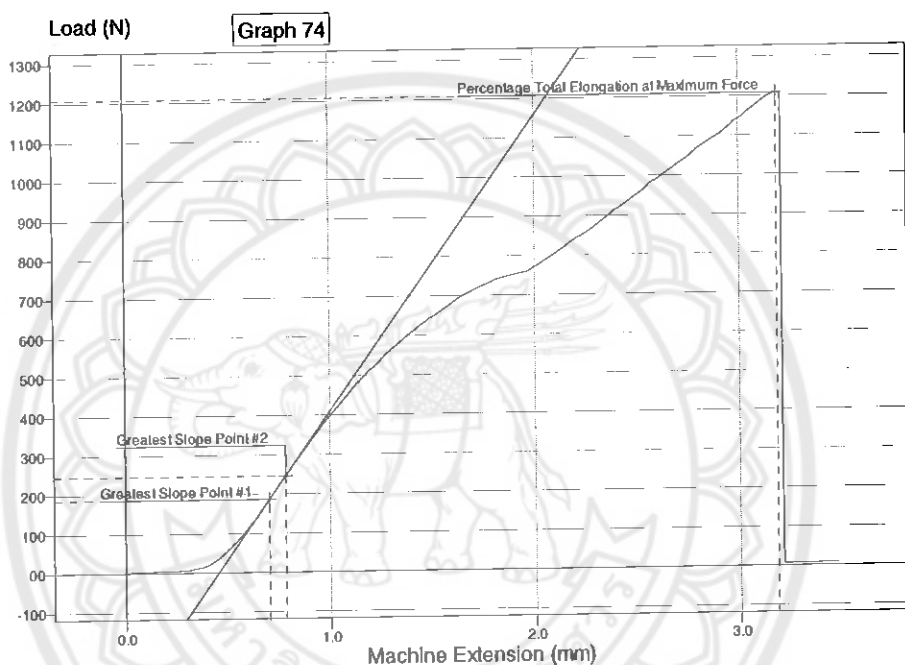
ตารางที่ ข.6 ผลการทดสอบวัสดุคอมโพสิตแบบเรซิ่นเสริมไยแก้วแบบท่อ F1



ตารางที่ ข.7 ผลการทดสอบวัสดุคอมโพสิตแบบเรซิ่นเสริมใยแก้วแบบท่อ F2

สูตร F	Polyester Resin-355E	67.11%	MEKPO M-60	0.67%
	Woven Fiberglass Fabrics	29.53%	Monostyrene, <chem>C8H8</chem>	2.69%

ชื่นงานทดสอบ F2

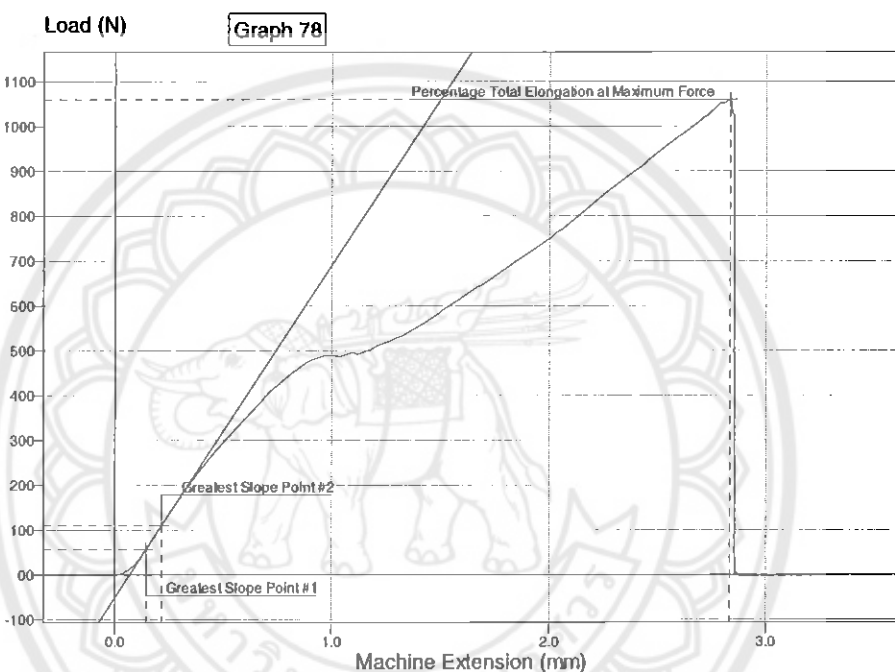


Load (N)	Machine Extension (mm)
0.1205	0.0537
52.6250	0.4894
264.4900	0.8070
364.4200	0.9491
546.7800	1.2634
639.4000	1.4773
834.8500	2.1808
914.7400	2.3946
1073.9000	2.8169
1194.7000	2.8306
1207.2140	2.8910

ตารางที่ ข.8 ผลการทดสอบวัสดุคอมโพสิตแบบเรซิ่นเสริมใยแก้วแบบห่อ F3

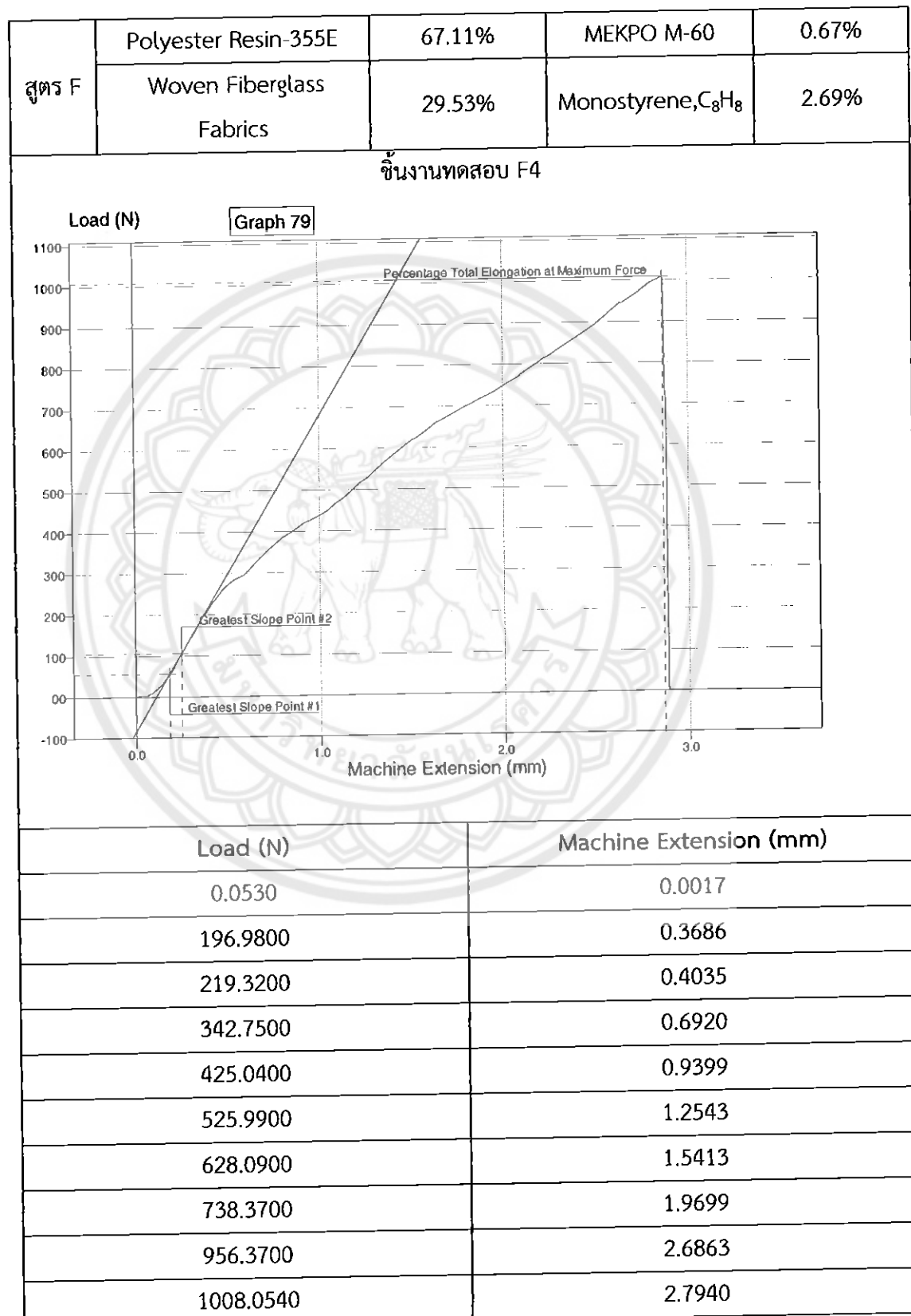
	Polyester Resin-355E	67.11%	MEKPO M-60	0.67%
สูตร F	Woven Fiberglass Fabrics	29.53%	Monostyrene, C_8H_8	2.69%

ขั้นงานทดสอบ F3



Load (N)	Machine Extension (mm)
0.0946	0.0028
110.9800	0.2182
254.6900	0.4286
331.8000	0.5704
434.1400	0.7793
529.9000	1.3038
644.7800	1.6825
775.5100	2.0694
859.9800	2.2811
977.3400	2.5959
1059.7440	2.7920

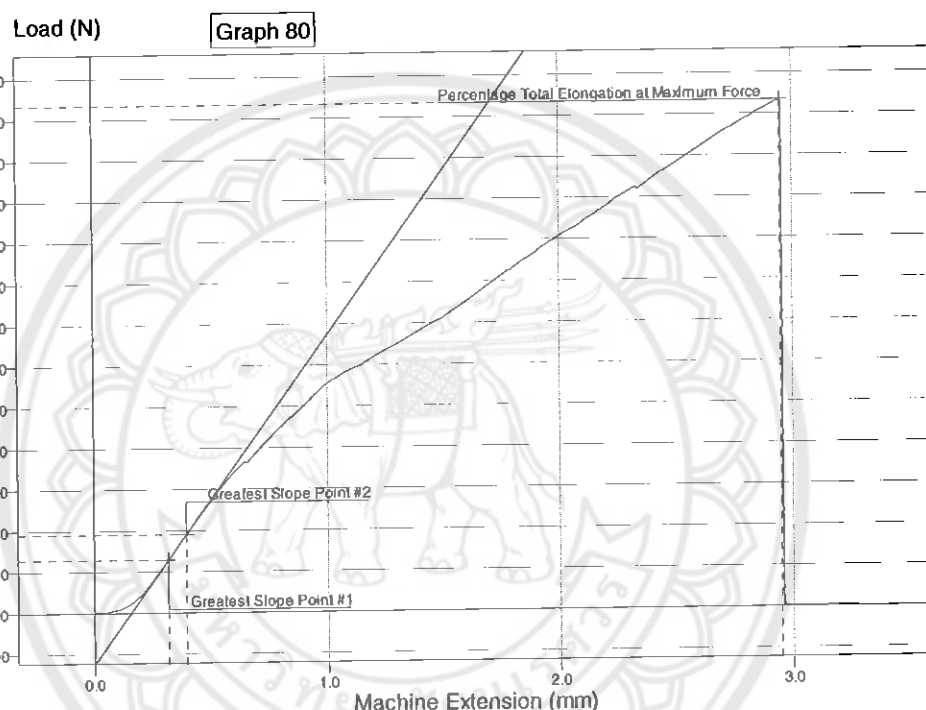
ตารางที่ ข.9 ผลการทดสอบวัสดุคอมโพสิตแบบเรซิ่นเสริมไยแก้วแบบท่อ F4



ตารางที่ ข.10 ผลการทดสอบวัสดุคอมโพสิตแบบเรซิโน่รีมไยแก้วแบบท่อ F5

สูตร F	Polyester Resin-355E	67.11%	MEKPO M-60	0.67%
	Woven Fiberglass Fabrics	29.53%	Monostyrene, <chem>C8H8</chem>	2.69%

ชิ้นงานทดสอบ F5



Load (N)	Machine Extension (mm)
1.6958	0.0467
59.0050	0.2265
246.8900	0.4669
343.5500	0.6039
418.9200	0.7450
636.8800	1.2568
725.8200	1.5341
923.1600	2.0501
1011.1000	2.2862
1143.3000	2.6658
1233.2290	2.8640

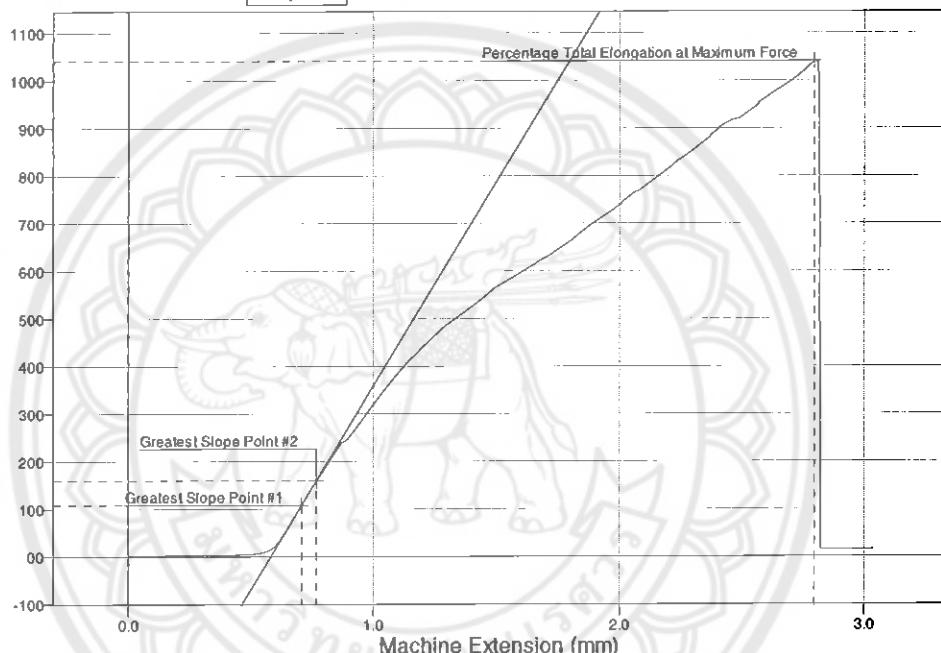
ตารางที่ ช.11 ผลการทดสอบวัสดุคอมโพสิตแบบเรซิ่นเสริมใยแก้วแบบหอ G1

	Polyester Resin-355E	67.57%	MEKPO M-60	1.35%
สูตร G	Woven Fiberglass Fabrics	29.73%	Monostyrene, C_8H_8	1.35%

ขั้นตอนทดสอบ G1

Load (N)

Graph 82

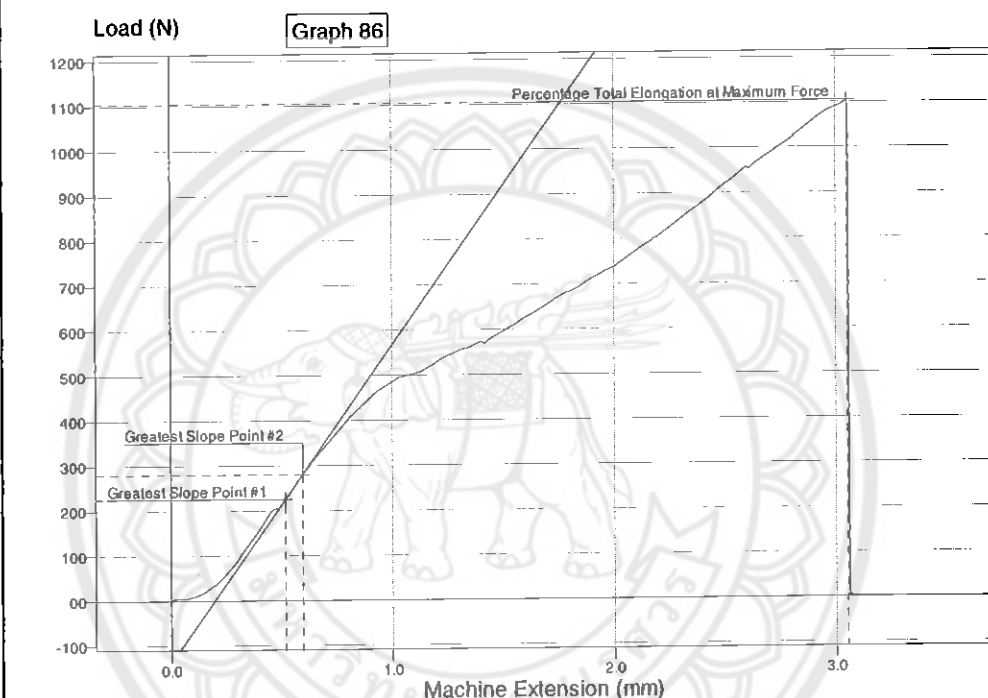


Load (N)	Machine Extension (mm)
0.4222	0.0000
174.7800	0.7866
197.5700	0.8162
220.3600	0.8459
457.3100	1.2357
708.6900	1.9159
835.1700	2.2473
915.9500	2.1554
1008.5000	2.2254
1041.4200	2.300

ตารางที่ ข.12 ผลการทดสอบวัสดุคอมโพสิตแบบเรซิ่นเสริมไบแก้วแบบหอ G2

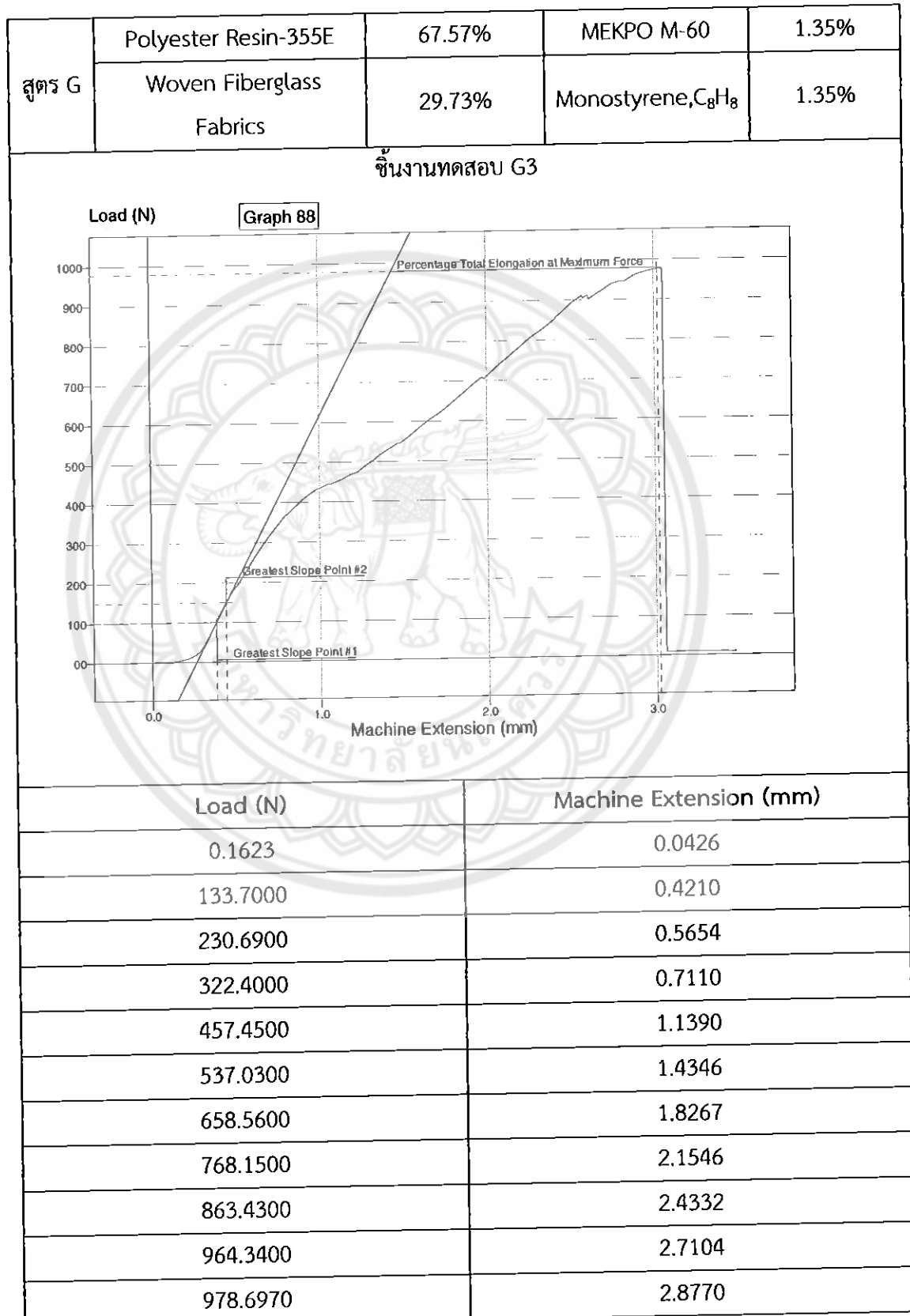
สูตร G	Polyester Resin-355E	67.57%	MEKPO M-60	1.35%
	Woven Fiberglass Fabrics	29.73%	Monostyrene, C_8H_8	1.35%

ขั้นงานทดสอบ G2



Load (N)	Machine Extension (mm)
0.3815	0.0000
34.8350	0.1960
141.4800	0.3735
205.1400	0.4800
320.9100	0.6578
504.9000	1.1130
721.6300	1.9351
864.6200	2.3605
967.3400	2.6440
1104.1670	2.9800

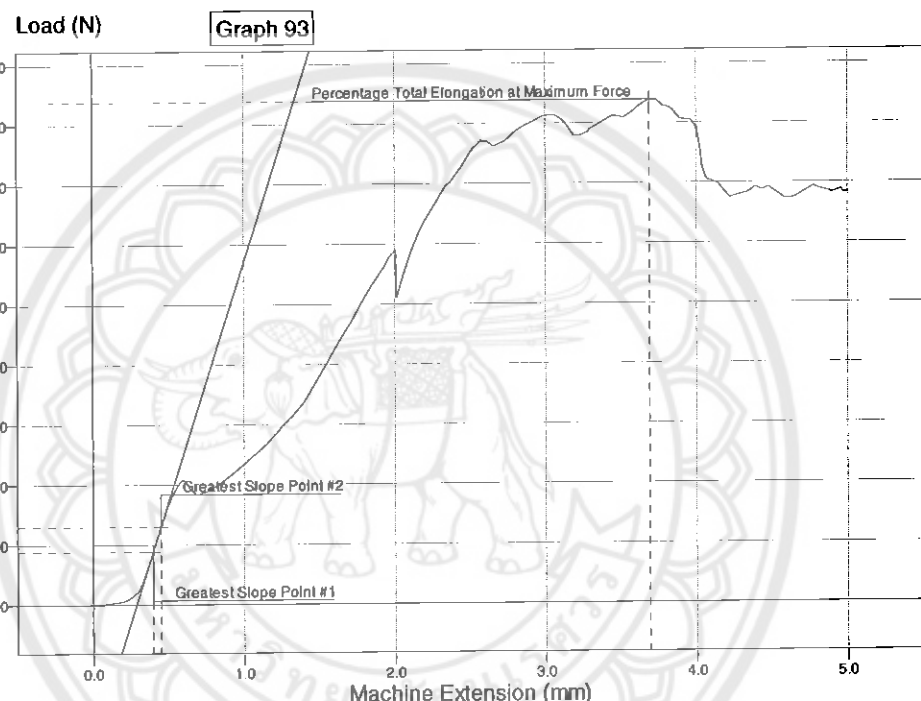
ตารางที่ ข.13 ผลการทดสอบวัสดุคอมโพสิตแบบเรซิ่นเสริมใยแก้วแบบท่อ G3



ตารางที่ ข.14 ผลการทดสอบวัสดุคอมโพสิตแบบเรซิ่นเสริมไนแก้วแบบหอ G4

สูตร G	Polyester Resin-355E	67.57%	MEKPO M-60	1.35%
	Woven Fiberglass Fabrics	29.73%	Monostyrene, C_8H_8	1.35%

ชิ้นงานทดสอบ G4

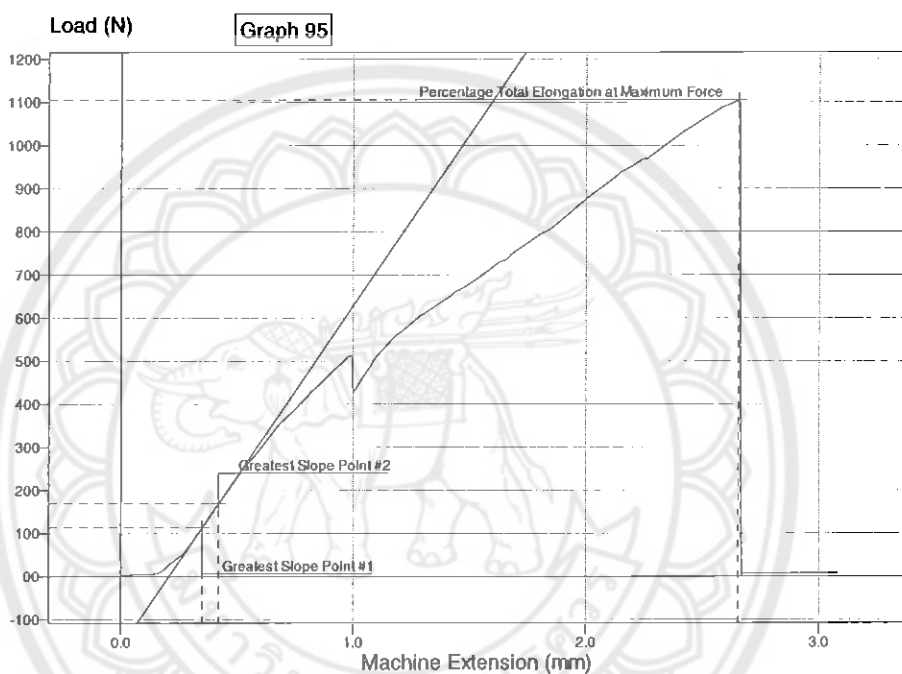


Load (N)	Machine Extension (mm)
0.2622	0.0396
171.4700	0.5863
222.2700	0.7920
356.5500	1.2564
466.5200	1.5132
659.0500	2.0172
766.0100	2.3263
791.7000	3.3062
838.628	3.4960

ตารางที่ ข.15 ผลการทดสอบสุดคุณภาพสิ่ตแบบเรซิ่นเสริมใยแก้วแบบท่อ G5

สูตร G	Polyester Resin-355E	67.57%	MEKPO M-60	1.35%
	Woven Fiberglass Fabrics	29.73%	Monostyrene,C ₈ H ₈	1.35%

ชิ้นงานทดสอบ G5



Load (N)	Machine Extension (mm)
0.1144	0.0000
268.8900	0.5554
370.6900	0.7152
458.9600	0.8806
509.8700	0.9766
509.6900	1.0995
748.4900	1.6822
850.1700	1.9434
931.1200	2.1349
1105.4460	2.5240

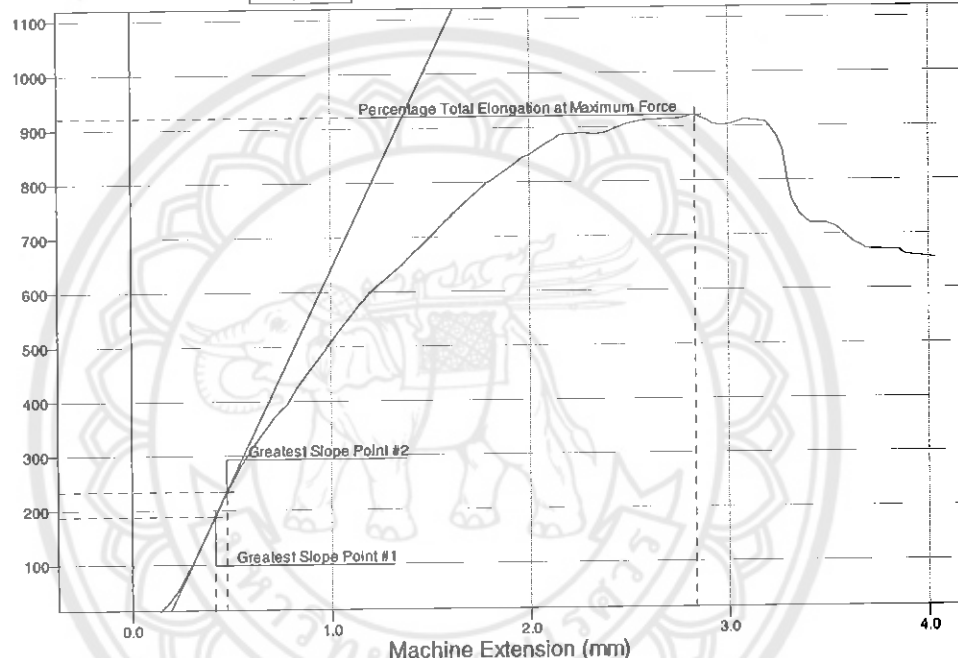
ตารางที่ ข.16 ผลการทดสอบวัสดุคอมโพสิตแบบเรซิโน่เรซิมไยแก้วแบบหอ H1

สูตร H	Polyester Resin-355E	67.12%	MEKPO M-60	1.34%
	Woven Fiberglass Fabrics	29.53%	Monostyrene, <chem>C8H8</chem>	2.01%

ชิ้นงานทดสอบ H1

Load (N)

Graph 96



Load (N)	Machine Extension (mm)
3.4964	0.0824
53.8590	0.2327
143.4800	0.3591
267.3600	0.5274
393.9500	0.7804
580.1000	1.1538
758.5900	1.6607
869.7300	2.0800
920.8090	2.7210

ตารางที่ ข.17 ผลการทดสอบวัสดุคอมโพสิตแบบเรซิ่นเสริมไนแก้วแบบหอ H2

สูตร H	Polyester Resin-355E	67.12%	MEKPO M-60	1.34%																						
	Woven Fiberglass Fabrics	29.53%	Monostyrene, <chem>C8H8</chem>	2.01%																						
ขั้นงานทดสอบ H2																										
Graph 98																										
Load (N)	Machine Extension (mm)																									
Load (N)	Machine Extension (mm)	<table border="1"> <thead> <tr> <th>Load (N)</th> <th>Machine Extension (mm)</th> </tr> </thead> <tbody> <tr><td>1.7733</td><td>0.0331</td></tr> <tr><td>32.1750</td><td>0.1720</td></tr> <tr><td>103.7900</td><td>0.3365</td></tr> <tr><td>231.6400</td><td>0.5330</td></tr> <tr><td>327.6600</td><td>0.6982</td></tr> <tr><td>536.9600</td><td>1.2166</td></tr> <tr><td>766.4100</td><td>1.8093</td></tr> <tr><td>886.0600</td><td>2.1684</td></tr> <tr><td>964.2100</td><td>2.4331</td></tr> <tr><td>1016.3460</td><td>2.6200</td></tr> </tbody> </table>			Load (N)	Machine Extension (mm)	1.7733	0.0331	32.1750	0.1720	103.7900	0.3365	231.6400	0.5330	327.6600	0.6982	536.9600	1.2166	766.4100	1.8093	886.0600	2.1684	964.2100	2.4331	1016.3460	2.6200
Load (N)	Machine Extension (mm)																									
1.7733	0.0331																									
32.1750	0.1720																									
103.7900	0.3365																									
231.6400	0.5330																									
327.6600	0.6982																									
536.9600	1.2166																									
766.4100	1.8093																									
886.0600	2.1684																									
964.2100	2.4331																									
1016.3460	2.6200																									

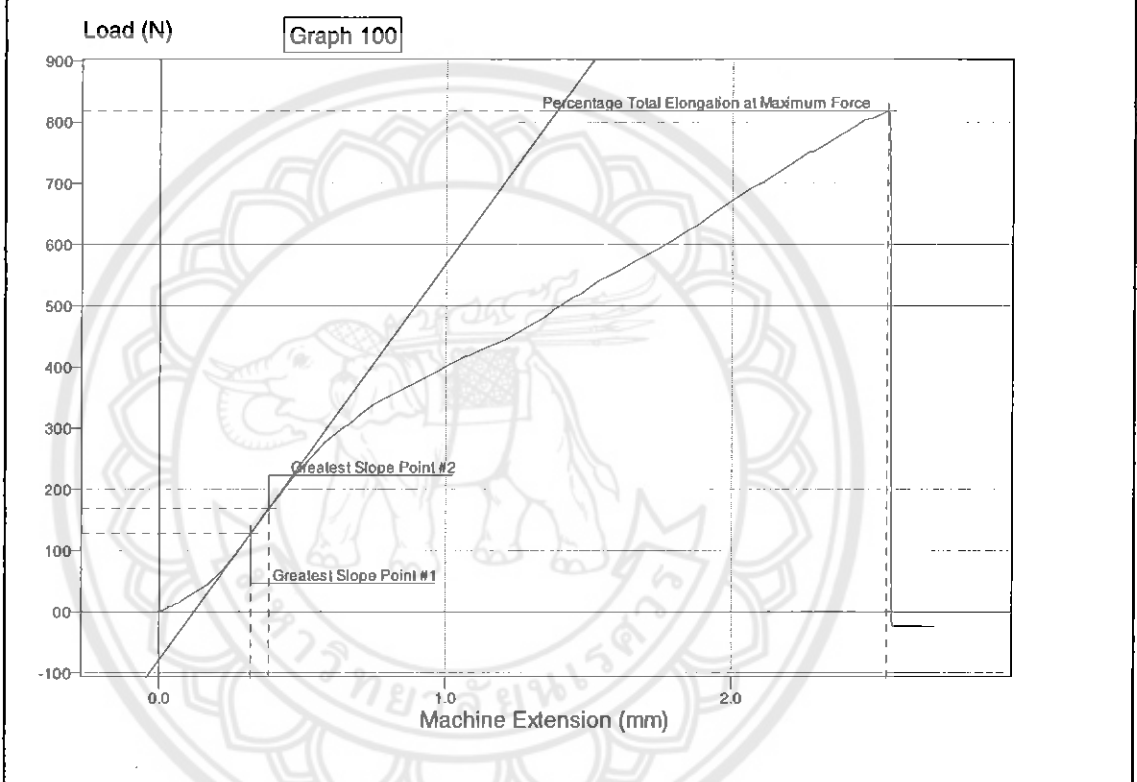
ตารางที่ ข.18 ผลการทดสอบวัสดุคอมโพสิตแบบเรซิ่นเสริมไนแก้วแบบท่อ H3

สูตร H	Polyester Resin-355E	67.12%	MEKPO M-60	1.34%
	Woven Fiberglass Fabrics	29.53%	Monostyrene, <chem>C8H8</chem>	2.01%
ชิ้นงานทดสอบ H3				
Load (N)	Graph 99			
800 700 600 500 400 300 200 100 00		Percentage Total Elongation at Maximum Force		
0.0 1.0 2.0 3.0		Machine Extension (mm)		
Load (N)	Machine Extension (mm)			
0.2021	0.0000			
60.2990	0.1975			
150.7900	0.3145			
213.4300	0.4025			
300.3200	0.5840			
401.9000	0.9454			
545.4200	1.4273			
767.4600	2.2033			
792.2660	2.2730			

ตารางที่ ข.19 ผลการทดสอบวัสดุคอมโพสิตแบบเรซิ่นเสริมไยแก้วแบบท่อ H4

	Polyester Resin-355E	67.12%	MEKPO M-60	1.34%
สูตร H	Woven Fiberglass Fabrics	29.53%	Monostyrene, C_8H_8	2.01%

ขั้นงานทดสอบ H4

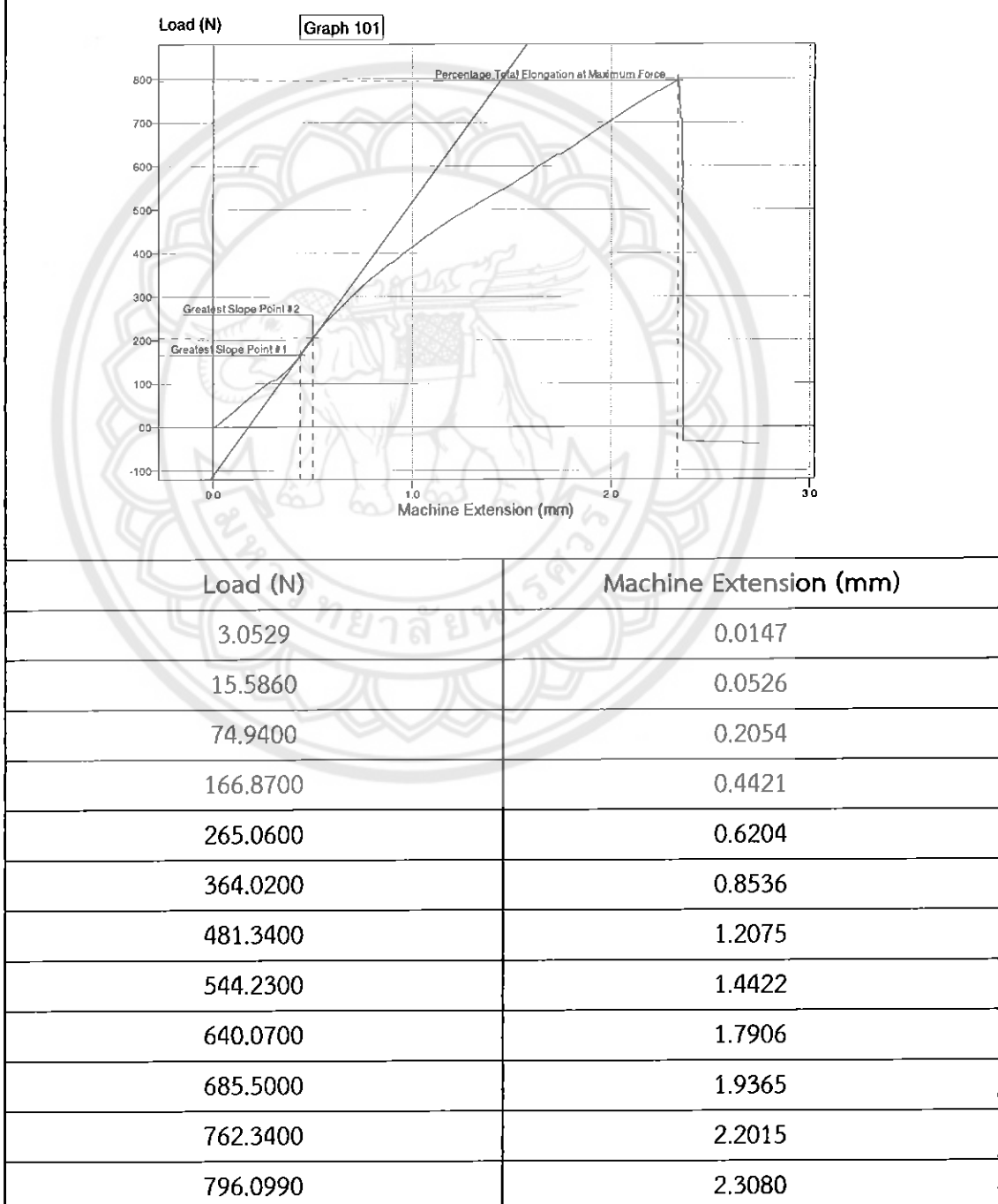


Load (N)	Machine Extension (mm)
4.5838	0.0217
185.2700	0.4106
265.9300	0.5568
377.1900	0.9055
449.4400	1.2267
682.7300	2.0334
751.5200	2.2671
808.5100	2.4988
818.2820	2.5090

ตารางที่ ข.20 ผลการทดสอบวัสดุคอมโพสิตแบบเรซิ่นเสริมไยแก้วแบบท่อ H5

สูตร H	Polyester Resin-355E	67.12%	MEKPO M-60	1.34%
	Woven Fiberglass Fabrics	29.53%	Monostyrene, C_8H_8	2.01%

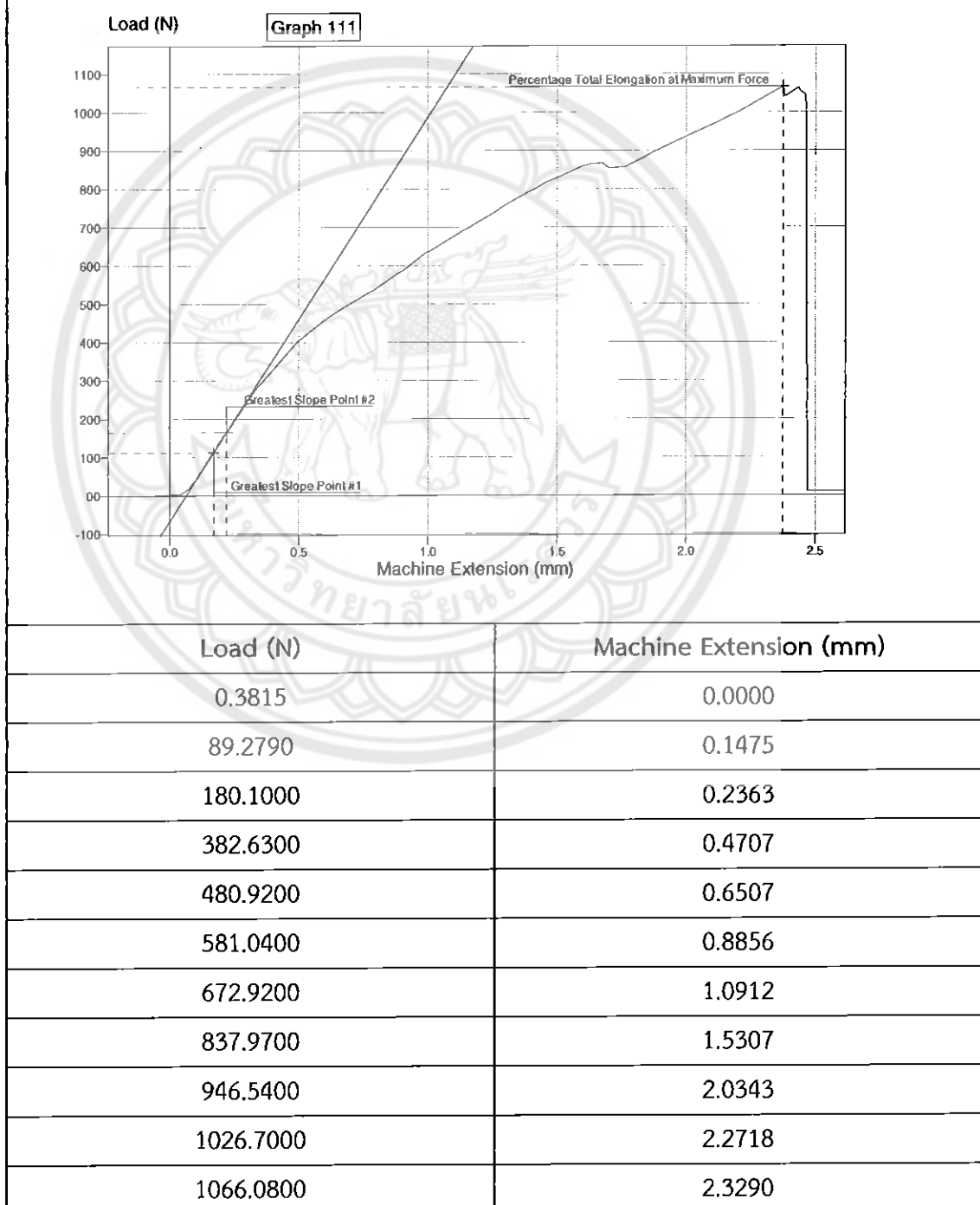
ขั้นงานทดสอบ H5



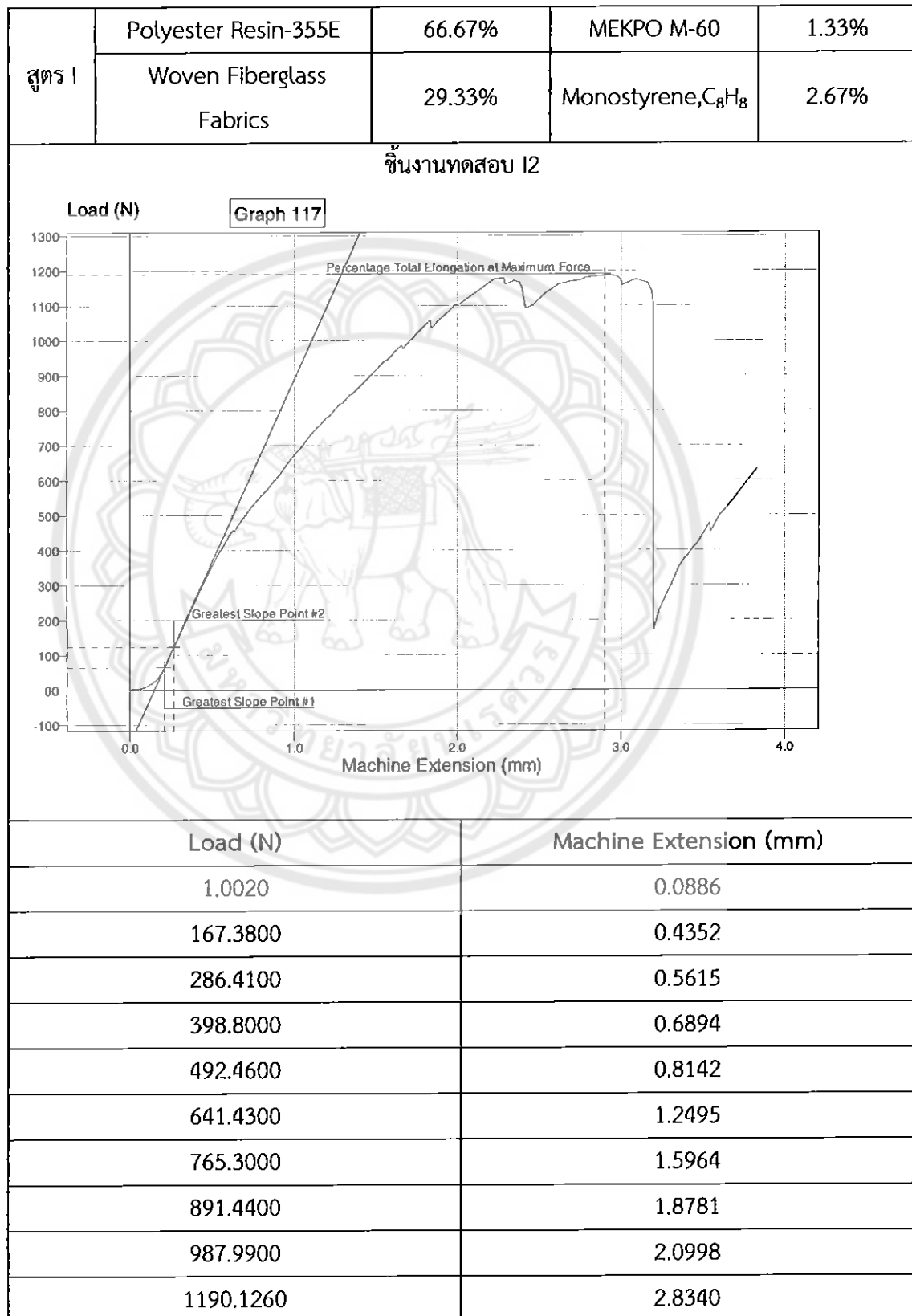
ตารางที่ ข.21 ผลการทดสอบวัสดุคอมโพสิตแบบเรซิ่นเสริมใยแก้วบนหอ I1

	Polyester Resin-355E	66.67%	MEKPO M-60	1.33%
สูตร I	Woven Fiberglass Fabrics	29.33%	Monostyrene, C_8H_8	2.67%

ชิ้นงานทดสอบ I1



ตารางที่ ข.22 ผลการทดสอบวัสดุคอมโพสิตแบบเรซิ่นเสริมไยแก้วแบบท่อ I2



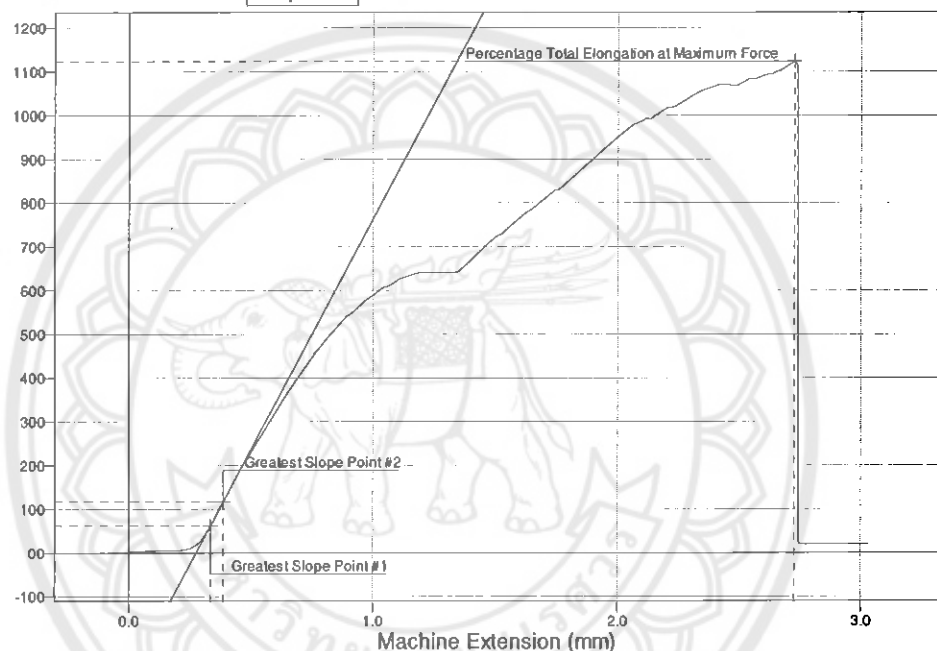
ตารางที่ ข.23 ผลการทดสอบวัสดุคอมโพสิตแบบเรซิ่นเสริมไนแก็วแบบท่อ I3

สูตร 1	Polyester Resin-355E	66.67%	MEKPO M-60	1.33%
	Woven Fiberglass Fabrics	29.33%	Monostyrene, C_8H_8	2.67%

ชิ้นงานทดสอบ I3

Load (N)

Graph 118



Load (N)

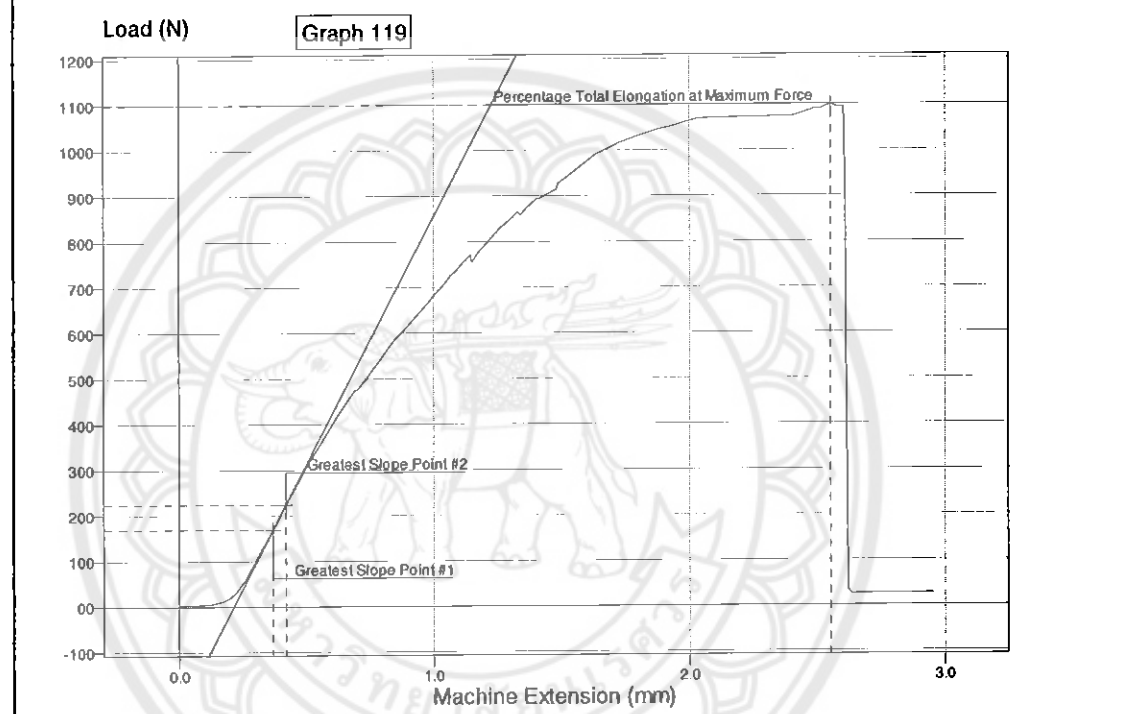
Machine Extension (mm)

2.5720	0.0765
90.0620	0.2913
153.3300	0.3542
251.5700	0.4467
474.8800	0.6950
587.7100	0.8519
664.6200	0.9764
760.3500	1.1552
973.2100	1.5922
1049.7000	1.9045
1123.4380	2.5390

ตารางที่ ข.24 ผลการทดสอบวัสดุคอมโพสิตแบบเรื่องเสิร์มไยแก้วแบบท่อ I4

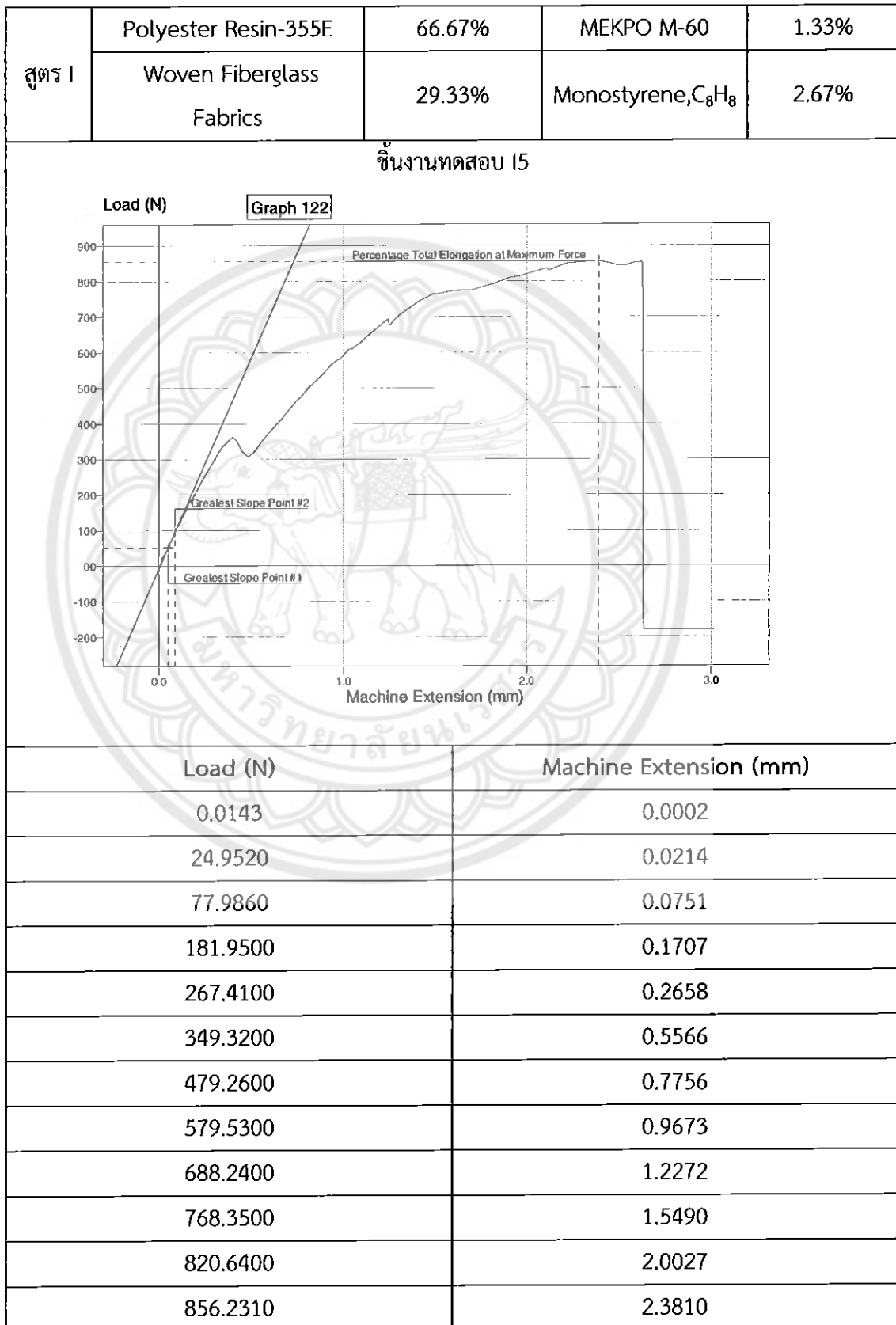
สูตร I	Polyester Resin-355E	66.67%	MEKPO M-60	1.33%
	Woven Fiberglass Fabrics	29.33%	Monostyrene, C_8H_8	2.67%

ชิ้นงานทดสอบ I4



Load (N)	Machine Extension (mm)
0.0250	0.0091
118.4300	0.2962
263.2900	0.4533
383.6400	0.6105
498.7400	0.7684
572.2900	0.8836
658.2600	1.0366
778.8300	1.2697
871.3500	1.4679
957.4200	1.7018
1099.4240	2.4420

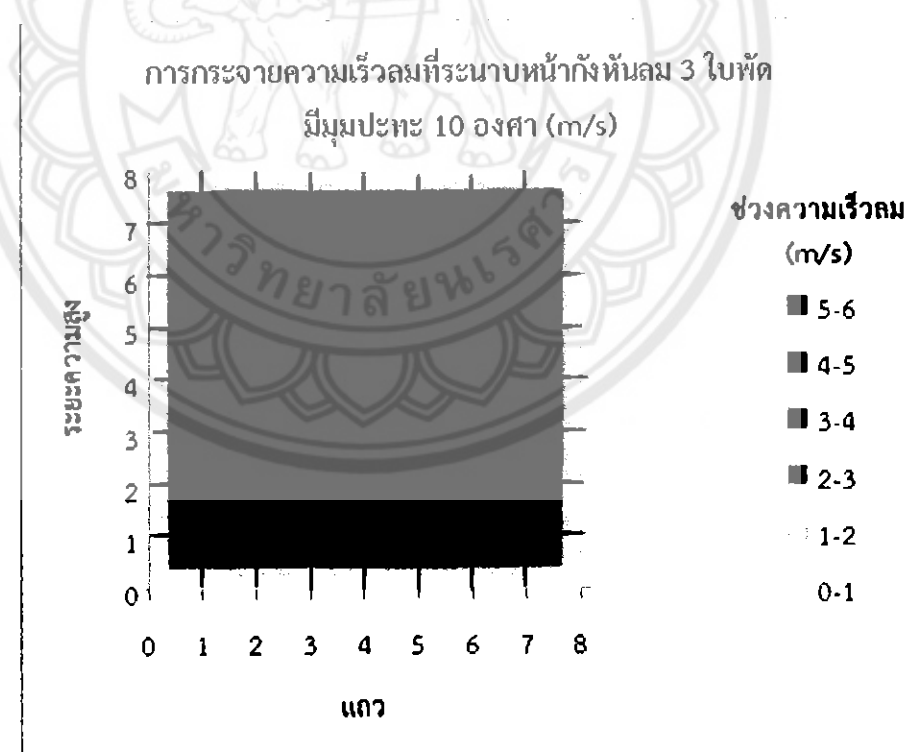
ตารางที่ ข.25 ผลการทดสอบวัสดุคอมโพสิตแบบเรซิ่นเสริมไยแก้วแบบท่อ 15





ตารางที่ ค.1 การกระจายความเร็วลมหน้ากังหันลม 3 ใบพัด มีมุ่งปะทะ 10 องศา

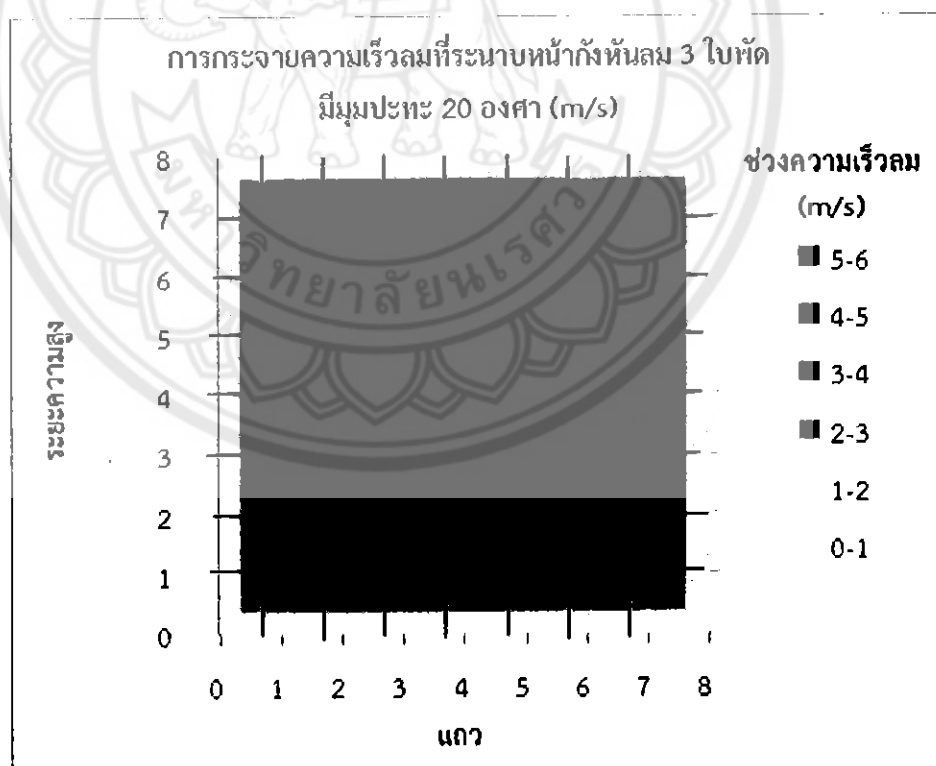
ระยะความสูง	การกระจายความเร็วลมหน้ากังหันลม 3 ใบพัด มีมุ่งปะทะ 10 องศา (m/s)							
1	5.43	5.45	5.35	5.53	5.61	5.49	5.43	
2	5.43	5.40	5.27	5.07	5.47	5.70	5.43	
3	5.47	5.77	5.30	5.47	5.60	5.43	5.53	
4	5.37	5.50	5.37	5.27	5.33	5.60	5.57	
5	5.40	5.53	5.33	5.30	5.60	5.43	5.43	
6	5.47	5.50	5.44	5.40	5.40	5.60	5.40	
7	5.41	5.61	5.43	5.34	5.46	5.53	5.63	
8	5.43	5.45	5.35	5.53	5.61	5.49	5.43	
ความเร็วเฉลี่ย	5.45							



รูปที่ ค.1 การกระจายความเร็วลมที่ระนาบหน้ากังหันลม 3 ใบพัด ที่มีมุ่งปะทะ 10 องศา

ตารางที่ ค.2 การกระจายความเร็วลมหน้ากังหันลม 3 ใบพัด มีมูนปะทะ 20 องศา

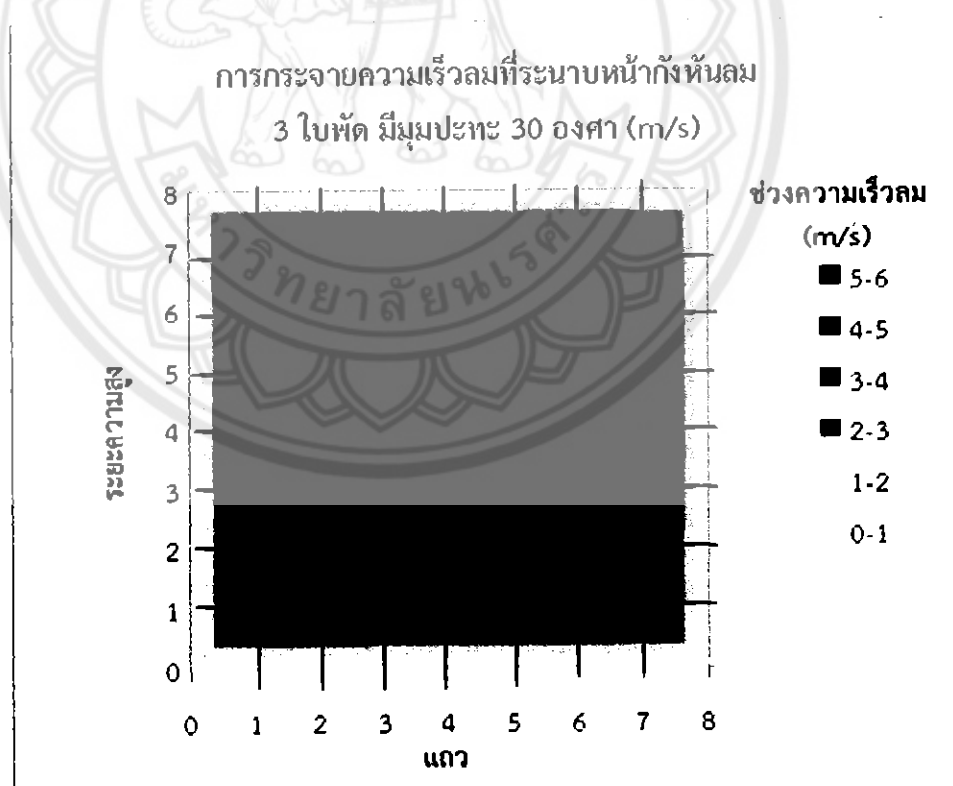
ระยะความสูง	การกระจายความเร็วลมหน้ากังหันลม 3 ใบพัด มีมูนปะทะ 20 องศา (m/s)							
1	5.43	5.47	5.47	5.58	5.46	5.45	5.35	
2	5.53	5.43	5.52	5.47	5.45	5.53	5.41	
3	5.43	5.43	5.42	5.43	5.47	5.47	5.43	
4	5.55	5.35	5.47	5.43	5.53	5.46	5.48	
5	5.38	5.46	5.43	5.51	5.46	5.49	5.39	
6	5.47	5.46	5.47	5.45	5.34	5.43	5.48	
7	5.49	5.48	5.43	5.53	5.43	5.22	5.47	
8	5.43	5.47	5.47	5.58	5.46	5.45	5.35	
ความเร็วเฉลี่ย	5.45							



รูปที่ ค.2 การกระจายความเร็วลมที่ระนาบหน้ากังหันลม 3 ใบพัด ที่มีมูนปะทะ 20 องศา

ตารางที่ ค.3 การกระจายความเร็วลมหน้ากังหันลม 3 ใบพัด มีมุ่งปะทะ 30 องศา

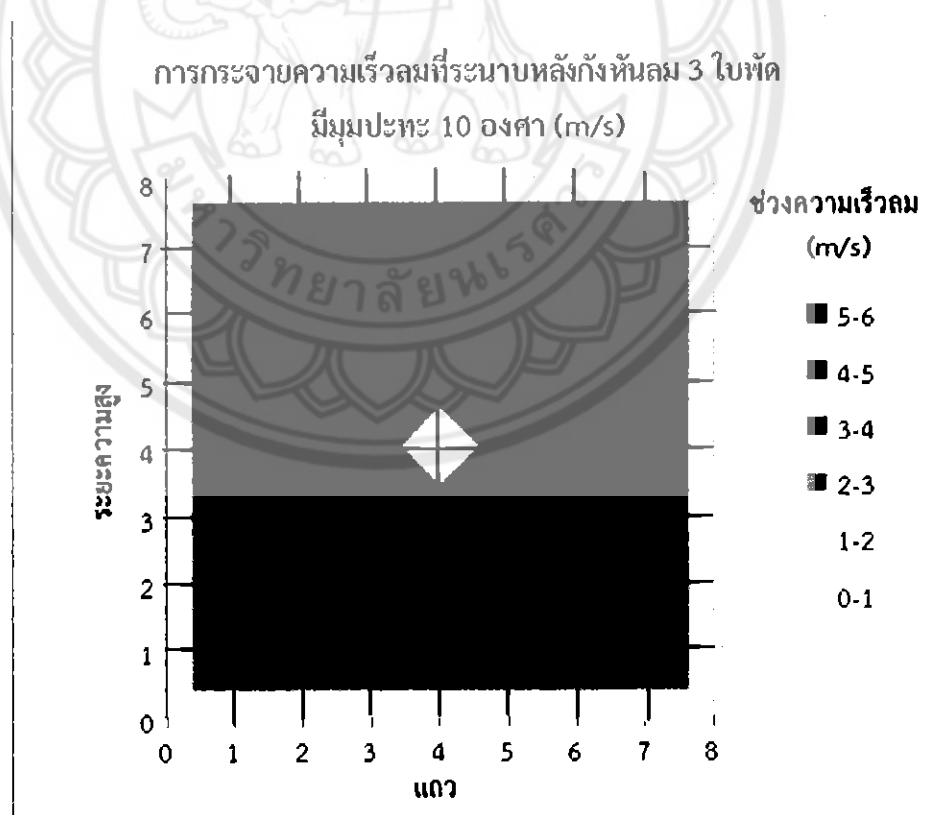
ระยะความสูง	การกระจายความเร็วลมหน้ากังหันลม 3 ใบพัด มีมุ่งปะทะ 30 องศา (m/s)							
1	5.47	5.53	5.23	5.33	5.43	5.47	5.27	
2	5.37	5.61	5.27	5.40	5.39	5.23	5.20	
3	5.33	5.33	5.44	5.51	5.55	5.55	5.30	
4	5.58	5.44	5.49	5.22	5.57	5.60	5.39	
5	5.38	5.37	5.37	5.66	5.60	5.60	5.35	
6	5.29	5.71	5.33	5.41	5.54	5.38	5.47	
7	5.62	5.70	5.57	5.47	5.37	5.70	5.23	
8	5.47	5.53	5.23	5.33	5.43	5.47	5.27	
ความเร็วเฉลี่ย	5.44							



รูปที่ ค.3 การกระจายความเร็วลมที่ระนาบหน้ากังหันลม 3 ใบพัด ที่มีมุ่งปะทะ 30 องศา

ตารางที่ ค.4 การกระจายความเร็วลมหลังกังหันลม 3 ใบพัด มีมูนปะทะ 10 องศา

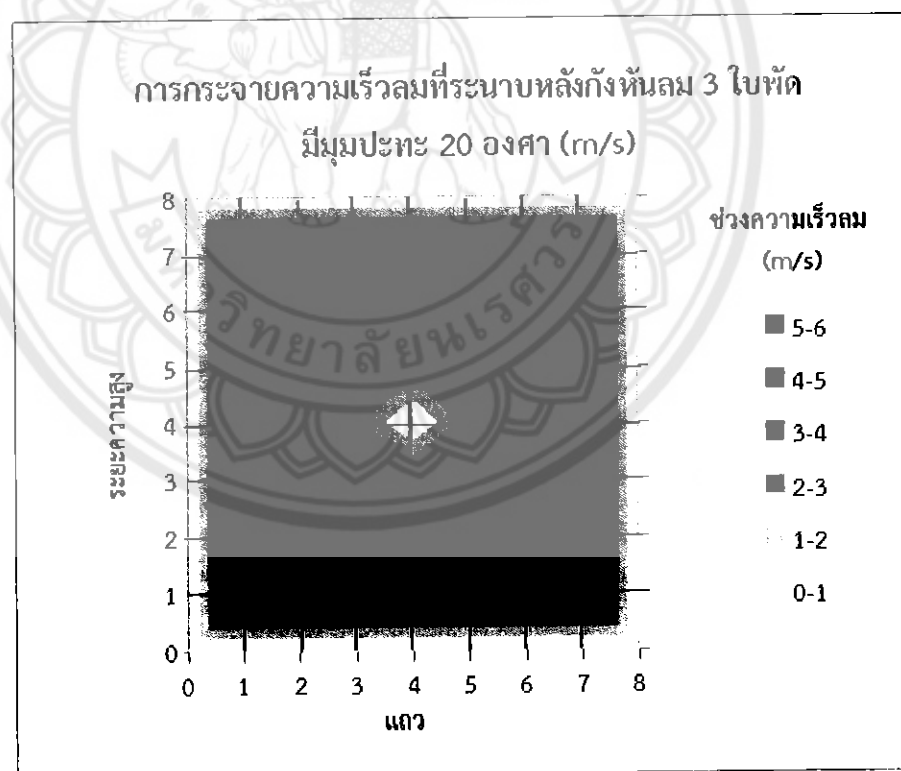
ระยะความสูง	การกระจายความเร็วลมหลังกังหันลม 3 ใบพัด มีมูนปะทะ 10 องศา (m/s)							
1	5.41	5.30	5.43	5.50	5.49	5.47	5.47	5.49
2	5.43	5.13	5.47	4.95	5.45	5.35	5.47	5.47
3	5.43	5.43	3.87	3.51	3.93	5.49	5.33	
4	5.43	5.45	3.60	0.00	3.47	5.46	5.40	
5	5.46	5.35	3.57	3.47	3.37	5.47	5.40	
6	5.46	5.37	4.67	4.57	5.43	5.40	5.50	
7	5.43	5.47	5.47	5.43	5.47	5.47	5.48	
8	5.41	5.30	5.43	5.50	5.49	5.47	5.49	
ความเร็วเฉลี่ย	4.98							



รูปที่ ค.4 การกระจายความเร็วลมที่ระนาบหลังกังหันลม 3 ใบพัด ที่มีมูนปะทะ 10 องศา

ตารางที่ ค.5 การกระจายความเร็วลมหลังกังหันลม 3 ในพัด มีมุ่งปะทะ 20 องศา

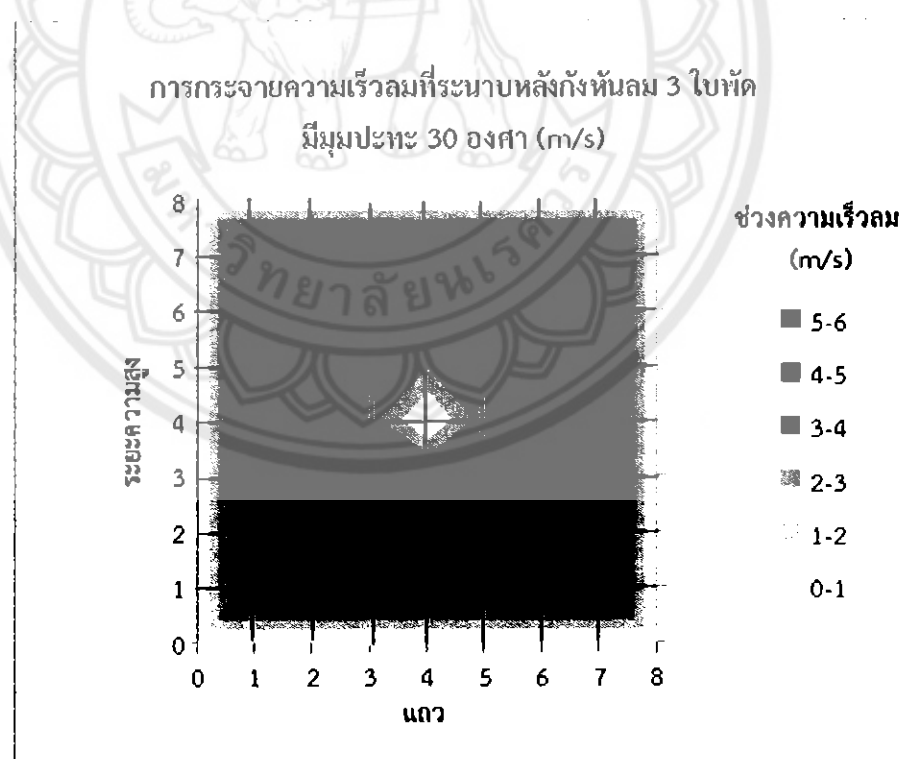
ระยะความสูง	การกระจายความเร็วลมหลังกังหันลม 3 ในพัด มีมุ่งปะทะ 20 องศา (m/s)							
1	5.37	5.44	5.41	5.33	5.37	5.34	5.35	
2	5.43	5.37	5.27	5.31	5.23	5.43	5.40	
3	5.31	4.82	4.12	3.25	3.71	4.50	5.47	
4	5.27	4.93	2.11	0.00	2.31	4.70	5.36	
5	5.12	5.10	3.22	2.61	3.12	4.97	5.34	
6	5.22	5.36	5.43	5.25	5.11	5.47	5.47	
7	5.31	5.42	5.47	5.46	5.48	5.43	5.47	
ความเร็วเฉลี่ย				4.81				



รูปที่ ค.5 การกระจายความเร็วลมที่ระนาบหลังกังหันลม 3 ในพัด ที่มีมุ่งปะทะ 20 องศา

ตารางที่ ค.6 การกระจายความเร็วลมหลังกังหันลม 3 ใบพัด มีมุ่งปะทะ 30 องศา

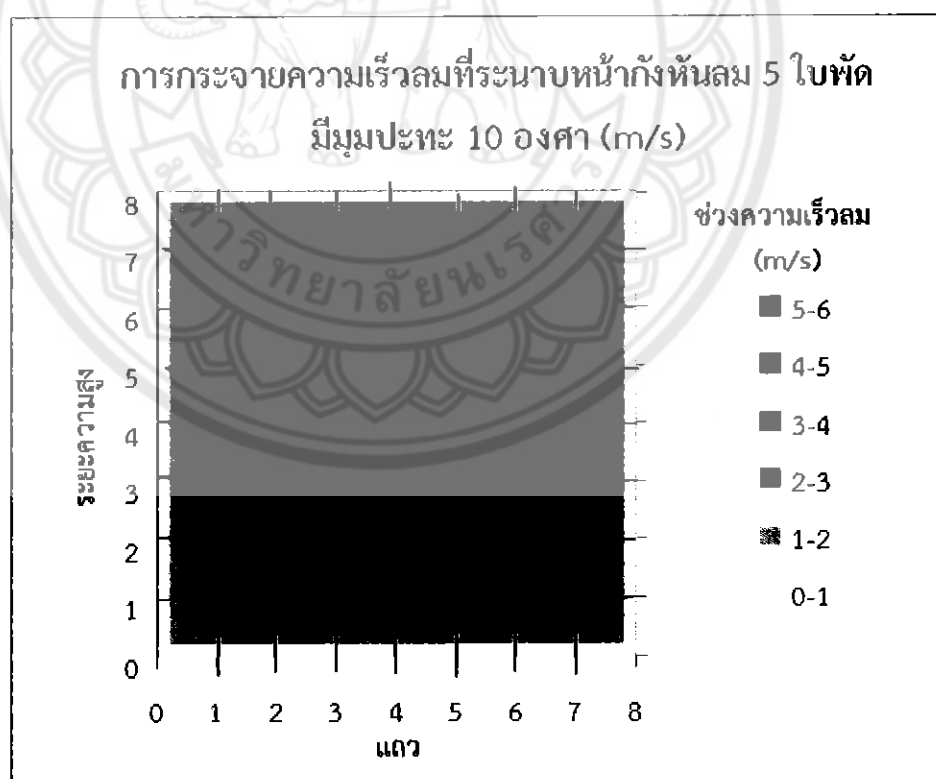
ระยะความสูง	การกระจายความเร็วลมหลังกังหันลม 3 ใบพัด มีมุ่งปะทะ 30 องศา (m/s)							
1	5.43	5.47	5.43	5.47	5.37	5.43	5.43	5.43
2	5.47	5.43	5.27	4.97	4.13	5.13	5.42	
3	5.42	4.32	3.41	3.13	3.20	4.13	5.47	
4	5.46	4.28	2.33	0.00	2.50	4.17	5.47	
5	5.45	4.17	3.23	2.13	3.67	4.13	5.50	
6	5.41	5.13	4.33	4.13	4.22	5.23	5.27	
7	5.47	5.45	5.49	5.33	5.43	5.38	5.43	
8	5.43	5.47	5.43	5.47	5.37	5.43	5.43	
ความเร็วเฉลี่ย	4.64							



รูปที่ ค.6 การกระจายความเร็วลมที่ระนาบหลังกังหันลม 3 ใบพัด ที่มีมุ่งปะทะ 30 องศา

ตารางที่ ค.7 การกระจายความเร็วลมหน้ากังหันลม 5 ใบพัด มีมุ่งปะทะ 10 องศา

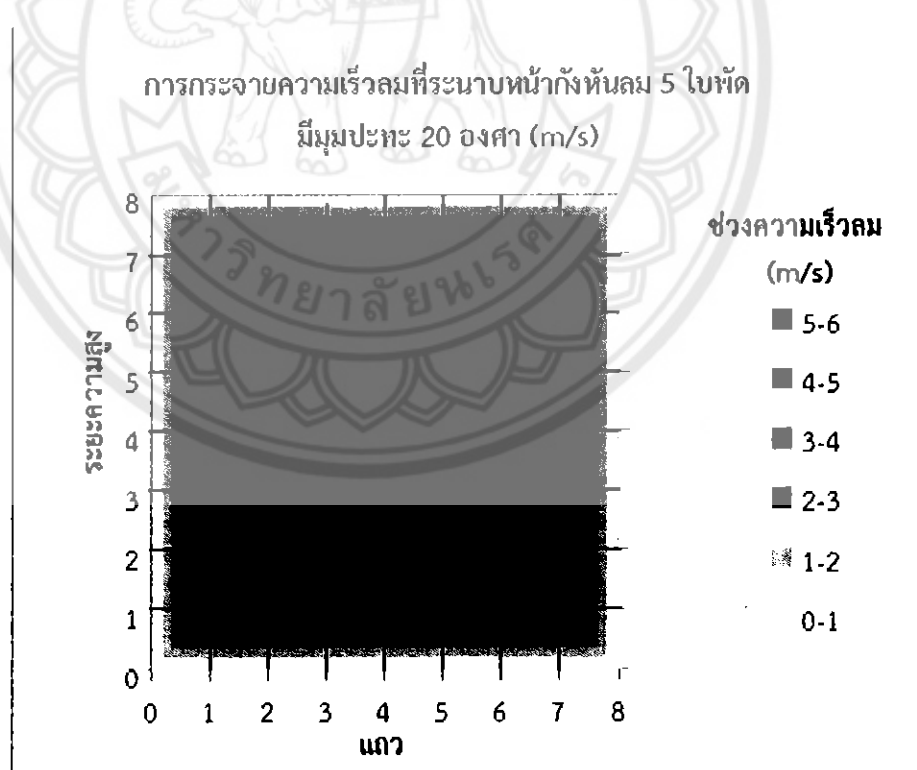
ระยะความสูง	การกระจายความเร็วลมหน้ากังหันลม 5 ใบพัด มีมุ่งปะทะ 10 องศา (m/s)							
1	5.46	5.47	5.44	5.50	5.48	5.45	5.44	5.44
2	5.48	5.48	5.43	5.20	5.30	5.41	5.48	5.48
3	5.45	5.32	5.44	5.44	5.44	5.43	5.43	5.40
4	5.47	5.50	5.44	5.48	5.43	5.49	5.44	5.44
5	5.49	5.47	5.48	5.45	5.55	5.49	5.48	5.48
6	5.47	5.47	5.47	5.46	5.36	5.37	5.47	5.47
7	5.48	5.47	5.46	5.48	5.39	5.49	5.42	5.42
8	5.46	5.47	5.44	5.50	5.48	5.45	5.44	5.44
ความเร็วเฉลี่ย	5.45							



รูปที่ ค.7 การกระจายความเร็วลมที่ระนาบหน้ากังหันลม 5 ใบพัด ที่มีมุ่งปะทะ 10 องศา

ตารางที่ ค.8 การกระจายความเร็วลมหน้ากังหันลม 5 ใบพัด มีมูนปะทะ 20 องศา

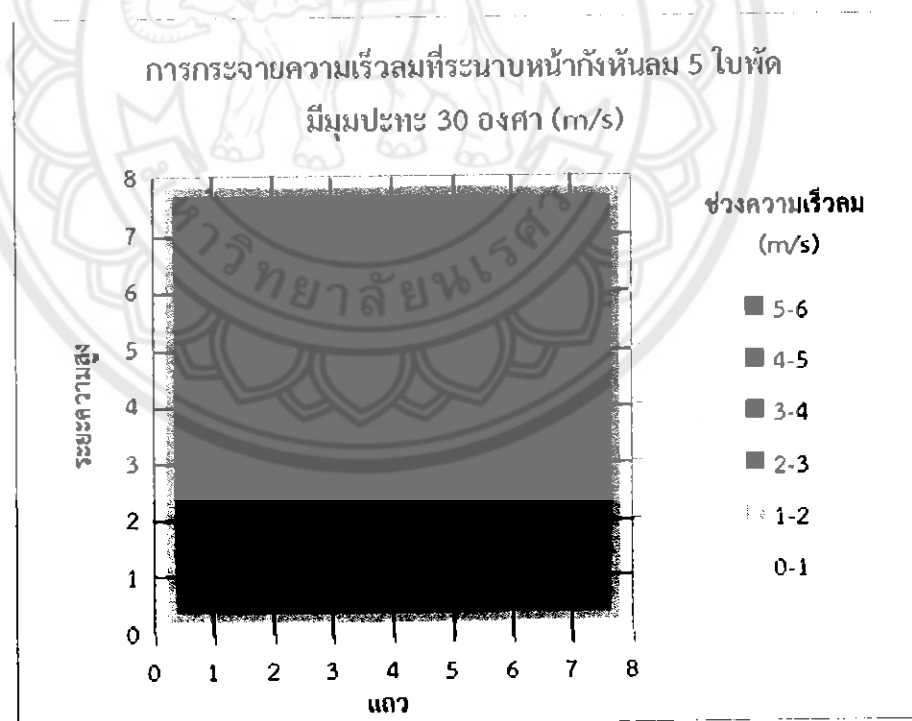
ระยะความสูง	การกระจายความเร็วลมหน้ากังหันลม 5 ใบพัด มีมูนปะทะ 20 องศา (m/s)							
1	5.48	5.44	5.48	5.46	5.41	5.37	5.46	
2	5.47	5.45	5.47	5.49	5.46	5.47	5.43	
3	5.45	5.44	5.42	5.47	5.44	5.49	5.34	
4	5.47	5.43	5.46	5.22	5.37	5.45	5.39	
5	5.49	5.41	5.44	5.38	5.33	5.47	5.49	
6	5.49	5.49	5.46	5.37	5.45	5.47	5.38	
7	5.44	5.47	5.42	5.31	5.51	5.44	5.34	
8	5.48	5.44	5.48	5.46	5.41	5.37	5.46	
ความเร็วเฉลี่ย	5.43							



รูปที่ ค.8 การกระจายความเร็วลมที่ระนาบหน้ากังหันลม 5 ใบพัด ที่มีมูนปะทะ 20 องศา

ตารางที่ ค.9 การกระจายความเร็วลมหน้ากังหันลม 5 ใบพัด มีมุ่งปะทะ 30 องศา

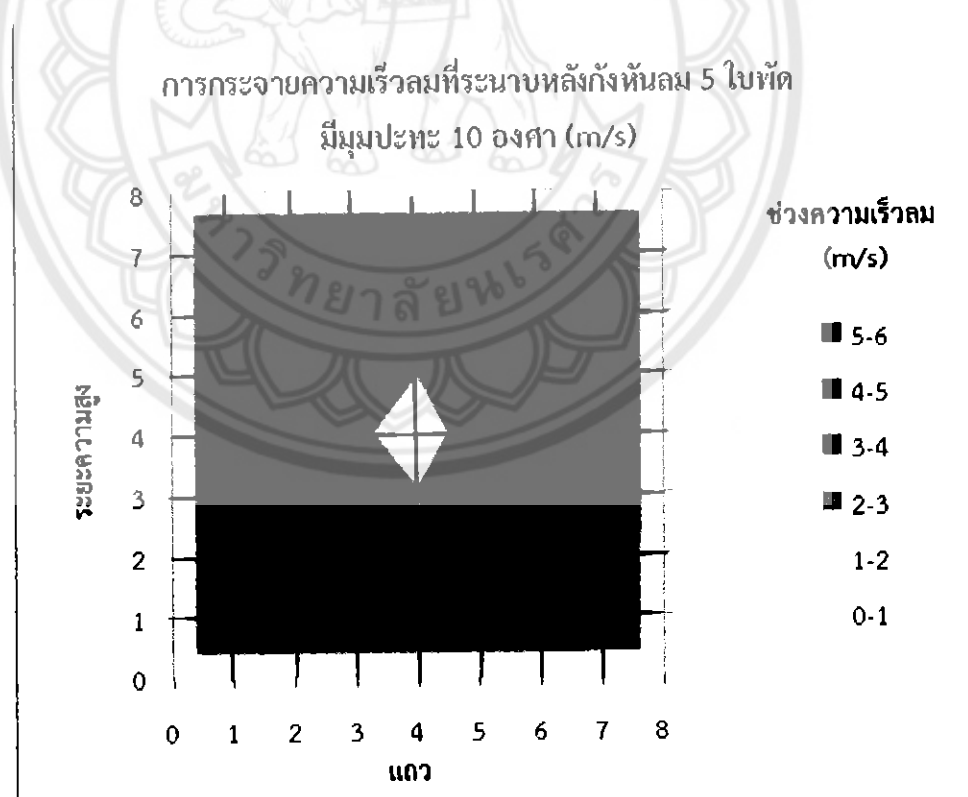
ระยะความสูง	การกระจายความเร็วลมหน้ากังหันลม 5 ใบพัด มีมุ่งปะทะ 30 องศา (m/s)							
1	5.22	5.55	5.44	5.63	5.43	5.29	5.23	
2	5.53	5.43	5.39	5.47	5.28	5.49	5.47	
3	5.27	5.37	5.33	5.39	5.38	5.45	5.34	
4	5.61	5.51	5.47	5.44	5.35	5.47	5.24	
5	5.35	5.28	5.29	5.35	5.47	5.37	5.35	
6	5.34	5.33	5.38	5.51	5.56	5.32	5.61	
7	5.61	5.44	5.56	5.52	5.61	5.44	5.47	
8	5.22	5.55	5.44	5.63	5.43	5.29	5.23	
ความเร็วเฉลี่ย	5.42							



รูปที่ ค.9 การกระจายความเร็วลมที่ระนาบหน้ากังหันลม 5 ใบพัด ที่มีมุ่งปะทะ 30 องศา

ตารางที่ ค.10 การกระจายความเร็วลมหลังกังหันลม 5 ในพัด มีมุ่มปะทะ 10 องศา

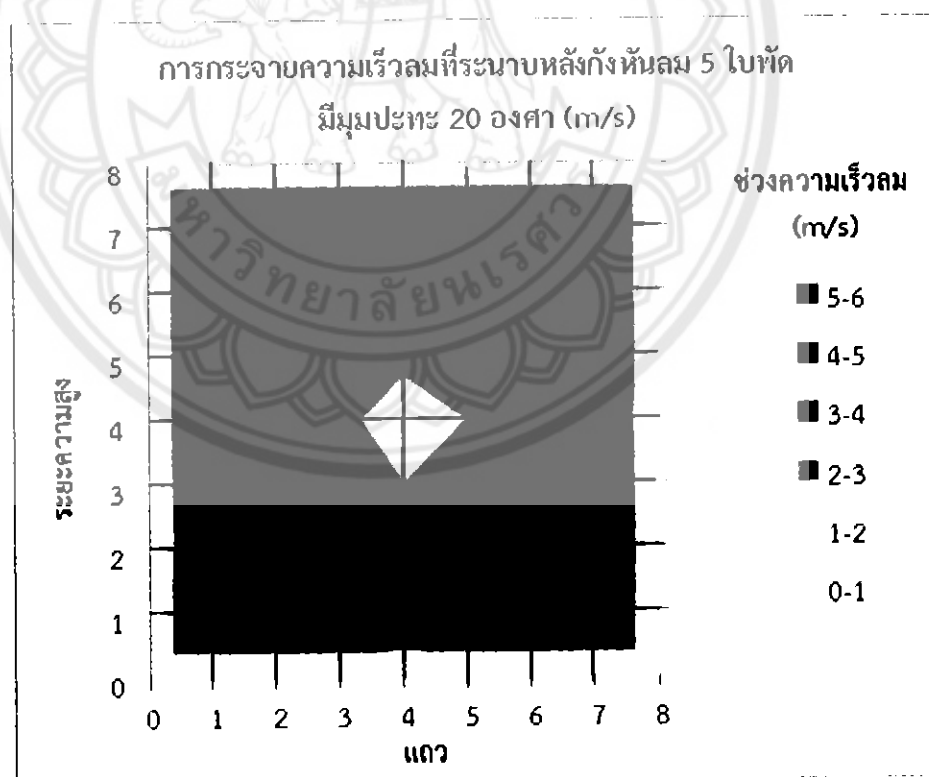
ระยะความสูง	การกระจายความเร็วลมหลังกังหันลม 5 ในพัด มีมุ่มปะทะ 10 องศา (m/s)							
1	5.42	5.47	5.41	5.49	5.47	5.49	5.23	
2	5.42	4.98	4.82	4.39	4.42	5.45	5.12	
3	5.37	4.72	3.54	2.20	4.22	5.34	5.48	
4	5.48	4.67	2.77	0.00	4.11	5.35	5.44	
5	5.43	5.09	2.98	2.12	4.27	5.23	5.47	
6	5.42	5.15	4.37	4.34	4.84	5.18	5.41	
7	5.44	5.34	5.47	5.34	5.41	5.49	5.47	
8	5.42	5.47	5.41	5.49	5.47	5.49	5.23	
ความเร็วเฉลี่ย	4.79							



รูปที่ ค.10 การกระจายความเร็วลมที่ระนาบหลังกังหันลม 5 ในพัด ที่มีมุ่มปะทะ 10 องศา

ตารางที่ ค.11 การกระจายความเร็วลมหลังกังหันลม 5 ในพัด มีมุ่นปะทะ 20 องศา

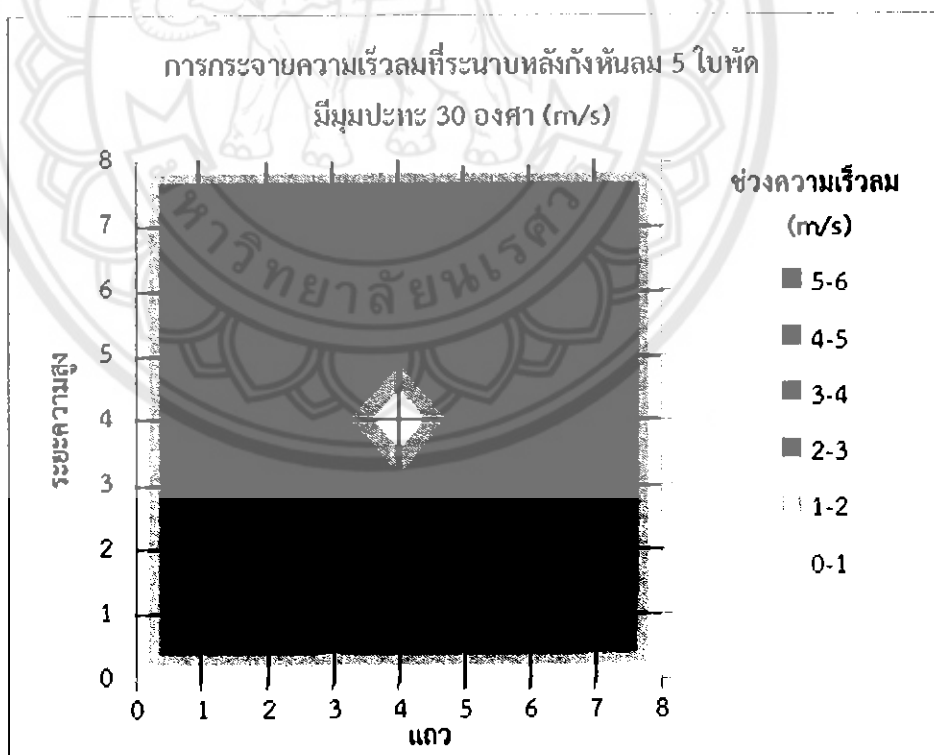
ระยะความสูง	การกระจายความเร็วลมหลังกังหันลม 5 ในพัด มีมุ่นปะทะ 20 องศา (m/s)							
1	5.41	5.49	5.46	4.82	5.41	5.48	5.37	
2	5.21	4.45	5.12	4.58	5.26	5.47	5.47	
3	5.23	4.94	3.78	2.03	3.86	3.72	5.44	
4	5.46	4.98	2.98	0.00	2.03	2.96	5.03	
5	5.34	4.02	2.65	2.89	3.75	3.65	5.47	
6	5.43	5.25	4.27	4.42	5.16	5.12	5.31	
7	5.42	5.48	5.49	5.45	5.47	5.49	5.41	
8	5.41	5.49	5.46	4.82	5.41	5.48	5.37	
ความเร็วเฉลี่ย	4.62							



รูปที่ ค.11 การกระจายความเร็วลมที่รัฐบาลหลังกังหันลม 5 ในพัด ที่มีมุ่นปะทะ 20 องศา

ตารางที่ ค.12 การกระจายความเร็วลมหลังกังหันลม 5 ในพัด มีมุ่งปะทะ 30 องศา

ระยะความสูง	การกระจายความเร็วลมหลังกังหันลม 5 ในพัด มีมุ่งปะทะ 30 องศา(m/s)							
1	5.49	5.49	5.01	5.47	5.50	5.47	5.07	
2	5.49	4.37	4.48	4.31	4.33	4.47	5.45	
3	5.48	4.19	3.21	2.23	3.02	4.77	5.46	
4	5.42	3.14	2.52	0.00	2.74	3.12	5.44	
5	5.47	3.46	3.11	2.32	3.02	3.71	5.46	
6	5.47	4.21	4.35	4.48	3.87	4.35	5.48	
7	5.42	5.39	5.49	5.48	5.47	5.49	5.49	
8	5.49	5.49	5.01	5.47	5.50	5.47	5.07	
ความเร็วเฉลี่ย	4.45							



รูปที่ ค.12 การกระจายความเร็วลมที่ระนาบหลังกังหันลม 5 ในพัด ที่มีมุ่งปะทะ 30 องศา



การคำนวณประสิทธิภาพเชิงกลของกังหันลมและประสิทธิภาพของกังหันลม

ตัวอย่างการคำนวณประสิทธิภาพเชิงกลของกังหันลมและประสิทธิภาพของกังหันชนิด 3 ใบพัดที่มุ่งประทະ 10 องศา

$$\begin{aligned} P_{in} &= \frac{1}{2} \rho A V_1^3 \\ &= (0.5)(1.23)(\pi \times 0.15^2) \times (5.45)^3 \\ &= 7.04 \text{ W} \end{aligned}$$

$$\begin{aligned} P_w &= P_w = \frac{1}{4} \rho A (V_1^2 - V_2^2)(V_1 + V_2) \\ &= (0.25)(1.23)(\pi \times 0.15^2)(5.45^2 - 4.98^2)(5.45 + 4.98) \\ &= 1.11 \text{ W} \end{aligned}$$

$$\begin{aligned} T &= F \times r \\ &= (0.91)(0.004) \\ &= 3.64 \times 10^{-3} \text{ Nm} \end{aligned}$$

$$\begin{aligned} \omega &= \frac{2\pi N}{60} \\ &= \frac{2\pi \times 910.19}{60} \\ &= 95.31 \text{ rad/s} \end{aligned}$$

$$\begin{aligned} P_{out} &= T \times \omega \\ &= 3.64 \times 10^{-3} \times 95.31 \\ &= 0.35 \text{ W} \end{aligned}$$

ประสิทธิภาพเชิงกลของกังหัน

$$\begin{aligned} \eta_M &= \frac{P_{out}}{P_{in}} \\ &= \frac{0.35}{7.04} \\ &= 0.0493 \text{ หรือประมาณ } 4.93\% \end{aligned}$$

ประสิทธิภาพของกังหัน

$$\begin{aligned} \eta_T &= \frac{P_w}{P_{in}} \\ &= \frac{1.11}{7.04} \\ &= 0.1579 \text{ หรือประมาณ } 15.79\% \end{aligned}$$

การคำนวณหาค่า Reynolds Number

$$Re = \frac{\rho v D}{\mu}$$

การหาค่า D จากหน้าตั้งทรงสี่เหลี่ยม 50x50 cm

จากสมการ $D_H = 4$

$$= 4 \times$$

กำหนดให้ ความเร็วของอากาศ = 5 m/s

จากตาราง คุณสมบัติของอากาศที่ความดันบรรยายกาศ

ที่อุณหภูมิ (T) = 35 °C

$\rho = 1.146 \text{ kg/m}^3$

$\mu = 1.865 \times 10^{-5} \text{ N.s/m}^2$

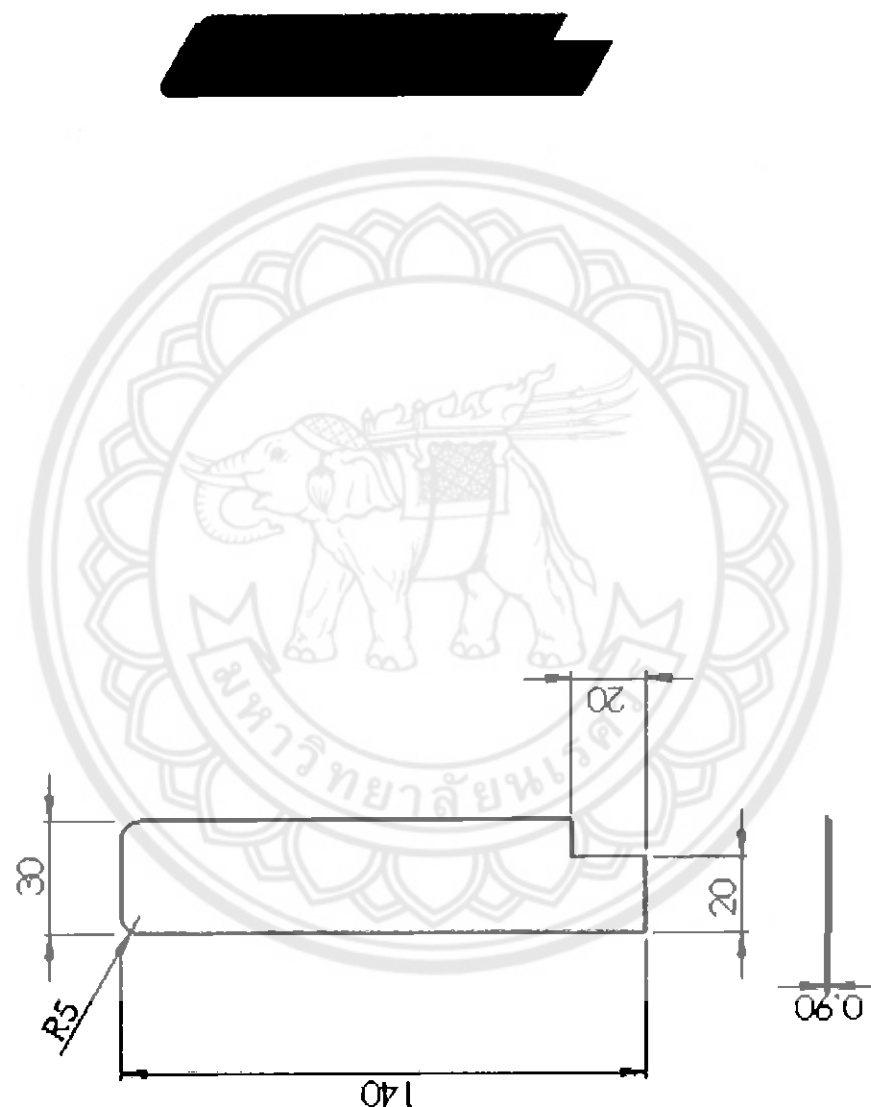
จะได้

$$Re = \frac{1.146 \times 5 \times 0.5}{1.865 \times 10^{-5}}$$

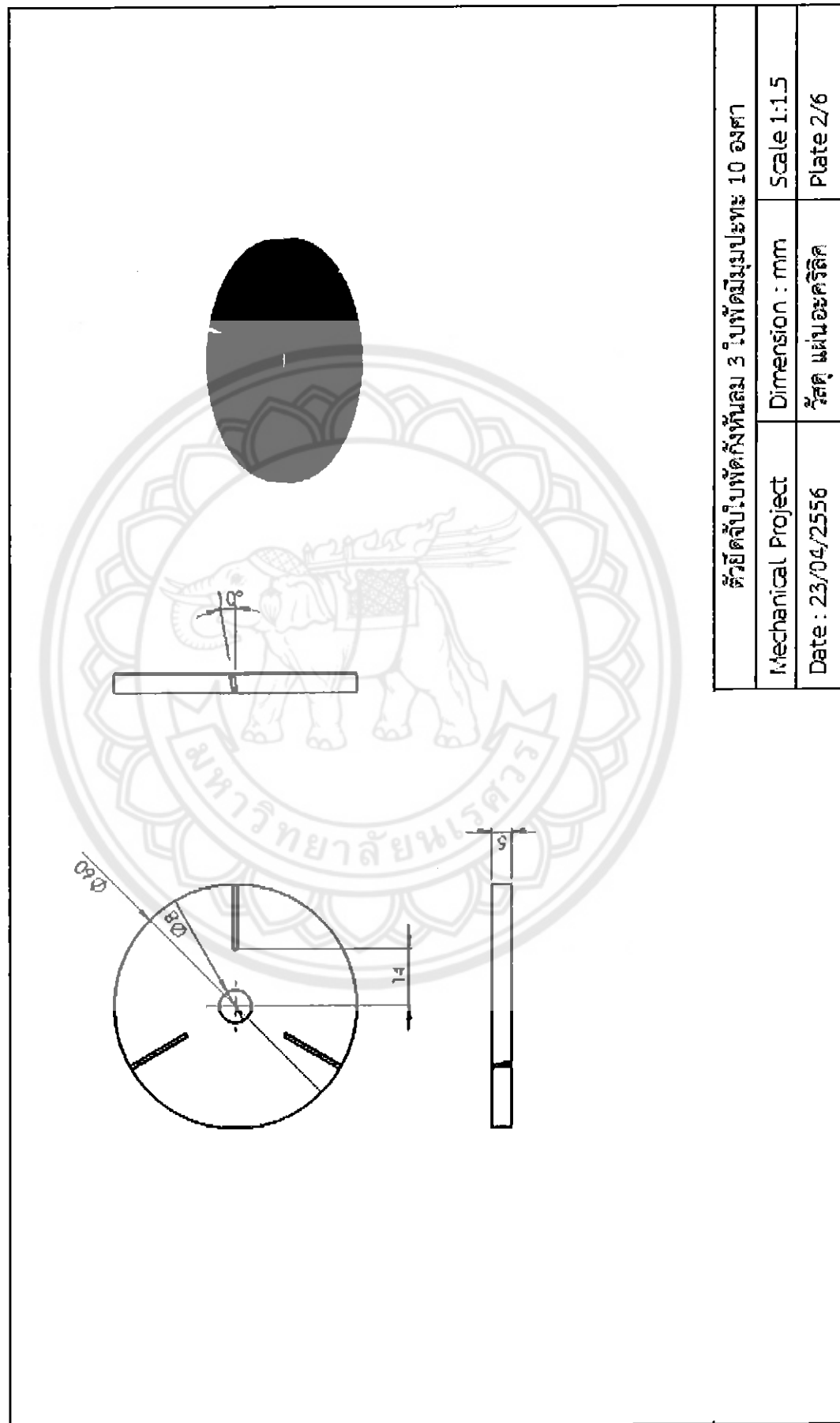
$$= 1.536 \times 10^5$$

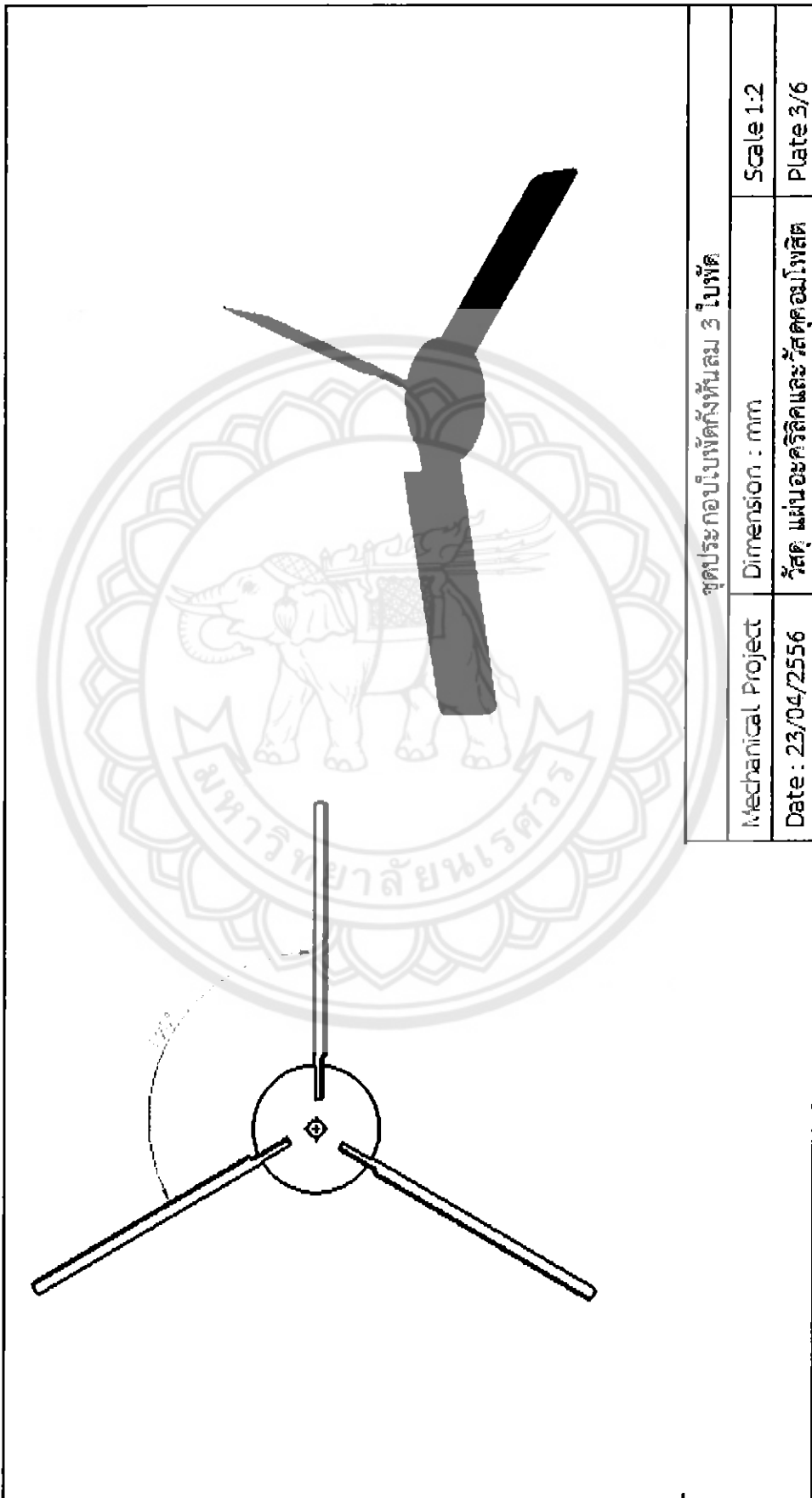
(>4000, การไหลแบบปั่นป่วน)

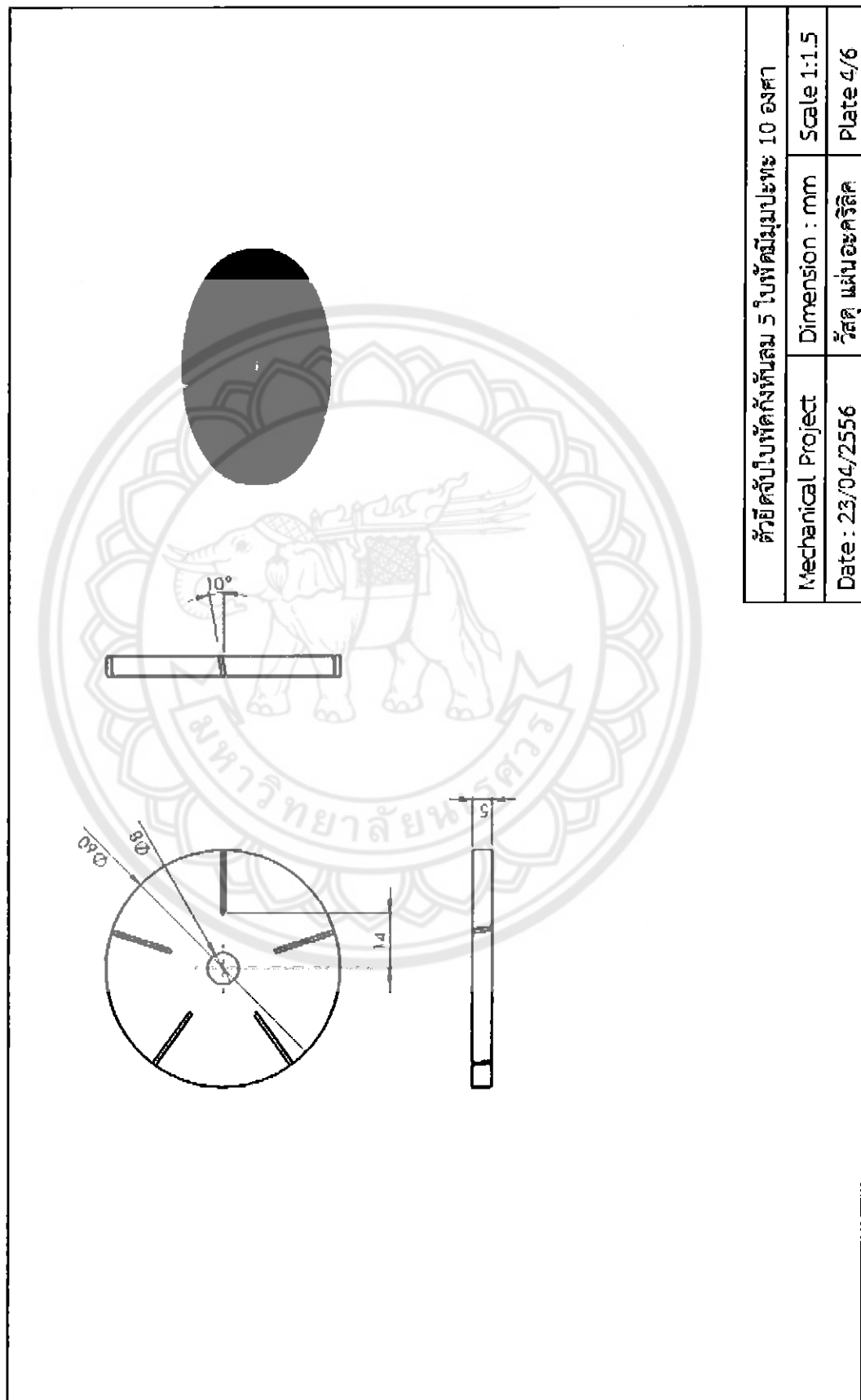


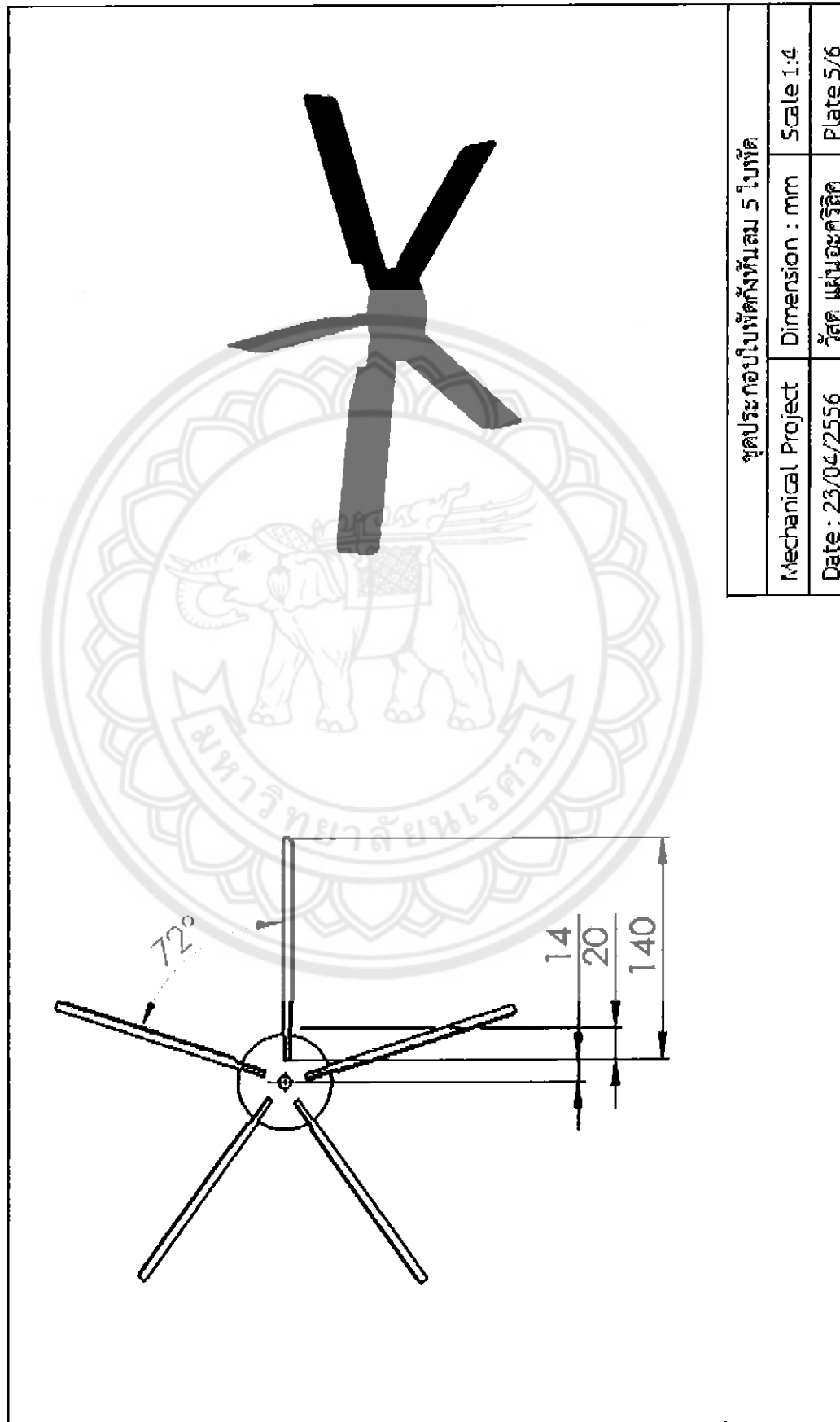


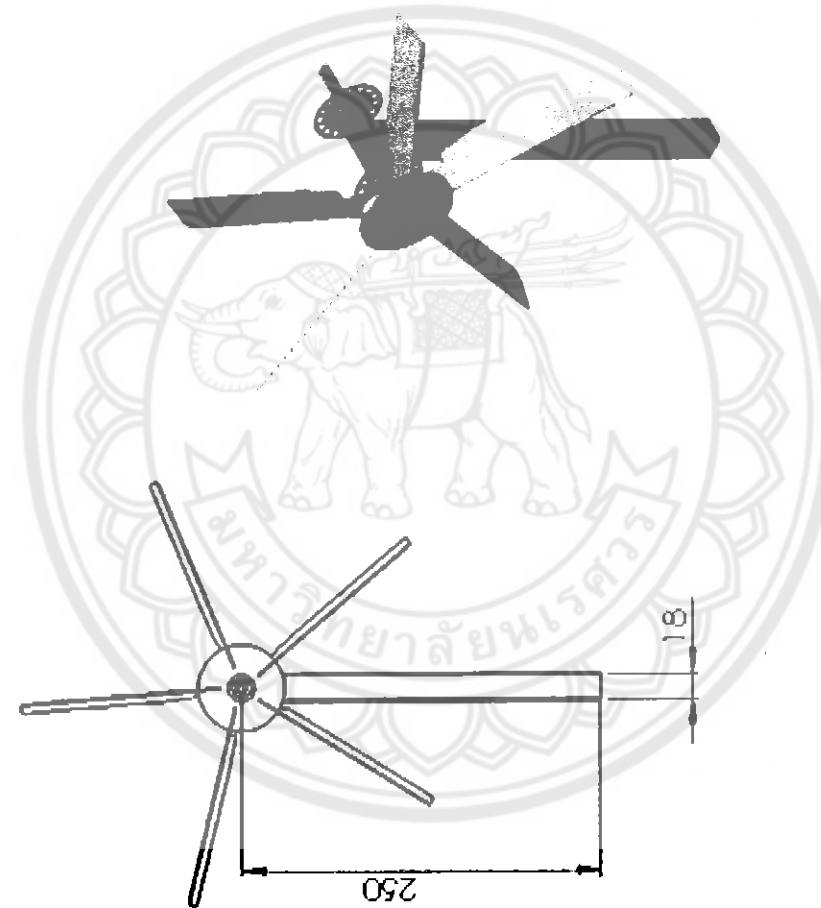
ប្រព័ន្ធគម្ពស់អង្គភាព		Dimension : mm	Scale 1:2
Mechanical Project			
Date : 23/04/2556	គេងទីនៅក្នុងផ្ទើស	Plate 1/6	











การประดิษฐ์ห้องท่อไอเสีย		Scale 1:50
Mechanical Project	Dimension : mm	
Date : 23/04/2556	ผู้ดูแลน้อมรัตน์ วันชุมพร โนนท์สิน แม่สาย เชียงราย	Plate 6/6